

İSTANBUL TEKNİK ÜNİVERSİTESİ FEN BİLİMLERİ ENSTİTÜSÜ

75109

$\text{La}_3\text{Lu}_2\text{Ga}_3\text{O}_{12}:\text{Cr}^{3+}:\text{Nd}^{3+}$  LAZER KRİSTALİNDE SICAKLIĞIN  
 $\text{Cr}^{3+} \rightarrow \text{Nd}^{3+}$  ENERJİ TRANSFERİNE ETKİSİ

YÜKSEK LİSANS TEZİ

Fizik Müh. Gülefşan Yıldırım

75109

Tezin Enstitüye Verildiği Tarih: 19 Ocak 1998

Tezin Savunulduğu Tarih : 12 Şubat 1998

Tez Danışmanı: Doç. Dr. Gönül Özen

Gönül Özen  
Alperen Pekcan

Diğer Juri Üyeleri: Prof. Dr. Önder Pekcan

Doç. Dr. Alphan Sennaroğlu



Y.C. YÜKSEKOĞRETİME KURU  
DOKÜMANTASYON MERKEZİ  
ŞUBAT 1998

## **ÖNSÖZ**

Dört senedir birlikte çalıştığım değerli hocam Doç. Dr. Gönül Özen'e bilgi ve tecrübelerini benimle paylaştığı ve her zaman yanımda bulunarak cesaret ve moral desteği sağladığı için teşekkür ederim. Tez çalışmam sırasında sağladığı fırsatlar ve yardımlarından dolayı değerli hocam Doç. Dr. Alphan Sennaroğlu'na teşekkür ederim. Tezimi inceleyen ve laboratuvar çalışmalarımada bana yardımcı olan Prof. Dr. Önder Pekcan'a teşekkür ederim.

Bu çalışmada yer alan deneysel verilerin bir kısmı Boston College Spektroskopi Laboratuvarı kullanılarak alınmıştır, Prof. B. Di Bartola'ya yardımları için teşekkür ederim.

Ayrıca yardım ve hoşgörüleriyle her zaman yanımdayan arkadaşlarım Müh. Serdar Başaran'a, Müh. Banu Süzen'e ve aileme teşekkür ederim.

Gülefşan Yıldırım

Şubat 1998

## **İÇİNDEKİLER**

|   | <b>Sayfa No</b> |
|---|-----------------|
| ÖNSÖZ   | ii              |
| SEMBOL LİSTESİ  | v               |
| ŞEKİL LİSTESİ   | vi              |
| TABLO LİSTESİ   | viii            |
| ÖZET  | ix              |
| SUMMARY   | x               |
| <br>  |                 |
| BÖLÜM 1 GİRİŞ   | 1               |
| <br>  |                 |
| BÖLÜM 2. AKTİVE EDİLMİŞ KRİSTALLERİN SPEKTRAL VE LAZER<br>ÖZELLİKLERİ | 5               |
| 2.1. Işığın Soğurma ve Emisyon Teorilerinin Temel Kavramları          | 5               |
| 2.2. Aktive Edilmiş Kristallerin Spektroskopik Özellikleri            | 11              |
| 2.3. Lazer Kristali Olarak Garnetler                                  | 16              |
| 2.3.1. Cr iyonunun Optik Özellikleri                                  | 18              |
| 2.3.2. Nd iyonunun Optik Özellikleri                                  | 21              |
| <br>  |                 |
| BÖLÜM 3 ENERJİ TRANSFERİ  | 27              |
| <br>  |                 |
| 3.1. İşimalı Enerji Transferi   | 27              |
| 3.2. İşımasız Enerji Transferi  | 30              |
| 3.2.1. Rezonant Enerji Transferi                                      | 31              |
| 3.2.2. Fonon Destekli Enerji Transferi                                | 36              |

|   |    |
|---|----|
| BÖLÜM 4 DENEYSEL DÜZNEK   | 41 |
| 4.1. Soğurma Ölçümleri  | 41 |
| 4.2. Lüminesans Ölçümleri   | 41 |
| 4.2.1. Uyarma Sistemi   | 42 |
| 4.2.2. Analiz Sistemi   | 42 |
| 4.2.3. Gözleme ve Güçlendirme Sistemi   | 42 |
| 4.2.4. Kayıt Sistemi  | 43 |
| 4.2.5. Sıcaklık Kontrol Sistemi   | 43 |
| 4.3. Uyarma (Eksitasyon) Spektrumlarının Ölçülmesi                            | 43 |
| 4.4. Yaşam Sürelerinin Ölçülmesi  | 43 |
| BÖLÜM 5 SONUÇLAR VE YORUMLAR  | 47 |
| 5.1. LLGG:Cr <sup>3+</sup> Kristalinde Elde Edilen Sonuçlar                   | 47 |
| 5.2. LLGG:Nd <sup>3+</sup> Kristalinde Elde Edilen Sonuçlar                   | 48 |
| 5.3. LLGG:Cr <sup>3+</sup> :Nd <sup>3+</sup> Kristalinde Elde Edilen Sonuçlar | 49 |
| KAYNAKLAR   | 69 |
| ÖZGEÇMİŞ  | 73 |

## **SEMBOL LİSTESİ**

LLGG: Lantanyum Lutesyum Galyum Garnet

v: Frekans

$\tau$ : Yaşam süresi

N: Aktivatör sayısı

$\lambda$ : Dalgaboyu

T: Sıcaklık

k: Boltzmann Sabiti

E: Enerji

c: Boşluktaki ışık hızı

n: Ortamın kırılma indisı

$\sigma_e$ : Kesit alanı

$k_v$ : Soğurma katsayısı

H: Hamiltonyen

$\Psi$ : Dalga fonksiyonu

$W_{TR}$ : Enerji transferinin hızı

## **ŞEKİL LİSTESİ**

### **Sayfa No:**

|  |    |
|--|----|
| <b>Şekil 2.1</b> İki enerji seviyeli kuantum sistemi   | 25 |
| <b>Şekil 2.2</b> Lüminesans şiddetinin zamanla değişimi  | 25 |
| <b>Şekil 2.3</b> Garnet yapısının şekli  | 26 |
| <b>Şekil 3.1</b> Basitleştirilmiş iki atomlu sistem  | 40 |
| <b>Şekil 3.2</b> Fonon destekli enerji transferinin şematik gösterimi  | 40 |
| <b>Şekil 4.1</b> İncelenen kristallerin lüminesans özelliklerini araştırmak için kullanılan sistem                                   | 45 |
| <b>Şekil 4.2</b> 7102 RCA fotomultiplierin hassasiyet eğrisi   | 46 |
| <b>Şekil 5.1</b> Cr ve Nd iyonlarının enerji seviyeleri  | 52 |
| <b>Şekil 5.2</b> LLGG:Cr <sup>3+</sup> kristalinin optik bölgedeki soğurma spektrumu   | 53 |
| <b>Şekil 5.3</b> LLGG: Cr <sup>3+</sup> kristalinin a)77 <sup>0</sup> K b)300 <sup>0</sup> K sıcaklığında ölçülen ışma spektrumu     | 54 |
| <b>Şekil 5.4</b> LLGG: Cr <sup>3+</sup> kristalinde Cr iyonunun 77 <sup>0</sup> K sıcaklığında ışma şiddetinin zamana göre değişimi  | 55 |
| <b>Şekil 5.5</b> LLGG: Cr <sup>3+</sup> kristalinde Cr iyonunun 310 <sup>0</sup> K sıcaklığında ışma şiddetinin zamana göre değişimi | 56 |

Sayfa No:

|  |    |
|--|----|
| <b>Şekil 5.6</b> LLGG: Cr <sup>3+</sup> kristalinin 780nm'de<br>merkezlenen ışıma yaşam süresinin<br>sıcaklıkla değişimi.  | 57 |
| <b>Şekil 5.7</b> LLGG:Nd <sup>3+</sup> kristalinin optik bölgedeki<br>soğurma spektrumu  | 58 |
| <b>Şekil 5.8</b> LLGG:Nd <sup>3+</sup> kristalinin 100 <sup>0</sup> K sıcaklığında<br>ölçülen ışıma spektrumu  | 59 |
| <b>Şekil 5.9</b> LLGG: Nd <sup>3+</sup> kristalinde 1.06μm'de<br>merkezlenen ışımaya ait uyarma spektrumu  | 60 |
| <b>Şekil 5.10</b> LLGG: Nd <sup>3+</sup> kristalinde 1.06μm'de<br>merkezlenen ışıma şiddetinin zamana göre<br>değişimi   | 61 |
| <b>Şekil 5.11</b> LLGG:Cr <sup>3+</sup> :Nd <sup>3+</sup> kristalinin optik bölgedeki<br>soğurma spektrumu   |    |
| <b>Şekil 5.12</b> LLGG:Cr <sup>3+</sup> :Nd <sup>3+</sup> kristalinde Nd iyonunun<br>77 <sup>0</sup> K sıcaklığında 1.06μm'de merkezlenen<br>ışıma şiddetinin zamana göre değişimi     | 62 |
| <b>Şekil 5.13</b> LLGG:Cr <sup>3+</sup> :Nd <sup>3+</sup> kristalinde Nd iyonunun<br>310 <sup>0</sup> K sıcaklığında 1.06μm'de merkezlenen<br>ışıma şiddetinin zamana<br>göre değişimi | 63 |
| <b>Şekil 5.14</b> LLGG:Cr <sup>3+</sup> :Nd <sup>3+</sup> kristalinde sadece Nd<br>iyonları uyarıldığında elde edilen ışıma<br>yaşam sürelerinin sıcaklığa göre değişimi               | 64 |
| <b>Şekil 5.15</b> LLGG:Cr <sup>3+</sup> :Nd <sup>3+</sup> kristalinde ışıma yaşam<br>süresinin kristal sıcaklığı ile değişmesi   |    |
| <b>Şekil 5.16</b> LLGG:Cr <sup>3+</sup> :Nd <sup>3+</sup> kristalinde Cr iyonundan<br>Nd iyonuna transfer hızının zama değişimi  | 65 |
|  | 68 |

## TABLO LİSTESİ

Sayfa No:

|   |    |
|---|----|
| <b>Tablo 5.1</b> LLGG:Cr <sup>3+</sup> kristalinin 780nm'de<br>merkezlenen ışıma yaşam süresinin<br>sıcaklıkla değişimi   | 56 |
| <b>Tablo 5.2</b> LLGG:Cr <sup>3+</sup> :Nd <sup>3+</sup> kristalinde sadece Nd<br>iyonları uyarıldığında elde edilen ışıma<br>yaşam sürelerinin sıcaklığa göre değişimi | 66 |
| <b>Tablo 5.3</b> LLGG:Cr <sup>3+</sup> :Nd <sup>3+</sup> kristalinde Cr iyonundan Nd<br>iyonuna transfer hızının zamanla değişimi                                       | 67 |

## ÖZET

Son yıllarda katıhal lazer malzemeleri üzerine yapılan araştırmalar büyük bir artış göstermiştir. Bu katıhal lazer malzemelerinden en iyi bilinenlerden biri de YAG(Y<sub>3</sub>Al<sub>5</sub>O<sub>12</sub>) kristalidir. Bu kristal Nd<sup>3+</sup> ile katkılandığında 1,06μm'de ışma yapar, bu ışma <sup>4</sup>F<sub>3/2</sub> metastable seviyesinden <sup>4</sup>I<sub>11/2</sub> alt seviyesine geçişe karşılık gelmektedir.

YAG kristali katıhal lazer kristali olarak yaygın bir şekilde kullanılmasına rağmen lazer diyon uyarmalı yeni katıhal lazerleri üzerinde çalışmalar devam etmektedir. Bunlarda aranılan özellikler; daha uzun ışma süresi, daha geniş soğurma bandı, daha yüksek soğurma katsayısıdır. Biz çalışmamızda LLGG(La<sub>3</sub>Lu<sub>2</sub>Ga<sub>3</sub>O<sub>12</sub>) katıhal lazer kristalini kullandık. LLGG garnet yapısındadır, garnet yapısındaki kristaller lazer host için istenen özelliklere sahiptir. Bu özellikler; kimyasal olarak dengede, mekaniksel olarak sert, optiksel olarak izotropik olmaları, nadir toprak ve demir gruplarının optiksel olarak aktif iyonlarını kabul edebilmeleridir. Buna ek olarak yüksek optiksel kalitede ve düşük optiksel kayıpla geniş boyutlara büyütülebilirler.

LLGG ilk olarak Kokta ve Grasso tarafından hazırlanmıştır. Nd<sup>3+</sup> ile katkılanmış ve [La<sub>1-x</sub>Lu<sub>x</sub>](Lu<sub>1-y</sub>Ga<sub>y</sub>)Ga<sub>3</sub>O<sub>12</sub> bileşiminde olan LLGG Allik ve arkadaşları tarafından patansiyel lazer diyon ile uyarılmış ve katıhal malzemesi olarak incelenmiştir. LLGG kristali Nd<sup>3+</sup> ve Cr<sup>3+</sup> ile katkılandığında Cr<sup>3+</sup> La iyonu ile, Nd<sup>3+</sup> Lu iyonu ile yer değiştirmektedir.

Bu çalışmada Cr<sup>3+</sup> ve Nd<sup>3+</sup> arasında oluşan enerji transferi prosesinin yapısını araştırmak amacıyla optik bölgede soğurma, lüminesans, yaşam süresi ve uyarma spektrumlarının ölçümü 77<sup>0</sup>K ile 300<sup>0</sup>K sıcaklık aralığında yapılmıştır. Oda sıcaklığında 0.015μs<sup>-1</sup> olarak bulunan enerji transferi hızının bu sıcaklık aralığında yaklaşık olarak sabit olduğu gözlenmiştir.

## SUMMARY

### TEMPERATURE EFFECT ON ENERGY TRANSFER IN LLGG:Cr<sup>3+</sup>:Nd<sup>3+</sup> LASER CRYSTAL

As is well known, the word "laser" is an acronym for the most significant feature of laser action; light amplification by stimulated emission of radiation. Many different kinds of lasers have been developed since it was first developed in 1960. This was a solid state laser based on the single crystal of ruby(crystalline aluminum oxide activated by trivalent chromium ions). Some of them are gas, semiconductor, liquids, organic dye lasers. All of these lasers share a crucial element: each contains materials capable of amplifying radiation called gain medium.

The study of the spectroscopic characteristics of laser emission by activated compounds furnishes an important supplement to conventional luminescence and absorption techniques. These spectroscopic investigations are very important for quantum electronics and solid state physics. As a result of this developments in quantum electronics, a new method of experimental investigation has been established: Laser spectroscopy(stimulated emission spectroscopy). From the viewpoint of quantum electronics, the gain medium such as an activated glass or crystal is an entity with definite properties. In contrast, stimulated emission spectroscopy penetrates the interior of the Crystal to investigate the relationship between the intrinsic (structural and other) properties of the crystal and the parameters that determine the operating characteristics of a laser.

New materials with high laser efficiency are the main topic of the current solid state laser research.

It has been found that crystal with garnet structure has many properties which are desirable in a laser host since it is chemically stable, mechanically hard and has good thermal and optical properties. The most promising candidates are Y<sub>3</sub>Al<sub>5</sub>O<sub>12</sub> (YAG), Gd<sub>3</sub>Ga<sub>5</sub>O<sub>12</sub> (GGG), Gd<sub>3</sub>Sc<sub>2</sub>Ga<sub>3</sub>O<sub>12</sub> (GSGG), La<sub>3</sub>Lu<sub>2</sub>Ga<sub>3</sub>O<sub>12</sub> (LLGG), Y<sub>3</sub>Sc<sub>2</sub>Ga<sub>3</sub>O<sub>13</sub>

Sensitizers have been used to enhance the overall laser efficiency by increasing the pumping efficiency. A "sensitizer" is a second ion that both is better coupled to the

excitation source and also is able to transfer the excitation energy efficiently to Nd<sup>3+</sup> ions, populating the  $^4F_{3/2}$  or higher energy level. The use of Cr<sup>3+</sup> ion as a sensitizer is desirable because the ion has two broad absorption bands in the red and blue-green wavelength regions, resulting from vibronic transitions to the  $^4T_2$  and  $^4T_1$  energy levels. The broad, strong absorption bands of Cr<sup>3+</sup> ions in the visible range overlap well with the emission spectra of lamps. Moreover, the Cr<sup>3+</sup> emissions are in the red and near infrared regions and overlap strongly with the absorption of rare earth ions.

Cr<sup>3+</sup> doped materials can exhibit a broad band 3-level system, if a relatively weak crystal field strength at the Cr site yields a reduced  $^4T_2$ - $^4A_2$  splitting due to the thermal population of the  $^4T_2$  level and the high transition probability of the spin-allowed  $^4T_2$ - $^4A_2$  transition, most of the fluorescence can be channeled into the broad band  $^4T_2$ - $^4A_2$  transition. The relative intensity of the  $^2E$ - $^4A_2$  transitions (R-lines) and broad band  $^4T_2$ - $^4A_2$  transition depends on the energy gap  $\Delta E = E(^4T_2) - E(^2E)$ . For instance,  $\Delta E$  is nearly zero in GSGG(50 cm<sup>-1</sup>), and negative in LLGG (-1000 cm<sup>-1</sup>). As an example, Fig.1 shows the emission spectra of different garnet crystals.

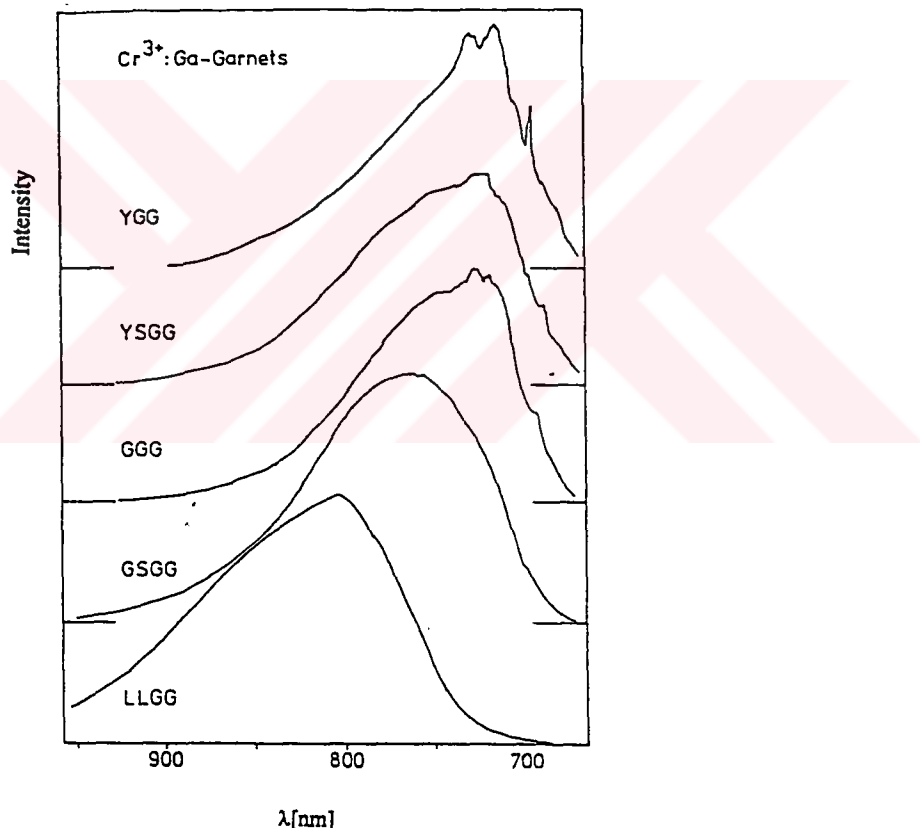


Fig.1. Emission Spectra of Cr<sup>3+</sup> in various Ga-garnets. From top to the bottom crystal field strength is decreasing.

From the top to the bottom, the lattice constant increases with a corresponding decreasing crystal field strength. Thus, the relative intensity of the R-lines near 700 nm decreases and the broad band fluorescence is shifting to longer wavelengths. Following this approach, such behavior has been realized in many host lattices for Cr<sup>3+</sup>. If the energy gap  $\Delta E$  is very small, both levels <sup>2</sup>E and <sup>4</sup>T<sub>2</sub> are mixed through spin-orbit coupling. The typical laser wavelengths of tunable Cr<sup>3+</sup> systems are located between 750 nm and 1000 nm depending on the actual crystal field of the host crystal at the Cr- site.

Energy transfer processes are very important in quantum electronic laser devices, because they can provide the enhancement of the fluorescence emission and the consequent reduction of the laser threshold. This is usually achieved by the introduction in a crystal of an additional ion called sensitizer which strongly absorbs the pumping energy and transfers it as excitation energy to the ion(activator) responsible for the main fluorescence for the main fluorescence emission.

Neodymium is one of the most important activators in solid state laser systems. It has an ideal four level system lasing at 1.06  $\mu\text{m}$ . from the upper metastable state <sup>4</sup>F<sub>3/2</sub> to the lower state <sup>4</sup>I<sub>11/2</sub>. However, because the trivalent neodymium ions exhibit partly forbidden electric dipole transitions between the 4f<sup>3</sup> electronic states, their absorption and emission spectrum consists of rather weak and narrow sharp lines because the incompletely filled 4f shell is an inner one and the 4f electrons, which are responsible for the optical transitions are shielded by the outer filled 5s<sup>2</sup>5p<sup>6</sup> shells from external influences. The narrow absorption lines of Nd<sup>3+</sup> overlap poorly with the radiation spectra of commercially available high power lamps. This leads to a waste of a large part of the pump energy. The sensitization of the Neodymium laser emission by codoping Neodymium and Chromium is an efficient way to increase the laser efficiency. Especially in rare earth gallium garnets this coactivation was found to be successful.. Doping with Chromium causes broad absorption bands which couple well to the flash lamp spectra. It has also been shown that the codoping of Gd<sub>3</sub>Sc<sub>2</sub>Ga<sub>3</sub>O<sub>12</sub> with Cr and Nd increases the overall efficiency of the Nd emission due to the spin allowed nature of the Cr transition and the good overlap between the Cr emission and the Nd absorption. The conditions for such an overlap have been established by exploiting the effect of the crystal field strength on the spectral position of the emitting level of a transition metal ion.(Cr<sup>3+</sup>) If such an ion acts as sensitizer, a proper host may provide a crystal field that positions the broad band emission of Cr<sup>3+</sup> as to create a better spectral coincidence between it and the sharp absorption levels of the rare earth activator ion Nd<sup>3+</sup>. An energy transfer from Cr<sup>3+</sup> to Nd<sup>3+</sup> increases the quantum efficiency Nd<sup>3+</sup> emission.

In its simplest form energy transfer involve the transfer of energy from one ion to another in glasses, crystals and molecules imbedded in solid state lattices.

Energy transfer can be analyzed in two groups;

1) Radiative Energy Transfer:

This process can be divided into two steps, first sensitizer ion decays from the excited level to the ground level by emitting radiation then activator ion absorbs the radiation emitted by the sensitizer ion and decays from the ground level to the excited level. In radiative transfer interaction between the sensitizer ion and the activator ion is not necessary.

2) Non-Radiative Transfer:

The effects that affect the efficient of this transfer process are; spectral overlap between the luminescence of the sensitizer and the absorption spectrum of the activator ion, life time measurements of the sensitizer ion and absorption coefficient of the activator ion.

All transitions between states (e.g.,  $S^* A \rightarrow S A^*$ ) due to weak perturbations can be formulated in terms of a “Golden Rule”:

$$\text{Probability}(S^* A \rightarrow S A^*) \rightarrow 2\pi/\hbar(\rho) \langle \Psi_i | H | \Psi_f \rangle^2$$

where  $\Psi_i$  is the wave function of the initial state,  $\Psi_f$  is the wave function of the final state,  $\rho$  is density of initial and final states capable of interaction, and  $H$  is the specific interaction capable of coupling  $\Psi_i$  and  $\Psi_f$ . For the electron energy transfer  $S^* + A \rightarrow S + A^*$ ,  $\Psi_i$  corresponds to  $\Psi(S^*)\Psi(A)$  and  $\Psi_f$  corresponds to  $\Psi(S)\Psi(A^*)$ . Since there are two electronic mechanisms by which  $\Psi_i$  can undergo transition to  $\Psi_f$  we can break  $H$  up into two types of interaction i.e.,  $H_e$  the exchange interaction and  $H_c$  the Coulombic interaction.

The phenomenon of energy transfer in solid state materials has been known for most of the twentieth century; it was best modeled and described in the pioneering work of Förster, Dexter, Inokuti and Hirayama.

For explaining the energy transfer if we model the ions involved in energy transfer each as an electron and a nucleus, with charge  $-e$  and  $+e$  respectively, in a harmonic oscillator potential. Assuming that one has simple one dimensional harmonic oscillators each with Hamiltonians  $H_i$  of the form

$$H_i = \frac{1}{2m} P_i^2 + \frac{1}{2} C x_i^2 \quad (1)$$

for the  $i^{\text{th}}$  oscillator where  $p$  is the momentum,  $x_i$  is the one-dimensional displacement of the  $i^{\text{th}}$  electron,  $m$  is the mass of an electron and  $C$  is the coupling constant. The ions themselves are coupled through the Coulombic interaction whose Hamiltonian is

$$H_c = \frac{e^2}{R} + \frac{e^2}{R+x_1-x_2} - \frac{e^2}{R+x_1} - \frac{e^2}{R-x_2} \quad (2)$$

$R$  is the distance between nuclei. The first term represents the nucleus-nucleus interaction, the second is the electron-electron interaction, and the third and fourth term are the electron-nucleus interaction between the electron of the first/second ion and the nucleus of the second/first ion, respectively. By expanding for small  $x_1$  and  $x_2$  relative to  $R$ , this Hamiltonian can be approximated as

$$H_c \approx \frac{-2e^2 x_1 x_2}{R^3} \quad (3)$$

When the Hamiltonian shown in Eqs.(1) and (3) are coupled together the new frequencies of oscillation can be calculated; the overall change in energy for the system is proportional to series of terms, the first of which is proportional to  $1/R^6$ . This is the origin of the  $R^{-6}$  dependence for the dipole-dipole interaction for energy transfer. The Coulombic interaction causes the energy to slosh between the electron and nucleus; the greater the interaction, the faster the energy transfer. The overall energy of the system is preserved.

There are three basic mechanisms which may produce energy transfer between rare earth ions:

- 1) If photons are emitted by an ion S and absorbed by an ion A, the transfer of energy is said to take place by a cascade type of mechanism. Ion S must be by itself a good emitter of fluorescence in a region in which the ion A absorbs strongly. In this case the fluorescence lifetime of the ion A absorbs strongly. In this case the fluorescence lifetime of the ion S is not affected by the presence of the ion A, and the emission of fluorescence by S is decreased only at those wavelengths at which A absorbs.
- 2) Energy process may also take place through a mechanism of the resonant type which produces the so called sensitized fluorescence. The fluorescent ion is called the activator and the additional dopant ion is called the sensitizer, and it produces an enhancement of the absorption features of the compound. The sensitizer may not present strong fluorescence, and the activator may not present strong absorption in the fluorescence region of the sensitizer. If it can be measured, the lifetime of the

sensitizer is found to decrease in the presence of the activator; also all the fluorescence lines of the sensitizer originating in the state participating in the energy exchange are quenched in the presence of the activator.

- 3) Another possible mechanism for energy transfer is of the phonon assisted type. The intervention of phonons is determined by the requirement of the conservation of energy and is to be found in systems where there is no overlap between the energy levels of the sensitizer and those of the activator.

Absorption measurements provide basic information about the position of the energy levels and the pumping capability of an ion. Fluorescence measurements give information about the frequency and shape of the fluorescence lines. Excitation experiments, in which one emission frequency is monitored while the frequency of the exciting light is varied, provide information about the pumping bands responsible for populating of the metastable level.

Thermal vibrations play an important role in fluorescent systems; they strongly affect the kinetics of the excitation of the metastable state by providing fast radiationless processes between the absorption bands and these states. They may also affect through the modulation of the crystalline field the width and position of the sharp fluorescence lines which in several cases are feasible to produce laser oscillations. Finally they may affect the lifetime of the metastable level by either depleting the population of this level through radiationless processes or by producing phonon assisted emission which appears in the form of sidebands to the main no-phonon lines.

Activated Crystals, however, best revealed their properties after Johnson and Nassau developed a  $\text{CaWO}_4\text{-Nd}^{3+}$  laser emitting near  $1\mu\text{m}$  at room temperature with an extremely low excitation threshold. This behavior was attributed to the fact that the terminal level for an induced transition in the  $\text{Nd}^{3+}$  ion lies about  $2000\text{cm}^{-1}$  above the ground level and is practically unpopulated at operating temperatures. Currently the  $\text{Nd}^{3+}$  ions is the most widely used laser crystal activator.

In solid state lasers, stimulated emission is attributed to transitions between electronic levels of activator ions. In recent years, scientists have searched for new laser crystals and for ways of improving their efficiency. Thus in order to improve the generation characteristics, the principle of sensitization was employed.

During the emergence of quantum electronics, spectroscopic studies of activated crystals suggested their possible use in laser systems. Later, experience accumulated in studies of stimulated emission parameters allowed, in many cases, a much deeper and more complete analysis of the characteristics of these materials, and helped uncover their properties, adding to the information from such conventional spectroscopic methods as luminescence and absorption analyses. Thus, a new trend of spectroscopy originated at

the junction of quantum electronics and classical spectroscopy, namely, the stimulated emission spectroscopy of activated crystals which is currently being rapidly developed.

In Cr:Nd:YAG the Nd<sup>3+</sup> fluorescence decay time is shorter than the transfer time from Cr<sup>3+</sup> to Nd<sup>3+</sup>. Thus a poor energy transfer efficiency results in the pulsed mode. In Cr:Nd:GGG and Cr:Nd:GSGG the transfer rate is much higher because the transfer occurs from the <sup>4</sup>T<sub>2</sub> state of Cr<sup>3+</sup> and not from the <sup>2</sup>E state as in YAG. In these crystals the energy gap between <sup>2</sup>T<sub>4</sub> and <sup>4</sup>T<sub>2</sub> is smaller than in YAG due to a lower crystal field strength. Therefore the <sup>4</sup>T<sub>2</sub> is thermalized with the <sup>2</sup>E state, which causes a broad band luminescence. This chromium emission, which has a good overlap with Nd<sup>3+</sup> absorption bands, and the short transfer time from Cr<sup>3+</sup> to Nd<sup>3+</sup> enable a high energy transfer efficiency. Pruss and coworkers reported a transfer efficiency of 0.86 in Cr:Nd:GSGG.

G. Armađan et al. reported that the temperature dependence of the energy transfer process from Cr to Nd in GSGG:Cr:Nd is due to the thermal variation of the radiative decay probability of Cr.

Lundth and Weidner found that Cr<sup>3+</sup> to Nd<sup>3+</sup> energy transfer in Cr:Nd:GGG and GSGG:Cr:Nd occurs with the same efficiency. In both materials this transfer leads to an increase in laser efficiency compared to Nd:YAG.

In this study, the effect of sample temperature on the energy transfer efficiency was investigated. Here Cr<sup>3+</sup> was chosen as sensitizer ion and Nd<sup>3+</sup> as activator ion in LLGG. The energy transfer from Cr<sup>3+</sup> to Nd<sup>3+</sup> enhances the emission intensity of Nd<sup>3+</sup> emission centered at 1.06μm. And the transfer rate was found to be 0.015μs<sup>-1</sup> at room temperature.

## BÖLÜM 1.

### GİRİŞ

Lazerin 1960 yılında ilk defa geliştirilmesinden bugüne pek çok değişik lazer çeşidi geliştirilmiştir. Yüksek lazer verimine sahip yeni malzemeler günümüz katıhal lazer araştırmalarının başlıca konusudur. [1]

Garnet yapısındaki kristaller lazer hostlar için istenilen özelliklere sahiptir, bu özellikler; kimyasal olarak dengede, mekaniksel olarak sert, iyi ısisal ve optik özellikleri olmalarıdır. Garnet kristallerin en önemlileri  $\text{Y}_3\text{Al}_5\text{O}_{12}$ (YAG) [2-7],  $\text{Gd}_3\text{Ga}_5\text{O}_{12}$ (GGG) [7-11],  $\text{Gd}_3\text{Sc}_2\text{Ga}_3\text{O}_{12}$ (GSGG) [12-14],  $\text{La}_3\text{Lu}_2\text{Ga}_3\text{O}_{12}$ (LLGG) [15-17],  $\text{Y}_3\text{Sc}_2\text{Ga}_3\text{O}_{12}$ 'dir.[18-20]

Verici iyonlar pompalama verimini artırarak lazerin verimini yükseltmek amacıyla kullanılırlar. Bir verici iyon, uyarma kaynağıyla iyi uyum sağlayan ve aynı zamanda uyarma enerjisini verimli olarak alıcı iyona transfer edebilen iyondur. [21].  $\text{Cr}^{3+}$ ,  ${}^4\text{T}_2$  ve  ${}^4\text{T}_1$  enerji düzeylerine titreşimsel geçişler sonucu kırmızı ve mavi yeşil dalgalaboyu bölgelerinde iki tane geniş soğurma bandına sahip olduğu için verici iyon olarak kullanılması uygundur.

$\text{Cr}^{3+}$ ,nin görünür bölgedeki geniş ve güçlü soğurma bantları uyarma kaynaklarının emisyon spektralıyla, kırmızı ve yakın kızılötesi bölgede nadir toprak iyonlarının soğurma spektrumlarıyla güçlü bir şekilde üst üste binerler.

Enerji transfer prosesleri kuantum elektronik lazer aletlerinde çok önemlidir çünkü bu aletler floresans emisyonunda artış sağlarlar ve lazer eşliğini düşürürler. Bu,

genellikle pompalama enerjisini kuvvetli bir şekilde soğuran ve bu enerjiyi alıcı iyona uyarma enerjisi olarak transfer eden, verici iyon olarak adlandırılan ek bir iyonun kristale katkılamasıyla yapılır.

Neodmiyum katıhal lazer sistemlerindeki en önemli alıcı iyonlardan biridir.  $Nd^{3+}$   $^4F_{3/2}$  üst seviyesinden  $^4I_{11/2}$  alt seviyesine geçerken  $1.06\mu m$ 'de lazer ışığı veren dört seviyeli bir sisteme sahiptir. [24,25] Bununla birlikte  $Nd^{3+}$  4f<sup>3</sup> elektronik seviyeleri arasında kısmen yasaklanmış elektrik-dipol geçişleri gösterdiği için soğurma ve emisyon spektrumları dar ve keskin çizgilerden oluşur.  $Nd^{3+}$ 'nin dar soğurma çizgileri yüksek güclü lambaların radyasyon spektrallarıyla çok zayıf bir şekilde üst üste biner, bu durum pompalama enerjisinin büyük bir kısmının kullanılamamasına yol açar. Bu nedenle lazer hostları Cr<sup>3+</sup> ve Nd<sup>3+</sup> ile birlikte katkılamak lazer verimini artırmak için etkili bir yoldur.

Özellikle nadir toprak galyum garnetlerinde bu yöntemin başarılı olduğu bulunmuştur. [26]  $Gd_3Sc_2Ga_3O_{12}$  Cr ve Nd ile katkılandığında Cr ile iyonunun emisyon bantlarıyla Nd iyonunun soğurma bantları kuvvetli bir şekilde üst üste bindiği için Nd emisyonunun veriminin arttığı gözlenmiştir. [27]

Enerji transferi en basit tanımla camlarda, kristallerde ve katıhal örgülerindeki moleküllerde bir iyondan diğerine enerji aktarımıdır. [28] Enerji transferi en iyi biçimde Förster[29,30] , Dexter[31] Inokuti ve Hirayama [32] tarafından tanımlanmış ve modellenmiştir. [33]

Enerji transferi iki grupta incelenebilir.

### 1) Işimalı enerji transferi

Bu proses iki adıma ayrılabilir, ilk olarak verici iyon uyarılmış bir seviyeden temel seviyeye radyasyon yayınlayarak geçebilir sonra alıcı iyon verici iyon tarafından yayınlanan enerjiyi soğurarak temel seviyeden uyarılmış seviyeye geçer. İşimalı transferde alıcı ve verici iyonlar arasında etkileşme olması gereklidir.

## 2) Işımasız Enerji Transferi

Bu transferin verimini etkileyen üç önemli faktör, verici iyonun lüminesansı ile alıcı iyonun soğurma spektrumları arasındaki spektral üst üste binme, verici iyonun yaşam süresi ve alıcı iyonun soğurma katsayısı olarak sıralayabiliriz.

Johnson ve Nassau'nun oda sıcaklığında son derece düşük uyarma eşiği ile yaklaşık 1mm'de ışırma yapan CaWO<sub>4</sub>:Nd lazerini geliştirdikten sonra aktive edilmiş kristallerin özellikleri açığa çıkmıştır. [34] Bu davranışın nedeni Nd<sup>3+</sup> iyonunun indüklenmiş geçiş için son seviyenin, temel seviyenin yaklaşık 2000cm<sup>-1</sup> üzerinde olmasıdır. Nd<sup>3+</sup> son yıllarda en çok kullanılan lazer kristal aktivatördür.

Katıhal lazerlerinde aktivatör iyonların elektronik seviyeleri arasındaki geçişler uyarılmış emisyon yoluyla olur. Son yıllarda bilimadamları yeni lazer kristalleri ve bu kristallerin verimini artıracak artıracak yöntemler üzerinde çalışmalar yapmaktadır.[35]

Katı hal lazer sistemlerinde enerji transfer prosesleri çok önemlidir, çünkü bu prosesler lazer ışırma verimini artırdıkları gibi lazerin threshold'unda düşmeye sebep olurlar. [36], teorik olarak [29,30], [31] ve [32] tarafından modellenerek tanımlanmıştır. Basit olarak, cam, kristal ve katı yapı içerisine katılanmış molekül yapılarda enerjinin bir iyondan diğer iyona aktarımıdır. Burada enerji veren iyon verici, alan iyon da alıcı olarak isimlendirilir. Förster ve Dexter çalışmalarında vericilerin flaş lamba ile uyarılması sonunda oluşan denge durumunda uyarılmış enerji seviyelerinde bulunan alıcı ve verici iyon konsantrasyonlarını belirlemiştir.

Son on beş yıl içinde Nd - Cr katkılı garnet kristallerdeki enerji transfer prosesleri ayrı bir önem kazanmıştır. [37-39] Bu garnet kristaller katı-hal lazerlerin yükseltici ortamı olarak kullanıldığından Cr<sup>+3</sup>dan (verici iyon) Nd<sup>3+</sup> (alıcı) iyona olan enerji transfer olayı resonant ışımasız transferdir, ve bu transferin verimi alıcı ve verici iyonlar arasındaki mesafeye bağlıdır. Enerji transferi bu nedenle aralarında farklı uzaklık bulunan alıcı-verici iyon çifti arasında istatiksel olarak gerçekleşir ve uyarılmış seviyedeki verici iyon sayısının zaman içindeki değişimi [32]

$$N_D(t) = N_D(0) \exp\left(-\left(\frac{t}{\tau_0^D}\right)^2 - At^{\frac{1}{2}}\right)$$

İfadesi ile verilir. Burada  $\tau_0^D$  vericinin alıcı iyonun bulunmadığı ortamda ölçülen yaşam süresi ve A ise enerji transfer prosesinin tipine bağlı ve transfer hızını belirleyen sabittir.

Değişik kristal yapılarda Nd<sup>3+</sup> iyonunun 1.06 μm.' de merkezlenmiş olan lazer ışımı verimini etkileyen transfer prosesleri ayrıntılı olarak araştırılmıştır. Örneğin Cr,Nd:GSGG'de transfer hızı 0.18 μs<sup>-1</sup> olarak G. Armağan ve B. Di Bartolo tarafından ölçülmüştür. [51]

Nd<sup>3+</sup> ve Cr<sup>3+</sup> katkılı, Lantanyum Lutesyum Galyum Garnet kristalleri ilk olarak Thomas H. Allik ve arkadaşları tarafından 1988 yılında Czochralski kristal büyütme tekniği kullanılarak üretilmiştir [15]

Nd<sup>3+</sup> ve Cr<sup>3+</sup> iyonlarının bu kristal içindeki ve bazı optik özelliklerini T. Allik ve arkadaşları tarafından incelenmiştir. Ancak 1.06 μm.' deki lazer ışımı şiddetine kristal sıcaklığının etkisinin bugüne kadar araştırılmamış olduğu anlaşılmıştır. Kristal sıcaklığı lazer verimini etkileyen en önemli parametrelerden birisidir. Bu nedenle bu tez çalışmasında sıcaklığın ışığın şiddetine dolayısıyla da Cr→Nd enerji transfer hızının sıcaklık ile değişimi üzerine etkisi ayrıntılı olarak araştırılmıştır.

## BÖLÜM 2.

### AKTİVE EDİLMİŞ KRİSTALLERİN SPEKTRAL VE LAZER ÖZELLİKLERİ;

#### 2.1. İŞIĞIN SOĞURMA VE EMİSYON TEORİLERİNİN TEMEL KAVRAMLARI

İşığın madde ile etkileşiminin temel kanunları, Şekil.2.1'de görüldüğü gibi üst enerji seviyesi  $E_2$ , alt enerji seviyesi  $E_1$  olan iki enerji seviyeli basit bir kuantum sistemi düşünülerek çıkartılabilir. Böyle bir sistem termal denge halindeyken aşağıdaki eşitliğe sahiptir;[40]

$$\frac{N_2}{N_1} = \frac{g_2}{g_1} \exp\left(\frac{E_2 - E_1}{kT}\right) \quad (2.1)$$

Bu eşitlikte  $N_1$ ,  $E_1$  enerji aktivatörlerin sayısını,  $N_2$ ,  $E_2$  enerjili aktivatörlerinin sayısını,  $T$  sıcaklığı  $k = 1,38 \cdot 10^{16}$  erg.K<sup>-1</sup> Boltzmann sabiti,  $g_1$ ,  $g_2$  ise dejenerelikler veya seviyelerin istatiksel ağırlıklarını yani aynı enerji seviyesindeki bağımsız kuantum durumlarını göstermektedir.

Bu sistem  $\nu_{21}$  frekanslı bir ışıkla uyarıldığında olasılığı  $B_{12}U(\nu_{21})$  olan  $1 \rightarrow 2$  geçisi ile termodinamik dengesi bozulur. Kolaylık açısından  $g_1 = g_2$  alacağız. Sistemin başlangıç dengesine geri dönmesi yani  $2 \rightarrow 1$  geçisi iki proses ile olabilir. Bu nedenle bu olayın olasılığı ;  $A_{21} + B_{21}U(\nu_{21})$  ile verilir.

Sistemin denge koşulu ise;

$$B_{12}U(\nu_{21}) N_1 = A_{21}N_2 + B_{21}U(\nu_{21})N_2 \quad (2.2)$$

veya

$$U(\nu_{21}) (B_{12} N_1 - B_{21} N_2) = A_{21} N_2 \quad (2.3)$$

ile verilir (2.1)denklemini kullanarak (2.3) denklemini

$$U(\nu_{21}) [B_{12} \exp(h\nu_{21}/kT) - B_{21}] = A_{21}$$

haline getirebiliriz. Böylece spektral akı yoğunluğu (flux density) ve Einstein katsayıları arasında basit bir bağlantı elde edilir.

$$U(\nu_{21}) = \frac{A_{21}}{B_{12} \exp(h\nu_{21}/kT) - B_{21}} \quad (2.4)$$

Kapalı bir kavite içindeki denge akı yoğunluğu için klasik Planck formülü;

$$U(\nu) = \frac{8\pi h\nu^3}{c^3} \frac{1}{\exp(h\nu/kT) - 1} \quad (2.5)$$

Bu formülü (2.4) formülü ile karşılaştırırsak Einstein katsayıları arasındaki ortamın boşluk olmadığı durumlarda geçerli olan bağıntıları elde edebiliriz.

$$B_{12} = B_{21} \quad (2.6)$$

$$B_{21} = \frac{c^3}{8\pi h\nu_{21}^3 n^3} A_{21} \quad (2.7)$$

Bu bağıntıları genel olarak yazarsak;

$$B_{ij} g_i = B_{ji} g_j \quad (2.8)$$

$$B_{ji} = \frac{c^3}{8\pi h v_{ji}^3 n^3} A_{ji} \quad (2.9)$$

Bu bağıntılarda yer alan  $c$  boşluktaki ışık hızını,  $n$  ise ortamın kırılma indisini göstermektedir.

$\frac{c^3}{8\pi h v_{21}^3 n^3}$  faktörü tek frekans (single) aralığı üzerinden yayılma yapan, birim hacimdeki ışımlı osilatörlerin sayısını (osilasyon modlarını) verir. (2.8) ve (2.9) da enerji seviyeleri üzerinden parçacık dağılımı fonksiyonları ya da dış alan özelliklerini tanımlayan bir parametre yoktur ve bu denklemler sıcaklığa bağlı değildir. Katsayılar arasındaki ilişki sadece etkileşen  $E_i$  ve  $E_j$  seviyeleri arasındaki enerji aralığına ve bu seviyelerin istatiksel ağırlıklarına bağlıdır. Eğer (2.8) ve (2.9) eşitlikleri geçersiz ise bu (2.2) koşuluna zıt bir durumdur ve manyetik ışma ile madde arasında termodinamik dengeye ulaşılır.

Dengede olan sistem için gerekli olan koşullara dönersek, (2.2) denkleminin sol tarafı soğurmayı belirtmektedir. Fiziksel olarak farklı iki terim içeren sağ tarafı ise emisyonu göstermektedir. Kendiliğinden emisyon dış alana bağlı değildir ve rastgele fazlı olan bir merkezler topluluğu tarafından üretilmektedir. Emisyonun özellikleri yalnızca aktive olmuş ortamın özellikleri ile saptanır. Saf olmayan ortam durumunda bu proses lüminesans olarak açığa çıkar.

(2.2) denkleminin sağ kısmının ikinci terimi yani  $B_{21}U(v_{21})N_2$  terimi ise bizim için çok önemli olan laser ışmasını gösteren indüklenmiş emisyonu tanımlamaktadır. Laser ışması lüminesansının tersine coherentdir (uyumludur), frekansı ve fazı indükleyici elektromanyetik alan tarafından sağlanır.

Genel lazer özelliklerini düşünürken indüklenmiş ışımlı geçişleri kesit alanı  $\sigma_e$  ile göstermek olasılıkla göstermekten daha uygundur.

Olasılıktan  $\sigma_e$  'ye geçebilmek için, birim zamanda ortamın yüzeyinin  $1\text{cm}^2$  'inden geçen toplam foton sayısını veren radyasyon şiddeti  $J(v)$  'yü tanımlamamız gereklidir.

$$B_j, U(v_{ij}) = \sigma_e J(v_{ij}) \quad (2.10)$$

veya

$$\sigma_e = B_{ji} U(\nu_{ij}) / J(\nu_{ij})$$

şeklinde yazılabilir.

Emisyon spektrumu,  $g(v)$  şekil faktörüne sahip tek bir dar çizgiden oluşuyorsa  $\sigma_e$  paremetresi çeşitli şekiller alabilir. Eğer ;

$$\sigma_e = B_{ji} \frac{h\nu_{ij}n}{c} g(v) = A_{ji} \frac{c^2}{8\pi\nu_{ij}^2 n^2} g(v) \quad (2.11)$$

olarak kullanılsrsa ;

$$J(\nu_{ij}) = U(\nu_{ij}) \frac{c}{h\nu_{ij}n} \frac{1}{g(v)} \quad (2.12)$$

olur.  $\Delta\nu_{lum}$  genişlikli Lorentz lüminesans çizgisi için (2.1.11) ifadesi

$$\sigma_e = A_{ji} \frac{c^2}{4\pi^2 \nu_{ij}^2 n^2 \Delta\nu_{lum}} = A_{ji} \frac{\lambda_{ij}^2}{4\pi^2 n^2 \Delta\nu_{lum}} \quad (2.13)$$

Gausyen lüminesans çizgisi için ise;

$$\sigma_e = A_{ji} = \frac{\lambda_{ij}^2}{8\pi n^2 \Delta\nu_{lum}} \quad (2.14)$$

halini alır. Burada  $\lambda_{ij}$  emisyon dalgaboyudur. (2.13) eşitliği Füchtbauer-Ladenburg formülünün çeşitli formlarından bir tanesidir.

Bir kuantum sistemi tarafından termodinamik dengenin kaybını karakterize eden negatif sıcaklık kavramını düşünerek (2.1) denklemini şu şekilde yazabiliriz;

$$T = -\frac{E_2 - E_1}{k \ln(\frac{N_2}{N_1})} \quad (2.15)$$

Paydada yer alan seviye populasyonunun oranının doğal logaritması denge koşulları altında  $N_2 > N_1$  olması nedeniyle negatiftir. Sonuç olarak termodinamik dengede, sıcaklık pozitiftir. Sadece  $N_2 > N_1$  şartı sağlandığı zaman ışimalı indüklenmiş geçişler mümkündür. (2.15) denklemine göre, böyle bir sistem negatif sıcaklık ile karakterize edilir. Bir sistemin böyle bir durumunu elde edebilmek ve bu durumu belirli bir zaman sürecinde koruyabilmek, lazer üretimini sağlayabilmek için çözülmesi gereken problemlerden biridir.  $N_2 > N_1$  şartını sağlayan bir sistemden dengeye geçiş sadece indüklenmiş geçişle olmaz, optiksel bölgede, kendiliğinden emisyon üst seviyenin decay kanalının ağırlığı geçiş frekansının kübüyle doğru orantılı olarak arttığı için indüklenmiş emisyondan daha baskındır. Bu nedenle lazer tasarımcıları indüklenmiş geçişleri kendiliğinden emisyondan daha baskın yapmaya çalışırlar. Kuantum geçişlerinin temel özellikleri göz önüne alınarak saf olmayan bir malzemedede lazer emisyonu ya da uyarılmış emisyon meydana getirebilmek için gerekli koşulları inceleyelim,  $J_0$  şiddetli,  $v_{21}$  frekanslı paralel, monokromatik bir ışık demetinin negatif sıcaklığı olan ve 1 uzunluklu aktive edilmiş bir ortama geldiğini düşünürsek madde ile üzerine gelen zayıf ışığın etkileşimi

$$J=J_0 \exp(-k_v l) \quad (2.16)$$

veya

$$J/J_0 = \exp(-k_v l)$$

İfadeleri ile tanımlanabilir. Burada  $J$  iletilen şiddetdir.

$$k_v = (k_1 + k_2) + \rho \quad (2.17)$$

(2.17) denklemi ortamın birim uzunluğundaki toplam soğurma katsayısını verir. Bu ifadedeki  $k_1$  katsayısı  $\sigma_e$  ve  $N_1$  ile orantılıdır ve  $1 \rightarrow 2$  geçişini temsil eder.  $k_1$  her zaman pozitiftir çünkü bu işlem alandan(field) maddeye enerji akışını kapsar.  $k_2$  katsayısı  $2 \rightarrow 1$  geçişinin şiddetini karakterize eder, bu durumda enerji akışı ters yönde olduğu için bu katsayı negatiftir,  $\sigma_e$  ve  $N_2$  ile orantılıdır.  $\rho$  katsayısı ise ortam içindeki kuantum sisteminin kendisi dışında olan kayıplarını gösterir. Bunlar yabancı parçacıklar tarafından saçılma nedeniyle ortaya çıkabilir.  $\rho=0$  olduğu durumda toplam soğurma katsayısı;

$$k_\nu = \sigma_e N_1 - \sigma_e N_2 = \sigma_e (N_1 - N_2) = -\sigma_e (N_2 - N_1) = -\sigma_e \Delta N \quad (2.18)$$

Sıcaklığı negatif olan bir sistemde,  $\Delta N > 0$  böylece  $k_\nu < 0$  olur, bu da gelen radyasyonun şiddetine bir artış olduğunu gösterir. Eğer (2.18) denklemi (2.16) denkleminde yerine konulursa  $J/J_0$  oranının 1'i aşağısı açıktır.  $\Delta N$ 'nin değeri aktif parçacıkların sayısı olarak bilinir ve bir kuantum sistemindeki seviye geçişlerinin inversiyon derecesini karakterize eder.  $\sigma_e \Delta N = \alpha_\nu$ , kazanç katsayısı olarak tanımlanabilir. (2.16) denklemi bu tanımları kullanarak tekrar yazarsak;

$$J/J_0 = \exp [(\alpha - \rho) l] J_\nu = \exp [(\sigma_e \Delta N - \rho) l] J_\nu \quad (2.19)$$

eşitliği elde ederiz.

Gerçek bir ortamda  $\rho \neq 0$ 'dır. (2.19) denklemine göre bir sistemde  $\Delta N$ 'yi veya  $l$ 'yi artırarak yüksek kazanç sağlanabilir. Diğer yöntem ise bir ışık demetinin aktif ortamdan bir çok kere geçmesidir ve bu yöntem en yaygın olarak kullanılan yöntemdir. Bu yöntemde bir tanesi %100 yansıtmalı, diğer ise kısmen yansıtmalı iki düzlem ayna kullanılır. Yeterli fazlalıkta  $\Delta N$ 'de tam yansıtmalı aynadan bir kez yükseltilmiş akıdan daha yüksek bir değere ulaşmak için tekrar yükseltilebilir. Eğer bu akı kısmen yansıtmalı aynadan tekrar ortama dönerse yükseltici bir üreteç haline gelir, çünkü artık yaptığı işlem dışarıdan gelen ışığa bağlı değildir.

Böyle bir üretici uyarmanın koşulu, demetin ortamdan ve kısmen yansıtmalı aynadan geçişindeki kayıpları hesaba katarak;

$$J/J_0 = R \exp [2(\sigma_e \Delta N - \rho) L]_\nu = 1 \quad (2.20)$$

olmasıdır.

Saf olmayan ortama dayanan gerçek lazer sistemlerinde genellikle uyarılmış emisyon, dışarıdan bir ışık gönderilmesi yerine aktivatör merkezlerinin kendiliğinden emisyonu ile başlatılır.

## 2.2. AKTİVE EDİLMİŞ KRİSTALLERİN SPEKTROSKOPİK ÖZELLİKLERİ;

$\nu_{21}$  frekanslı,  $J_0$  yoğunluğuna sahip olan bir paralel, tek renkli lazer demetinin, 1 uzunluklu, pozitif sıcaklıklı, iki seviyeli izotropik bir ortama geldiğini düşünelim. (2.12) denklemi gözönüne alınırsa, denge koşulu (2.2) aşağıdaki hale gelir,

$$A_{21}N_2 = J_0 \frac{h\nu_{21}n}{c} (B_{12}N_1 - B_{21}N_2)g(\nu) \quad (2.21)$$

İndüklenmiş emisyonun tersine, kendiliğinden emisyon çok yönlüdür ve bu, 1 boyunca yayılan akı için bir kayıp ispatı olabilir. Yayılma yönündeki lüminesansı gözardı ederek, iki seviyeli bir ortamda akıdaki düşme (2.22) denkleminde görüldüğü şekilde gösterilebilir.

$$-\frac{1}{J_0} \frac{dJ}{dl} = \frac{h\nu_{21}n}{c} B_{12}N_1 \left(1 - \frac{N_2}{N_1}\right) g(\nu) \quad (2.22)$$

(2.22) denklemini tüm uzunluk üzerinden integre edersek;

$$J = J_0 \exp(-k_\nu l) = J_0 \exp(-D) \quad (2.23)$$

sonucunu elde ederiz. Bu sonuç (2.16) denklemi ile aynıdır.

(2.23) denklemindeki k;

$$k = \frac{D}{l} = \frac{h\nu_{21}n}{c} B_{12} N_1 \left( 1 - \frac{N_2}{N_1} \right) g(\nu) \quad (2.24)$$

veya (2.19) denklemini gözönüne alarak

$$k_\nu = \frac{\lambda_{21}^2 A_{21} N_1}{8\pi n^2} \left( 1 - \frac{N_2}{N_1} \right) g(\nu) \quad (2.25)$$

ifadesi elde edilir. Bu ifade genellikle deneysel olarak ölçülen indirgenmiş soğurma katsayısını gösterir.  $N_1 >> N_2$  durumu pratikte daha sık görüldüğü için indüklenmiş emisyon ihmali edilebilir. (2.25) denklemini tüm çizgi boyunca integre edersek;

$$\int k(\nu) d\nu = \frac{\lambda_{21}^2}{8\pi n^2} A_{21} N_1 \quad (2.26)$$

sonucuna ulaşırız. (2.26) ifadesi integre edilmiş soğurma katsayısını gösterir ve soğurma spektroskopisinin temel formüllerinden biridir. (2.23) denkleminde yer alan  $D=k_v l$  parametresi soğurmayı tanımlamada kullanılır ve optiksel kalınlık ya da optiksel yoğunluk olarak tanımlanır. (2.24) ve (2.11) ifadelerini karşılaştırırsak soğurma katsayısının alt seviyelerin popülasyonuyla ve geçiş kesit alanı ile doğru orantılı olduğunu görürüz ve (2.27) denklemleriyle ifade edebiliriz;

$$k_\nu = \sigma_a(\nu) N_1 \quad (2.27)$$

veya

$$\sigma_a = k_\nu / N_1$$

Böylece, alt seviyedeki parçacık sayısını bilinirse (seviyeler arasında geniş bir enerji aralığı olduğu durumda  $N_1$ , alıcı iyonların toplam konsantrasyonu C'ye eşittir.) soğurma katsayısı ölçüлerek, geçiş kesit alanı bulunabilir.

Geçiş kesit alanı, kendiliğinden emisyonun veya soğurmanın spektral özelliklerinden yararlanarak iki bağımsız yöntemle bulunabilir. (2.13) ve (2.27) denklemlerini kullanarak,

$$\sigma_e(\nu_{21}) = \frac{\lambda_{21}^2 A_{21}}{4\pi^2 n^2 \Delta\nu_{\text{sum}}} = \frac{k_\nu}{N_1} = \sigma_a(\nu_{12}) \quad (2.28)$$

denklemi elde edilir. (2.9) denklemi ile ilgili olan  $A_{21}$  ve  $B_{21}$  katsayıları elektrik ya da manyetik moment geçisi terimleriyle yazılabilir. Mevcut lazer ortamlarında kullanılan saf olmayan iyonlar için daha çok elektrik dipol geçişleri kullanılır. Kendiliğinden emisyonun olasılığı

$$A_{21} = \frac{64\pi^4 \nu_{21}^3}{3hc^3} P_0^2 \quad (2.29)$$

denklemi ile verilir. Bu denklemde  $P_0$ ; dipol momentini göstermektedir.

$A_{21}$ , integre edilmiş soğurma katsayısı kullanılarak şu şekilde ifade edilebilir;

$$A_{21} = \frac{1}{N_1} \frac{8\pi\nu_{21}^2}{c^2} \int k_\nu d\nu \quad (2.30)$$

Sonuç olarak soğurma katsayısı  $k_\nu$ , yi frekansın fonksiyonu olarak bir adet soğurma çizgisine göre hesaplanırsa kendiliğinden geçiş olasılığı saptanabilir.  $A_{21}$ , bilinmeyen bir indüklenmiş geçiş olasılığı için Einstein katsayısı hesaplanabilir.

Kendiliğinden geçiş olasılığı, en önemli spektroskopik parametrelerden biri olan uyarılmış seviyenin yaşam süresi ile ilişkilidir. Yaşam süresi uyarılma bittikten sonra lüminesans şiddetinin zaman içinde değişme hızını karakterize eder. Laser fiziğinde, yaşam süresi çok önemlidir; çünkü verilen lüminesans ortamının çeşitli laser tiplerine uygun olup olmadığına karar verilmesini sağlar.

İki seviyeli modelimiz çerçevesinde lüminesans nedeni ile uyarılmış parçacık sayılarındaki azalmayı inceleyelim ve uyarılmış 2 seviyesinin lüminesans yaşam süresinin ( $\tau_{lum}$ ) diğer kuantum parametreleriyle ilişkisini düşünelim.  $t=0$  anında sistemin uyarılması kesildiğinde, uyarılmış seviyenin populasyonu  $N_2^0$  olsun;  $t$  ile  $t+dt$  zaman aralığında parçacıkların bir kısmı kendiliğinden emisyon yoluyla 2 seviyesinden 1 seviyesine geçer bu parçacıkların sayısı;

$$-dN_2 = M dt = A_{21} N_2 dt \quad (2.31)$$

Birim zamanda yayınlanan foton sayısı  $M$ ,  $N_2$  ve  $A_{21}$  çarpımına eşit olduğundan;  $N_2$ ,  $t$  anında uyarılmış seviyenin populasyonuna bağlıdır.

Denklem (2.31)'den aşağıdaki sonucu elde ederiz:

$$A_{21} = -\frac{1}{N_2} \frac{dN_2}{dt} \quad (2.32)$$

Genel olarak uyarılmış seviyeden gelen birden fazla lüminesans kanalı varsa (2.31) eşitliğini aşağıdaki şekilde yazmak gereklidir;

$$-dN_j = \sum_i A_{ji} N_j dt \quad (2.33)$$

Bu denklemden,

$$\sum_i A_{ji} = -\frac{1}{N_j} \frac{dN_{ji}}{dt} \quad (2.34)$$

olduğu görülür.

Bu diferansiyel denklemin çözümü ise,

$$N_j = N_j^0 \exp(-\sum_i A_{ji} t) \quad (2.35)$$

denklemi ile verilir.

Bu denkleme göre birden fazla kendiliğinden emisyon kanalı olan durumlarda uyarılmış seviyenin populasyonu zamanla eksponansiyel olarak azalır.

Düşündüğümüz kuantum sistemi modeline göre lüminesans şiddeti uyarılmış parçacıkların sayısı ile doğru orantılıdır. Lüminesans şiddetinin zamanla değişimi Şekil.2.2'de verilmiştir. Düşündüğümüz kuantum sistemi modeline göre lüminesans şiddeti uyarılmış parçacıkların sayısı ile doğru orantılıdır. Bu nedenle;

$$\frac{I_{lum}}{I_{lum}^0} = \frac{N_j}{N_j^0} = \exp(-\sum_i A_{ji} t) \quad (2.36)$$

denklemi ile verildiğinden

$$t = \frac{1}{\sum_i A_{ji}} \text{ anında}$$

$$\frac{I_{lum}}{I_{lum}^0} = \frac{1}{e} \quad (2.37)$$

olur,

$$\frac{1}{\sum_i A_{ji}}, \quad j \text{ seviyesindeki parçacığın ortalama yaşam süresini karakterize eder}$$

ve

uyarılmış seviyenin yaşam süresi olarak adlandırılır.

$$\frac{1}{\sum_i A_{ji}} = \tau_{rad} \quad (2.38)$$

$\tau_{rad}$  değerini düşürme eğilimi olan geçişler ışımasız geçişlerdir. (2.33) denklemine göre uyarılmış seviye  $j$  seviyesinden I seviyesine geçen parçacık sayısı,

$$-dN_j = \sum_i (A_{ji} + d_{ji}) N_j dt \quad (2.39)$$

Bu ifadeden; iki decay kanalı nedeniyle N nin değişimi şu şekilde bulunabilir,

$$N_j = N_j^0 \exp \left[ -\sum_i (A_{ji} + d_{ji}) t \right] \quad (2.40)$$

Burada yaşam süresi (2.41) denklemi ile verilir.

$$\tau_{lum} = \frac{1}{\sum_i (A_{ji} + d_{ji})} \quad (2.41)$$

### 2.3 LASER KRİSTALİ OLARAK GARNETLER

Garnet yapılı kristaller mekaniksel olarak sert, optiksel olarak izotropik, kimyasal olarak dengedendirler, nadir toprak ve demir gruplarının optiksel olarak aktif iyonlarıyla katkılabilirler. Bu özellikler bir lazer host için istenilen özelliklerdir. Buna ek olarak garnet kristaller geniş ebatlarda, düşük optiksel kayıplarla ve yüksek optiksel kalitede büyütülebilirler. Son yıllarda lazer hostu olarak kullanılan garnetler arasında  $Y_3Al_5O_{12}$  (YAG),  $Gd_3Sc_2Ga_3O_{12}$  (GSGG),  $Gd_3Ga_5O_{12}$  (GGG),  $Y_3Sc_2Ga_3O_{12}$  (YSGG),  $Ca_3(GaNb)_2Ga_3O_{12}$  (GNNG), ve  $La_3Lu_2Ga_3O_{12}$  (LLGG)'yi sayabiliyoruz.

Garnetler karmaşık bir yapıya sahiptir, kristal kübiktir. Garnetler için uzay grubu, kübik grup  $O_h^{10}$  -  $Ia3d$ ' dir. Garnetlerin kimyasal formülü yukarıda verilen örneklerden de anlaşılacağı üzere  $\{A_3\}[B_2] (C_3)O_{12}$  şeklindedir. Burada O, oksijen iyonunu, A, B ve C ise 3 farklı katyonu göstermektedir, A dodekahedral, B oktaedral, C ise tetrahedral sitededir.

Karışık(mixed) garnet kristaller üzerinde yapılan çalışmalar 1960'ların sonunda başlamıştır. Karışık garnetlerde  $\{A_3\}[B_2]$  ( $C_3$ ) $O_{12}$  garnet kristaline ek katkılar yapılır ve bu işlem, çoklu iyonların kristalografik noktalarda yer olmasını sağlar.

Garnet kristaller içinde günümüzde kadar üzerinde en çok çalışma yapılanı  $Y_3Al_5O_{12}$  (YAG)'dır.  $Y_3Al_5O_{12}$ , %100  $Nd^{3+}$  iyonlarıyla katkılınmak için ideal bir garnet yapısı değildir,  $Nd^{3+}$ 'in iyonik çapı çok büyük olduğundan  $Al^{3+}$ 'nin latisteki pozisyonları ile eşlenebilecek polihedra yapısını veremez. Bu uyumsuzluk  $Y_3Al_5O_{12}$  ile  $Nd_3Al_5O_{12}$ 'nin katı solüsyonlarını elde etmede zorluklar çıkartır. Buna ek olarak alüminyum garnetlerdeki katyon latis pozisyonları arasındaki mesafeler,  $Nd^{3+}$  floresansının doymuş olduğu konsantrasyonlar üretmek için yeterince güçlü iyon iyon etkileşmelerine izin verecek kadar küçüktür.

Diğer yandan neodmiyum galyum temelli garnet sistemlerinde tamamen yer alabilir. Galyum garnet grubundaki büyük latis parametreleri, lantanyumun dodecahedral pozisyonlarda yer almasyyla oluşan garnetlerde görülebilir. Bu tip garnetlerde dodecahedral siteler içine galyumdan daha büyük iyonların konulması yoluyla yapı genişletilmelidir. LLGG için bu gerçekleştirildiğinde bileşiklerin  $\{La_3\}[Lu_2]$  ( $Ga_3$ ) $O_{12}$  şeklinde tanımlanan basit bir sitokiyometriye sahip olmadığı, oktaedral ve tetrahedral katkılarının iki kristalografik nokta arasında  $\{La_{1-x}Lu_x\}_3[Lu_{1-y}Ga_y]_2$  ( $Ga_3$ ) $O_{12}$  formülüne uygun şekilde dağıldığı bulunmuştur. [41] LLGG kristali,  $Nd^{3+}$  ve  $Cr^{3+}$  iyonları ile katkılandığında,  $Cr^{3+}$  iyonu La iyonu ile,  $Nd^{3+}$  iyonu ise Lu iyonu ile yer değiştirmektedir.[42] Lu iyonunu oktaedral kristalografik noktalardadır ve oktahedron oluşturmak üzere 6 Oksijen iyonu tarafından çevrelenmiştir. La iyonu dodekahedral kristalografik noktalarda bulunur ve üçgen dodekahedron oluşturmak üzere etrafında 8 Oksijen iyonu bulunur. Ga iyonu tetrahedral kristalografik noktalarda bulunur ve tetrahedron oluşturmak üzere etrafında 4 Oksijen iyonu bulunur. Şekil 2.3'te LLGG'nin garnet yapısının şekli görülmektedir.

Garnet kristallerdeki optiksel olarak aktif iyonların spektroskopik özellikleri kristal yapıyla çok yakından ilişkilidir. Menser[43] tarafından garnet yapısının kübik

olduğu ve Ia3d uzay grubuna ait olduğu saptanmıştır. Tüm katyonlar serbestlik derecesi olmaksızın özel pozisyonlardadır, oksijen atomları ise genel pozisyonlardadır. Her oksijen atomu 4 polihedranın paylaşılmış köşelerinde yer alır.

### 2.3.1. Cr<sup>3+</sup> İyonunun Optik Özellikleri

Cr<sup>3+</sup> bir geçiş metal iyonudur, elektronik konfigürasyonu  $1s^2 2s^2 2p^6 3s^2 3p^6 3d^3$  şeklindedir. Buradan tüm iç kabukların dolu olduğunu, en dış kabuk olan ( $3d^3$ ) kabuğunun kısmen dolu olduğunu görebiliriz çünkü tam dolu olabilmesi için 10 elektrona ihtiyacı vardır. Tam dolu olmayan bu kabuk optik geçişlerin meydana gelebildiği alt enerji seviyelerine sahiptir. Bu nedenle geçiş metalleri optiksel olarak aktiftir. Geçiş metali, kristal içine katkıländiğinde en dış kabuğun optiksel olarak aktif 3d elektronları latis çevresine maruz kalır, bu durum kristallerdeki iyonların enerji seviyelerinin çevreden neden çok fazla etkilendiğini ve geniş spektral bantlar verdiğini açıklar.

Cr<sup>3+</sup> lazer hostlarda verici iyon olarak kullanılır. Verici iyonların kullanılabilirliği ve önemi, etkileşen iyonların kombinasyonuna ve iyonlar ile host arasındaki kombinasyona bağlıdır. Cr<sup>3+</sup>'nın lüminesans kuantum verimi sıcaklıktan bağımsızdır fakat emisyon yaşam süresi artan sıcaklıkla çok fazla düşer, bunun nedeni Cr<sup>3+</sup> iyonlarının  $^4T_2$  ve  $^2E$  seviyeleri arasındaki termal populasyonunun yeniden dağılımıdır. [4] Verici iyonlar pompalama kaynağından ek enerji soğurabilmek ve aktif iyon üzerinden ısmasız transfer eksitasyonu sağlamak için lazer kristale eklenebilir. Verici iyon kristalde geniş soğurma bantları veriyorsa pompalama veriminde ve buna bağlı olan lazer veriminde artış sağlanır. Cr<sup>3+</sup> verici iyon olarak kullanılabilir çünkü kırmızı ve mavi-yeşil dalgaboyu bölgesinde  $^4T_2$  ve  $^4T_1$  enerji seviyeleri arasındaki titreşimsel geçişler sonucu oluşan iki geniş soğurma bandına sahiptir[18] ve titreşimsel olarak genişlemiş  $^4T_2 \rightarrow ^4A_2$  emisyonu nedeniyle Cr<sup>3+</sup> iyonları güçsüz kristallerde kullanılarak geniş tuninglı bir lazer yapılabilmesini sağlayabilir. [7]

Yalıtkan bir kristal içinde katkı geçiş metal iyonunun dış 3d elektronlarının enerji seviyeleri, kristal alan hipotezine dayanarak açıklanabilir. Bu hipoteze göre komşu atomların 3d elektronları üzerindeki etkileri safsızlık geçiş metal iyonunun tamamen dışındaki bir kristal alanını ile hesaba katılabilir ve bir kristal örgüdeki  $3d^n$  iyonlarının hamiltonyenini

$$H = H_{FI} + H_C \quad (2.42)$$

ile verilir. Burada  $H_{FI}$  serbest iyonun hamiltonyenini,  $H_C$  ise iyonun kristal alanı ile etkileşmesini temsil eder.

Burada  $H_{FI} + H_C$ 'nin özdeğerlerini ve özfonsiyonlarını bulmalıyız. Enerji seviyelerini hesaplamak için statik bir kristal düşünelim. Kristal alanının zamanla değişen kısmının optiksel geçişlerin şekil ve şiddetlerinin incelenmesinde önemi büyütür. Serbest iyon ( $3d^n$ )'un hamiltonyenini  $H_{FI}$ 'nın tam hali,

$$H_{FI} = H^0 + H^1 + H^2 \quad (2.43)$$

denklemi ile verilir. Burada,

$$H^0 = \sum_{i=1}^n \left( \frac{P_i^2}{2m} - \frac{e^2 Z}{r_i} \right) \quad (2.44)$$

$$H^1 = \sum_{i>j} \frac{e^2}{r_{ij}} \quad (2.45)$$

$$H^2 = \sum_{i=1}^n \xi(r_i) I_i s_i \text{ 'dir.} \quad (2.46)$$

Burada  $H^0$ , 3d elektronlarının kinetik enerjisini ve çekirdek ile tamamen dolu kabuklardaki 18 elektronun oluşturduğu merkez alandaki 3d elektronlarının

potansiyel enerjilerini gösterir.  $H^1$ , 3d elektronları arasındaki elektrostatik Kulomb etkileşmelerini;  $H^2$  ise spin-yörünge çiftlenimini ifade eder. Elektrostatik kristal alanı enerjisi  $H_C$ 'nin ifadesi ise [44]

$$H_c = \sum_{i=1}^n \sum_j \frac{Z_j e^2}{|R_j - r_{ij}|} \quad \text{ile verilir.} \quad (2.47)$$

Bu denklemdeki  $R_j$ 'ler  $Z_j$ e yüküne sahip komşu iyonların yer vektörleridir. Kristal alanın simetrisi biliniyorsa enerji seviyelerinin yarılmasını tahmin edebiliriz.

Kristal yarılmasının gerçek hesabı pertürbe olmamış belirli özfonsiyonlardan başlayarak yapılır. Zayıf, orta ve güçlü olmak üzere 3 farklı alan olabilir. Zayıf, orta ve güçlü terimleri, kristal alanının gücünü gösterir. Oktahedral simetrideki bir geçiş metal iyonu için çoğu çalışmacı güçlü alanı kullanmıştır. Güçlü alan kullanırsa ilk olarak 3d elektronlarının üzerindeki bireysel kristal alan etkisi, ikinci olarak elektronlar arasındaki elektrostatik etkileşme  $H^1$ , son olarak ise spin-yörünge çiftlenimi  $H^2$  gözönüne alınmalıdır.

$\text{Cr}^{3+}$  iyonu oktahedral sitededir. Güçlü alan yaklaşımında ilk olarak 3d elektronları arasındaki Kulomb etkileşmeleri ve spin-yörünge etkileşmelri ihmäl edilir. Kristal alanı bir tane 5 katlı 3d elektron seviyesinin 3 katlı dejenere seviyeye ( $t$ ) ve daha yüksek enerjili dejenere seviyeye yarılmasına sebep olur.

İki seviye arasındaki enerji farkı 10 Dq'dur. Dq oktahedral alanın gücünün ölçüsüdür. Bir elektronik konfigürasyon her tek elektronun orbitalinin  $t$  veya  $e$  orbitali olduğu durumda 3 tek elektron orbitalinin çarpımı olarak verilir. Kristal orbitalleri üzerinde ( $t$  ve  $e$ ) 3 tane 3d elektronunun 4 çeşit dağılımı mümkündür;  $t^3$ ,  $t^2e$ ,  $te^2$  ve  $e^3$ , bunların içinde en düşük enerjiye sahip olanı  $t^3$ 'tür. Bu dağılımlar "kristal konfigürasyonları" olarak isimlendirilirler. Eğer 3d elektronları arasındaki Kulomb etkileşmeleri ( $H^1$ ) gözönüne alınırsa, değişik kristal konfigürasyonları aşağıdaki gösterimlere yol açar.

$t^3 : {}^4A_2, {}^2E, {}^2T_1, {}^2T_2$   
 $t^2e : {}^4T_1, {}^4T_2$   
 $\quad {}^2A_1, {}^2A_2, {}^2E, {}^2T_1, {}^2T_1, {}^2T_2, {}^2T_2$   
 $te^2 : {}^4T_1, {}^2T_1, {}^2T_1, {}^2T_2, {}^2T_2$   
 $e^3 : {}^2E$

Bu gösterimlerdeki  $A_2$ ,  $E$ ,  $T_1$ ,  $T_2$  oktaedral kristal alanındaki orbital dalga fonksiyonlarının simetrisiyle ilişkili olan teorik grup isimleridir.

LLGG kristali  $Cr^{3+}$  ile katkılandığında  $Cr^{3+}$  iyonu La iyonu ile yer değiştirmektedir. La iyonu oktaedral sitede yer alır ve oktahedron oluşturmak üzere 6 Oksijen atomu tarafından çevrelenmiştir. [15]

$Cr^{3+}$ 'nın optiksel özellikleri  ${}^4T_2$  ve  ${}^2E$  uyarılmış elektronik seviyeleri arasındaki enerji aralığına bağlı olarak kolayca gözlenebilir. Eğer  $\Delta E < 0$  ise  $\Delta E = -1000\text{cm}^{-1}$  olduğu  $Cr^{3+}$  ile katkılanmış LLGG kristali için  $Cr^{3+}$  iyonu düşük bi kristal alana konulmuştur diyebiliriz.

$Cr^{3+}$  host malzemenin oktaedral sitesine konulduğunda, soğurma ve emisyon spektrumlarında istenilen özellikler gösterir. Bu nedenle yeni katıhal lazer malzemeleri içinde büyük ilgi uyandırmıştır.  $Cr^{3+}$ 'nin görünür bölgedeki geniş ve güçlü soğurma bandları uyarma kaynaklarının emisyonlarıyla iyi bir şekilde üst üste biner, emisyonları ise kırmızı ve yakın kızılötesi bölgededir ve nadir toprak iyonlarının soğurmalarıyla kuvvetli bir şekilde üstüste biner. Bu nedenle  $Cr^{3+}$  iyi bir vericidir ve lazer verimini artırmak amacıyla pek çok hostta kullanılmaktadır.

### 2.3.2. $Nd^{3+}$ İyonunun Optik Özellikleri

Nadir toprak iyonlarının hepsi kısmen dolu 4f seviyesine sahiptir. 4f kabuğu alt sıralarda yer alan enerji seviyelerine sahip olabilir. Optiksel aktivite 4f seviyeleri arasındaki geçişlerden kaynaklanır. İç kabuklarda yer alan 4f seviyesi  $5s^25p^6$  kabukları tarafından dış etkilere karşı korunur. 4f elektronları üzerindeki çevre

etkileri o kadar küçüktür ki serbest nadir toprak iyonlarının enerji seviyeleri sadece iyon kristal içine koyulduğunda çok az pertürbe olur. Bu kristal içindeki nadir toprak iyonlarının enerji seviyelerinin neden keskin olduğunu ve bir hosttan diğerine çok farklılık göstermediğini açıklar.

Bir kristaldeki nadir toprak iyonunun ( $4f^n$ ) enerji seviyeleri şöyle hesaplanır; bir önceki bölümde incelenen kristal alanı hipotezini kullanalım, bir nadir toprak iyonunun hamiltonyeni  $H_{FI} + H_C$  ile verilir. Güçsüz olan sınırında iyonların kristal alanı ile etkileşmesi, 4f elektronları arasındaki Kulombik etkileşme ve spin yörüngे çiftlemeye oranla çok güçsüz olduğu için öncelikle serbest nadir toprak iyonunun enerji seviyeleri ve özdeğerleri hesaplanır, daha sonra perturbasyon teorisi kullanılarak kristal alanının serbest iyon üzerindeki etkisi hesaplanır.

Serbest nadir toprak iyonunun ( $4f^n$ ) hamiltonyeni  $H_{FI} = H^0 + H^1 + H^2$  ile verilir. Serbest nadir toprak iyonlarının enerji seviyeleri ve dalga fonksiyonları, öncelikle  $4f^n$  elektronları arasındaki etkileşmeleri ( $H^1$ ) ve spin-yörüngede çiftlemeyi ( $H^2$ ) ihmal ederek, daha sonra iyon çekirdeğinin merkez alanındaki her 4f elektron seviyesi için ( $H^0$ ) ve geri kalan dolu kabuklardaki 54 elektron için çözerek bulunur.  $H^0$  içerisindeki her 4f elektronunun durumu  $n=4$   $l=3$ ,  $l_z$  ve  $s_z$  kuantum sayılarıyla karakterize edilir.

4f elektronları arasındaki elektrostatik kulombik etkileşme ( $H^1$ ) hesaba katıldığında elektronların durumu  $L$ ,  $S$ ,  $L_z$ ,  $S_z$  sayılarıyla karakterize edilir ve durum  $^{2S+1}L$  simbolü ile gösterilir. Buradaki  $L$  toplam yörüngesel açısal momentuma,  $S$  toplam spine bağlıdır. Her seviye ( $^{2S+1}L$ ),  $(2L+1)(2S+1)$  - kat dejeneredir. Enerjiler ve dalga fonksiyonları 4f elektronları arasındaki Kulombik etkileşmeleri tanımlayan Slater integraleri veya Racoh parametreleri ile ifade edilebilir. [45]  $Nd^{3+}$ 'nin tam dolu olmayan 4f kabuğunda 3 tane  $e^-$  vardır. Spin-yörüngede çiftlenimi ihmal edildiğinde üç 4f elektronu bir  $^{2S+1}L$  durumu grubu oluşturmak için biraraya gelebilirler. Bunlar  $^4I$ ,  $^4F$ ,  $^4S$ ,  $^2H$  ....dır. Hund kuralına göre  $^4I$  en düşük enerjiye sahiptir. Tüm seviyeler  $(2L+1)(2S+1)$  - kat dejeneredir. Örnek olarak  $^4I$  seviyesi için  $L=6$ ,  $S=3/2$  dir ve bu seviye  $(2.6+1) (2.3/2+1) = 52$  kat dejeneredir.

Nadir toprak iyonlarında spin-yörünge etkileşmesi için  $H^2$ 'nin de hesaba katılması gereklidir, çünkü 4f elektronları arasındaki Kulomb etkileşmesiyle karşılaşıldığında ihmal edilebilir değildir. İyon LS çiftlenimini sağlarsa  $H^2$  terimi  $A [ J(J+1) - L(L+1) - S(S+1) ]$  düzeltmesini verir. Burada  $J = L+S, L+S-1, \dots, |L-S|$ 'e eşittir ve toplam açısal momentumu gösterir. Bu durumda dalga fonksiyonları  $L, S, J, J_z$ 'in özfonksiyonlarıdır. Spin yörünge çiftlenim terimleri  $^{2S+1}L$  seviyesinin  $(2L+1)$  veya  $(2S+1)$  alt seviyelerine yazılmasına sebep olur. Yarılma  $\approx 10^3 \text{ cm}^{-1}$  dir. Enerji seviyesi  $^{2S+1}L_J$  ile gösterilir. Örnek olarak  $^4I$  seviyesi spin-yörünge etkileşmeleriyle ( $H^2$ ),  $^4I_{9/2}, ^4I_{11/2}, ^4I_{13/2}, ^4I_{15/2}$  seviyelerine ayrılır. Her  $^{2S+1}L_J$  seviyesi örneğin ( $^4I_{13/2}$ )  $(2J+1)$  kat dejeneredir.

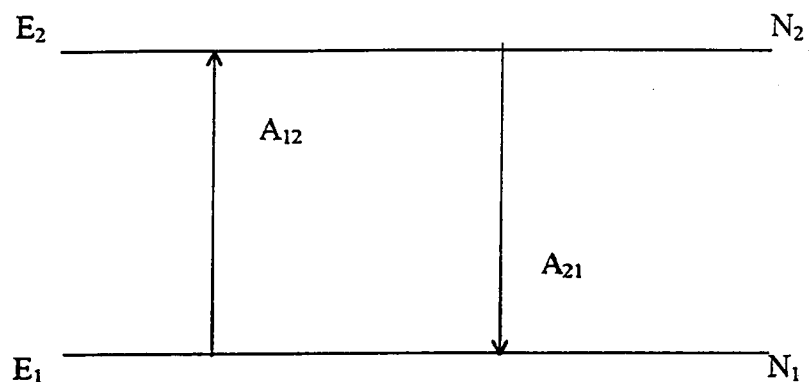
Nadir toprak iyonları kristal içine katkıländiğinde 4f kabuğu, dolu  $5s^2 5p^6$  kabuklarının içinde yer aldığından, 4f elektronları ile kristal alanının etkileşmesi çok zayıftır sadece  $^{2S+1}L_J$  serbest iyon enerji seviyelerinin ince Stark yarılmamasına sebep olur. Kristal Stark yarılmazı  $\approx 100 \text{ cm}^{-1}$  dir ki bu spin-yörünge yarılmاسından 1 derece daha düşüktür ( $\approx 10^3 \text{ cm}^{-1}$ ). Zayıf alanlardaki Stark yarılmaları düşünülürse, serbest iyon özfonksiyonları  $|L, S, J, J_z\rangle$  sıfır-derece yaklaşımının temeli olarak kullanılabilir.

Belirli bir  $J$ 'ye sahip bir serbest iyon seviyesinin  $(2J+1)$  dejenereliği kristal alanı tarafından yok edilir, çünkü bu her zaman için küresel simetriden daha düşüktür. Yarılma bileşenlerinin sayısı nadir toprak iyonunun bulunduğu yerdeki kristal alanının simetrisine bağlıdır. Eğer serbest iyon kübik olmayan simetrili bir kristal alındaysa, özel simetriye bağlı olarak  $(J+1/2)$ 'li serbest iyonun enerji seviyesini çift dejenerere Stark seviyelerine,  $(2J+1)$ 'li serbest iyon enerji seviyesi  $(2J+1)$  dejenerere olmayan veya  $(J+1/2)$  çift dejenerere Stark seviyelerine yarılr.

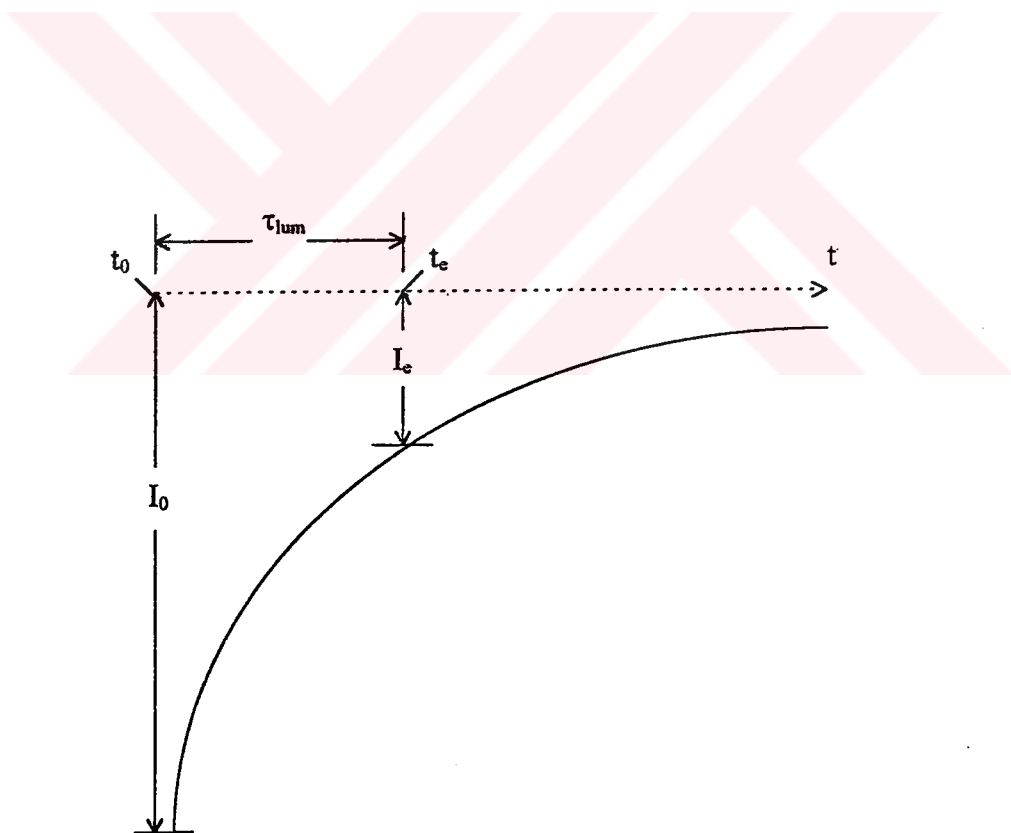
$Nd^{3+}$  laser uygulamalarında en çok kullanılan nadir toprak iyonudur, daha önce yapılan çalışmalarda pek çok değişik host içine katkıllanmış olup  $0.9\mu\text{m}$ ,  $1.06\mu\text{m}$  ve  $1.35 \mu\text{m}$  de ışıma verdiği gözlenmiştir. Bu iyonun elektronik konfigürasyonu  $1s^2 2s^2 2p^6 3s^2 3p^6 3d^{10} 4s^2 4p^6 4d^{10} 4f^3 5s^2 5p^6$  şeklindedir.

$\text{Nd}^{3+}$  iyonlarının  $4f^3$  elektronik seviyeleri arasında kısmen yasaklanmış elektrik-dipol geçişleri nedeniyle soğurma spektrumları dar, keskin ve güçsüz çizgilerden oluşur. LLGG'de  $\text{Nd}^{3+}$  iyonları Lu iyonları ile yer değiştirmektedir. Lu iyonu oktaedral kristalografik noktalardadır.

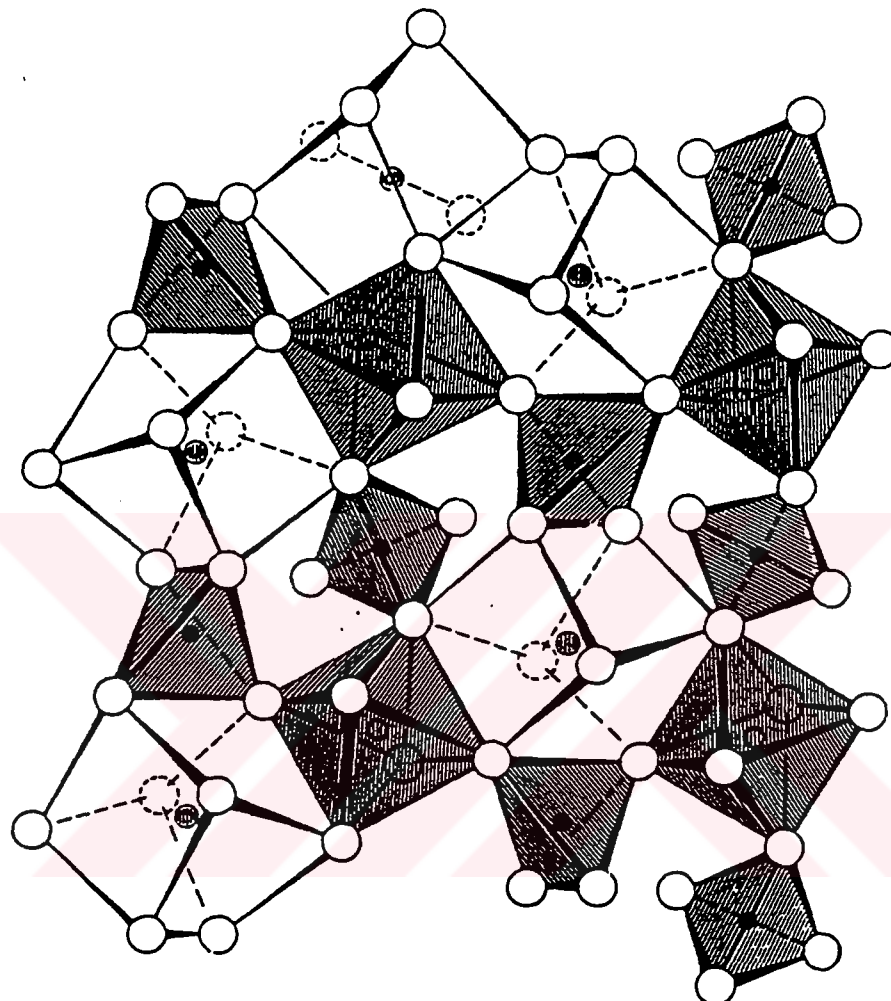




**Şekil 2.1.** İki enerji seviyeli kuantum sistemi



**Şekil 2.2.** Lüminesans şiddetinin zamanla değişimi



- Oksijen Noktaları
- {A}, dodekahedral noktalar,  $\text{La}^{+3}$
- [B], oktaedral noktalar,  $\text{Lu}^{+3}$
- (C), tetrahedral noktalar,  $\text{Ga}^{+3}$

Şekil 2-3      Garnet Yapısının Şekli

## BÖLÜM 3

### ENERJİ TRANSFERİ

Enerji transferi en basit tanımıyla camlarda, kristallerde ve moleküllerde bir iyondan diğerine enerji aktarımıdır. Enerji transferini genel olarak ışimalı enerji transferi ve ışımasız enerji transferi olmak üzere iki bölümde inceleyebiliriz.

#### 3.1. İŞIMALI ENERJİ TRANSFERİ:

İşimalı enerji transferi prosesinde verici iyon tarafından yayınlanan fotonlar alıcı iyon tarafından tekrar soğrular.

İki seviye arasındaki ışimalı geçişin hızı Fermi 'nin Golden kuralı ile

$$\langle f | o | i \rangle \quad (3.1)$$

şeklindeki matris elemanının karesi olarak verilir. [46]

Bu denklemde  $i$  başlangıç durumunun dalga fonksiyonu,  $f$  bitiş durumunun dalga fonksiyonu,  $o$  ise geçişten sorumlu operatörleri göstermektedir. Bu operatörler elektrik dipol, manyetik dipol, elektrik kuadrupol ve benzerleridir. Elektrik dipol operatörü ( $e.r$ ) manyetik dipol operatörü ( $e.l / 2m.c$ )'nın yaklaşık olarak  $10^6$  katı, elektrik kuadrupolinin yaklaşık olarak  $10^8$  katıdır ve optiksel olarak aktif merkezlerin spektral özelliklerinin büyük bir kısmında baskın olarak etkilidir.

Kristal alanı Nd gibi nadir toprak iyonlarının statik özellikleri üzerinde çok az etkilimasına rağmen 4f alt kabukları içindeki ışimalı geçişlerde farkedilir bir etkisi vardır. Bir soğurma çizgisinin gücü o çizginin osilatör gücünü kullanarak tanımlanabilir;

$$P = n[8\pi^2 m v / h] | \langle i | D_q^1 | f \rangle |^2 \quad (3.2)$$

(3.2) denkleminde  $n$  hostun kırılma indis,  $m$  elektronun kütlesi,  $v$  geçişin frekansı,  $Dq^1$  elektrik dipol operatörüdür. Kristal alanını ihmali edersek,  $|i\rangle$  ve  $|f\rangle = i(l^n, \psi, J, M)$  ve  $f(l^{n'}, \psi', J', M')$  kuantum sayıları ile tanımlanabilir. Burada  $M, J$ 'nin özel bir eksen üzerine izdüşümünü,  $\psi$  ise durumu ifade etmek için kullanılan ek kuantum sayılarını göstermektedir. İlk ve son durumların  $4f$  alt seviyelerinde olduğunu varsayıarak, iki durum da  $(-1)$  ile verilen aynı pariteye sahiptir ve  $Dq^1$  bir tek sayılı operatör olduğu için (3.2)denklemindeki matris elemanı yokolur. Bunun sonucunda bu yaklaşımda elektrik dipol geçişleri kesinlikle yasaklanmıştır ve değişik durumları birleştirmek için manyetik dipol veya daha yüksek dereceli multipol operatörleri kullanılır. Bununla birlikte sadece manyetik dipol ve yüksek dereceli geçişleri gözönüne aldığımızda, bu geçişlerin gözlenen gücüne ulaşılamamıştır, bu nedenle kristal alanının etkisi hesaba katılmalıdır.

Kristal alanı hesaba katıldığında atomik durumlar "saf" değildir, başka durumlarla karışmıştır. Yeni durumlar, 1.seviyeden, zamandan bağımsız perturbasyon teorisini kullanarak, pertürbe olmamış eski durumlar cinsinden şu şekilde yazılabilir;

$$|I\rangle = |i\rangle + \sum_a (E_a - E_i)^{-1} \langle a | H_{kristal} | i \rangle |a\rangle; \quad (3.3)$$

$$|F\rangle = |f\rangle + \sum_a (E_a - E_i)^{-1} \langle a | H_{kristal} | f \rangle |a\rangle, \quad (3.4)$$

Bu ifadede  $\sum_a$  tüm  $|a\rangle$  durumları üzerinden olacaktır ve paritesi  $|i\rangle$  ile  $|f\rangle'$  in paritesi ile zıt ve kristal alanının sadece tek sayılı bileşenlerini içermesi yeterlidir. Diğer bütün durumlar için matris elemanı  $\langle F | Dq^1 | I \rangle$  yokolur.  $(E_a - E_i)^{-1}$  faktörü nedeniyle, perturbasyona ana katkı enerji bakımından  $|i\rangle$  ve  $|f\rangle'$  yi içeren konfigürasyona yakın olan uyarılmış konfigürasyondan gelir. Trivalent lanthanidlerde,  $4f^{n-1}5d$  konfigürasyon  $4f^n$  temel durum konfigürasyonuna en yakın enerjide yer alır ve  $\sum_a$  uyarılmış konfigürasyondaki tüm durumlar üzerinden bir toplamı ifade eder.  $Nd^{3+}$ 'ü gözönüne aldığımızda yeni matris elementini şu şekilde yazabilirisiz.

$$\begin{aligned}
& \langle I | D_q^1 | F \rangle = \sum_a \langle i(4f^n, \Psi, J, M) | D_q^1 | a(4f^{n-1}5d, \Psi'', J'', M'') \rangle \\
& * \langle a(4f^{n-1}5d, \Psi'', J'', M'') | H_{tek} | f(4f^n, \Psi', J', M') \rangle (E_f - E_a)^{-1} \\
& + \sum_a \langle f(4f^n, \Psi', J', M') | D_q^1 | a(4f^{n-1}5d, \Psi'', J'', M'') \rangle \\
& * \langle a(4f^{n-1}5d, \Psi'', J'', M'') | H_{tek} | i(4f^n, \Psi, J, M) \rangle (E_i - E_a)^{-1} \quad (3.5)
\end{aligned}$$

Burada  $H_{tek}$  kristal alanı operatörünün tek pariteli bileşenlerini temsil eder.

$\Sigma_a$  uyarılmış konfigürasyondaki her seviyeyi belirleyen tüm kuantum sayıları üzerinden bir toplamdır. Bu durumların tüm özelliklerinin bilinmesi genellikle mümkün değildir; bu nedenle bazı basitleştirmeler yapılmalıdır.  $\Sigma_a$ 'nın ve "lü parametrelerin hesaba katılmamasıyla toplam içindeki tüm terimler 4f-5d durumlarını belirleyen kuantum sayılarından bağımsız olur.

Özel bir kuantum sayısı üzerinden toplam alınması bu kuantum sayısının durumları arasındaki enerji farkının iki konfigürasyon arasındaki enerji farkından çok daha düşük olması demektir.  $J''$  üzerinden bir toplam spin-yörüngे yarılmalarının konfigürasyonlar arası enerjiden çok daha düşük olduğunu farzeder.  $J'$  nin z ekseni boyunca izdüşümü, manyetik alanın olmadığı bir durumun enerjisine katkıda bulunması,  $M''$  üzerinden bir toplam her  $J''$  seviyesi için yapılabilir.

$E_a$ 'nın  $\psi''$  den bağımsız olduğunu varsayıarak da bir basitleştirme yapılabilir. Bu uyarılmış ( $4f^{n-1}5d$ ) konfigürasyonunun tamamen dejenere olduğunu söylemeye eştir. Bu kolaylaştırma ile elde edilen matematiksel kazancı ise  $H_{tek}$  ve  $D_q^1$  tek bir tensör operatöründe  $U^{(\lambda)}$  toplanabileceği için büyktür. Bu basitleştirmeleri (3.5) denkleminde kullanarak ve bunu (3.2)denkleminde yerine koyarak ve  $M$  ile  $M'$  üzerinden toplam alıp tüm açısal bağımlılıkları eleyerek (3.2) denklemi aşağıdaki gibi yazılabilir.

$$P = \sum_{\lambda} T_{\lambda} \nu | \langle 1^n \Psi, J || U^{(\lambda)} || 1^n \Psi', J' \rangle |^2 \quad (3.6)$$

İyonun sitesindeki simetri bilinirse  $U^{(\lambda)}$  için bir ifade elde edilebilir ve standart operatör tekniklerini kullanarak indirgenmiş matris elemamı hesaplanabilir. Bu hesaplama için serbest iyonun özdurumlarının tam olarak bilinmesi gereklidir ve bu noktada serbest iyonun spin-yörünge çiftlenimi olduğu varsayılmalıdır. Başka yöntemler kullanılsa da RS çiftlemeni ele almak daha doğrudur.  $U^{(\lambda)}$ 'nın indirgenmiş matris elementi, iki S durumunda  $\lambda > 6$  için yok olduğundan  $\Sigma_{\lambda}$ ,  $\Sigma_{\lambda=2,4,6}$ 'ya indirgenebilir ve tüm tek sayılı  $\lambda$ 'lar için hemen hemen yok olabilir,  $T_2$ ,  $T_4$  ve  $T_6$  parametreleri deneyel olarak saptanabilir

Bu hesaplama yöntemi 1962'de Judd [15] ve Ofelt [27] tarafından birbirinden bağımsız olarak ve trivalent nadir toprak iyonlarının absorbsiyon şiddetlerinin belirlenmesi için kullanılmıştır. Ofelt tarafından  $\text{PrCl}_3$  ve  $\text{EuCl}_3$ 'ün floresans spektrasında uygulanmıştır. Ayrıca bu yöntem başka sistemlerde de uygulanmış ve başarılı olmuştur.

(2.6) formülündeki  $T_{\lambda}$  parametresi, setlerinin  $\text{NdCl}_3$  ve  $\text{ErCl}_3$ 'ün sulu solüsyonları üzerindeki deneyel verilerle uyum sağlayacak şekilde seçilebileceği Judd tarafından gösterilmiştir. Nadir toprak iyonlarının ilk hidrasyon katmanının simetriye sahip olmamasına dayanan bir modele dayalı hesaplama  $T_{\lambda}$ 'nın  $\text{Nd}^{3+}$  daki gözlenmiş değer için iki faktör  $\text{Er}^{3+}$  için sekiz faktör daha küçük olmasına yol açar. Bunun sebepleri [15]'de ayrıntılı olarak gösterilmiştir.

Işimalı transferin ışimasız transferden farkını 2 madde ile özetleyebiliriz

- 1) İşimalı transfer kristalin şekline ve ebatlarına bağlıdır.
- 2) İşimalı transfer Verici iyon S'nin emisyonunun ve alıcı iyon A'nın soğurmasının üstüste binmesinin detaylarına bağlıdır.

### **3.2. İŞIMASIZ ENERJİ TRANSFERİ**

İyon enerjisini, işimalı olarak daha alt seviyelere geçişlerin dışında bir veya daha fazla ışimasız prosesle de verebilir. Bu mekanizmalardan bazıları;

- a ) Rezonant enerji transferi

b ) Fonon yardımı enerji transferi

### 3.2.1. REZONANT ENERJİ TRANSFERİ

Rezonant enerji transferi prosesi 5 basamakla incelenebilir;

- 1 )  $E_0$  enerjili bir fotonun verici iyon tarafından soğurulması,
- 2 ) Verici iyonu çevreleyen ve mümkün olan elektronik enerjiyi  $E_1 < E_0$  haline düşüren latis relaksasyonu,
- 3 )  $E_1$  enerjisinin alıcı iyona transferi,
- 4 ) Hem alıcı hem verici iyonu çevreleyen latisin relaksasyonu,
- 5 )  $E_2 \leq E_1$  enerjisinin alıcı iyon tarafından emisyonu,

Katkının trivalent nadir toprak iyonu olduğu durumda (2) ve (4) basamakları etkisi çok küçüktür.

Zamana bağlı perturbasyon teorisine göre birim zamandaki geçiş olasılığı (3.7) denkleminde görüldüğü gibi Fermi'nin Golden kuralı ile verilir,

$$P_{S \rightarrow A} = (4\pi^2 / h)\rho(E)|\int \Psi_I^* H_1 \Psi_F d\tau|^2 \quad (3.7)$$

Bu denklemde;  $\rho$  etkileşme yapabilen ve son durumların yoğunluğu,  $H_1$  ise  $\psi_I$  ve  $\psi_F$ 'yi birlestirebilen özel bir etkileşmedir.

Başlangıç durumu  $\psi_I$ , verici iyonun uyarılmış durumda olacağı şekilde ( $\psi_S^e$ ) seçilmiştir. Alıcı iyon ise  $\psi_A$  da yani temel durumdadır. Sistemin son durumu  $\psi_F$  de ise verici iyon temel durumunda ( $\psi_S$ ), alıcı iyon ise uyarılmış durumdadır ( $\psi_A^e$ ). İki elektronlu bir sistem düşünürsek başlangıç ve son dalga fonksiyonları;

$$\Psi_I = \left( \frac{1}{\sqrt{2}} \right) [\Psi_S^e(r_1)\Psi_A(r_2) - \Psi_S^e(r_2)\Psi_A(r_1)] \quad (3.8)$$

$$\Psi_F = \left( \frac{1}{\sqrt{2}} \right) [\Psi_S(r_1)\Psi_A^e(r_2) - \Psi_S(r_2)\Psi_A^e(r_1)] \quad (3.9)$$

Burada  $r_1$  ve  $r_2$  olaydaki elektronların koordinatlarıdır. Bu dalga fonksiyonları normalize edilmemiştir, fakat normalize edilirse  $\int |\Psi_I|^2 d\tau$  'nin hesabı ;

$$\int \Psi_S^{e*}(r_1) \Psi_A(r_1) d\tau_1 \int \Psi_A^*(r_2) - \Psi_S^e(r_2) d\tau_2 \quad (3.10)$$

gibi terimlere yol açar. Bu terimler uyarılmış verici ve uyarılmamış alıcı iyonlarının üstüste binme integralerinin çarpımıdır ve ihmäl edilebilir, bu nedenle (3.8) ve (3.9) denklemleri ile verilen dalga fonksiyonları normalizedir.

Enerji transferinin meydana gelebilmesi için verici ve alıcı iyonlar arasında bir etkileşme olmalıdır. Bu etkileşmenin Hamiltoniyeni  $H_i$  ile gösterilir ve bu hamiltonyen verici ve alıcı iyonun çekirdekleri ile dış elektronlar arasındaki tüm Kulombik etkileşmeleri içerir.

$$H_i = -Z_S Z_A / R + \sum_S e^2 Z_A / (R + r_A) - 1/2 \sum_S \sum_A e^2 / (R + r_S + r_A) \quad (3.11)$$

Burada  $Z_A$  alıcı iyonun çekirdeğinin efektif yükü,  $Z_S$  verici iyonun çekirdeğinin efektif yükünü göstermektedir. Şekil 3.1 iki tek elektronlu atomdan oluşan basit bir sistem için bu etkileşmeleri göstermektedir. Bir basitleştirme yaparak transferde sadece iki elektronun görev aldığı varsayıcağız.

(3.11) denkleminin son terimi küresel harmonikler cinsinden seriye açılırsa,

$$e^2 / (R + r_S + r_A) = e^2 / kR^3 [r_S r_A - 3(r_S \cdot R)(r_A \cdot R) / R^2] + \text{daha yüksek dereceli terimler} \quad (3.12)$$

elde edilir. Bu terim genellikle dipol terimi olarak tanımlanır ve (3.7) denkleminde yerine koyulduğunda,

$$P_{S \rightarrow A} = 8\pi^2 / h \sum_I \sum_F (e^4 / \kappa^2 R^6) (g_S g_A)^{-1} \rho(E)$$

$$\mathbf{x} | \langle r_s \rangle \langle r_A \rangle - 3(\langle r_s \rangle, R)(\langle r_A \rangle, R|^2| \quad (3.13)$$

sonucuna ulaşılır. Bu denklemde,

$$\langle r_s \rangle = \int \Psi_s'(r_s) r_s \Psi_s(r_s) dr_s \quad (3.14)$$

$$\langle r_A \rangle = \int \Psi_A(r_A) r_A \Psi_A'(r_A) dr_A \quad (3.15)$$

$g_s$  uyarılmış verici iyonun dejenereliğini,  $g_A$  uyarılmamış alıcı iyonun dejenereliğini gösterir. Yüksek dereceli multipollerin ihmali edilmesine ek olarak transfer sonucunda verici iyon üzerindeki elektronun alıcı iyon üzerine, alıcı iyon üzerindeki elektronun verici iyon üzerine lokalize olduğu,

$$-e^2 \int \Psi_s^{*\prime}(r_s) \Psi_A^*(r_A) (1/r_{SA}) \Psi_A(r_s) \Psi_s'(r_A) d\tau_s d\tau_A \quad (3.16)$$

değiş-tokuş etkileşmelerini de ihmali edebiliriz.

(3.13) denklemindeki  $\langle r_A \rangle$  ve  $\langle r_s \rangle$  matris elemanlarının hesaplanması için S ve A'nın dalga fonksiyonlarının tamamen bilinmesi gereklidir ve bu lüminesansın en önemli problemlerinden biridir. Bu zorluğu aşmak için Einstein'in A katsayısını kullanarak, kristal çevresindeki bir atomun kendiliğinden ışınmalı geçisi;

$$A(i, f) = \frac{4e^2 E^3 (2\pi)^4}{3h^4 c^3} \left( \frac{E_c}{E} \right)^2 n^3 |\langle f | r | i \rangle|^2 \quad (3.17)$$

formülü ile verilir. Burada  $c$  ışığın hızı,  $n$  kırılma indis,  $E$  geçişin enerjisi, ve  $(E_c/E)$  kristaldeki elektrik alanının serbest atomdaki elektrik alanına oranıdır.  $\int A(E) dE$  incelenen seviyenin ışınmalı yaşam süresinin tersidir.  $f(E)$  fonksiyonunu  $A(E)$  ile aynı şekle sahip ve  $\int f(E) dE = 1$  eşitliğini sağlayan bir fonksiyon olarak tanımlayarak ;

$$|\langle i|r|f \rangle|^2 = \frac{3h^4c^3}{4(2\pi)^4 n^3 e^2 E^3} \left(\frac{E}{E_c}\right)^2 \frac{1}{\tau_{rad}} f(E) \quad (3.18)$$

denklemini yazabiliriz. (3.18) denklemini verici iyon için yazarsak  $f(E)$ 'nin şeklinin  $S'$  nin emisyon bandının şeklinde verilmesi gereklidir.  $f(E)$  ve  $\tau_{rad}$  deneysel olarak saptanır.

İndüklenmiş geçişler için Einstein B katsayısi, kristal çevresini hesaba katarak,

$$B(E) = \frac{(2\pi)^3 e^2}{3h^2} \left(\frac{E}{E_c}\right)^2 |\langle f|r|i \rangle|^2 \quad (3.19)$$

şeklinde verilir. Bu katsayı soğurma kesit alanı ile ilişkilidir ve bu ilişki,

$$\sigma(E)dE = BhEn / c \quad (3.20)$$

(3.20) denklemi ile verilir. Eğer yeni bir  $F(E)$  şekil fonksiyonunu  $Q F(E) = \sigma(E)$  olacak şekilde tanımlar ve  $\int F(E)dE = 1$  olacak şekilde normalize edersek,  $Q$  absorbsiyon bandının altında kalan alanı gösterir. Uygun düzenlemelerden sonra şu sonuç elde edilir;

$$|\langle f|r|i \rangle|^2 = \frac{3hc}{8\pi^3 e^2 n E} \left(\frac{E}{E_c}\right)^2 Q_A F(E) \quad (3.21)$$

Burada  $Q_A$  bu denklemin alıcı iyona uygulanacağını göstermektedir.

(3.13) denkleminde verici iyonun matris elemanın yerine (3.18) denklemini, alıcı iyonun matris elemanın yerine (3.21) denklemini koyarak verici iyondan alıcı iyona ( $E, E+dE$ ) enerji aralığında enerji transferi olasılığının (3.22) denklemiyle hesaplanabileceği sonucuna ulaşılır.

$$P_{S \rightarrow A}(dd, E, E + dE) = \frac{3h^4 c^4 Q_A}{\kappa^2 2(2\pi)^5 R^6 n^4 \tau_{s,rad}} \left(\frac{E}{E_c}\right)^4 \frac{f(E)F(E)}{E^4} dE \quad (3.22)$$

(3.22) denklemi enerji üzerinden integre edilirse, dipol-dipol transfer olasılığını veren (3.23) denklemi elde edilir.

$$P_{S \rightarrow A}(dd) = \frac{3h^4 c^4 Q_A}{\kappa^2 2(2\pi)^5 R^6 n^4 \tau_{s,rad}} \left(\frac{E}{E_c}\right)^4 \int \frac{f_s(E)F_A(E)}{E^4} dE \quad (3.23)$$

(2.23) denkleminden aşağıdaki sonuçlar çıkartılabilir;

- 1) Transfer olasılığı verici iyonun emisyon bandı ile alıcı iyonun soğurma bandının üstüste binme integrali ile orantılıdır.
- 2) Soğurma bandının gücü ve emisyon bandının gücü, sırasıyla  $Q_A$  ve  $1/\tau_{s,rad}$  terimleri ile enerji transfer prosesine katılır.  $\tau_{s,rad}$  küçük olduğunda transfer olasılığı artar fakat ışınmalı transfer hızında artışa sebep olması nedeniyle transfer hızı üzerinde negatif bir etki yaratabilir.

Uyarılmış bir verici iyondan uyarılmamış bir alıcı iyona ışımasız enerji transferi  $W_{TR}$  hızı ile sağlanan bir olasılıksal proses olarak görülebilir. Dipol-dipol etkileşmesi için

$$W_{TR}(dd) = \left(\frac{1}{\tau_D}\right) \left(\frac{R_0}{R}\right)^{-6} \quad (3.24)$$

Burada  $\tau_D$  verici iyonun kendiliğinden (spontaneous) zaman sabiti,  $R$  alıcı iyon ile verici iyon arasındaki mesafe,  $R_0$  kritik transfer mesafesidir.  $R_0$  teorik olarak (3.25) denklemiyle verilir.

$$R_0^6 = \frac{3\hbar^4 c^4 Q_A}{4\pi n^4} \eta_d \int \frac{f_d(E)F_a(E)}{E^4} dE \quad (3.25)$$

Bu denklemde  $c$ , ışık hızı,  $\hbar$ ,  $2\pi$  ile bölünmüş Plank sabitini,  $n$  ortamin kırılma indisini,  $E$  uyarma enerjisini  $F_s(E)$  alıcı iyonların normalize edilmiş emisyon bandını,  $f_s(E)$  verici iyonların normalize edilmiş emisyon bandını,  $\eta_d$  alıcı iyonun yokluğunda

verici iyonun kuantum verimini göstermektedir.  $Q_A$  alıcı iyonun soğurma gücünü temsil etmektedir ve alıcı iyonun soğurma bandının altında kalan alana eşittir. Integral  $F_a(E)$  ve  $f_d(E)$  nin sıfır olmadığı enerjiler üzerinden alınmıştır.

Eğer verici iyonlar alıcı iyonların rastgele dağılım gösterdiği bir kristale koyulursa Förster denklemi elde edilir, [32]

$$N_D(t) = N_D(0) \exp \left[ -\frac{t}{\tau_D} - \sqrt{\pi} \left( \frac{C}{C_0} \right) \left( \frac{t}{\tau_D} \right)^{1/2} \right] \quad (3.26)$$

Bu denklemde  $N_D(t)$ , t anındaki,  $N_D(0)$ , sıfır anındaki uyarılmış verici iyon sayısını,  $C$  alıcı iyonların konsantrasyonunu,  $C_0$  ise alıcı iyonların kritik konsantrasyonunu göstermektedir

$$C_0 = \frac{3}{4\pi R_0^3} \quad (3.27)$$

Bu teori Robbins [47] tarafından  $100^0\text{K}$ 'den  $200^0\text{K}$ 'e kadar olan sıcaklıkta Ce:YAG üzerinde incelemeler yapılarak deneysel verilerle uyum sağlamadığı gereklisiyle reddedilmiş, daha sonra G. E. Eizenberg ve S. R. Rotman yine Ce:YAG üzerinde yaptıkları çalışma sonucunda bu teorinin kullanabileceği sonucuna varmışlardır. [2]

### 3.2.2.Fonon Destekli Enerji Transferi :

Geçen bölümde görüldüğü gibi enerji transferi olasılığı alıcı iyonun soğurma bantlarıyla verici iyonun emisyon bantlarının üst üste binme integraliyle orantılıdır. Soğurma ve emisyon spektrumlarındaki çizgilerin şekilleri Lorentzyen olduğunda üstüste binme integrali hesaplanabilir; fakat çizgiler keskin ve birbirinden iyi bir şekilde ayrılmış olduğunda gausyen şeke sahip olma eğilimindedirler, üstüste binme integrali ve bunun sonucu olarak enerji transferi olasılığı ihmal edilebilir hale gelir. Bu durumda enerji transferi bir fononun soğurulması veya emisyonu yardımıyla desteklenebilir. Bu yöntem ilk olarak Orbach [48] tarafından formülize edilmiş ve

deneysel olarak pek çok çalışmacı tarafından doğrulanmıştır. Holstein ve arkadaşlarının [49] çalışması buna örnek olarak gösterilebilir. Hesaplamaları basitleştirmek için sadece bir tane fonon destekli transfer durumunu inceleyelim. Şekil 3.2 böyle bir prosesin şematik gösterimidir. Sistemin başlangıç ve bitiş durumları sırasıyla;

$$|i\rangle = |S^*, A, n_{s,q}\rangle \quad (3.28)$$

$$|f\rangle = |S, A^*, n_{s,q} \pm l\rangle$$

denklemleri ile gösterilir. Bu denklemlerde S verici iyonu, A alıcı iyonu, \* iyonların uyarılmış durumda olduğunu,  $n_{s,q}$ ; s polarizasyonuna, q dalga vektörüne sahip fononların yer işgal etme numaralarını göstermektedir. + (-) işaretinin s polarizasyonlu q dalga vektörlü fononun yaratılması (yokedilmesi) ’nı belirtir. Farklı fonon işgal etme numarasına sahip durumları birleştirmek için kullanılan iyon fonon etkileşmesi hamiltoniyeni  $H_{ph}(j)$  aşağıdaki matris elemanlarıyla gösterilir.

$$\langle j, n_{s,q} \pm l | H_{ph}(j) | j, n_{s,q} \rangle = f(j) \langle n_{s,q} \pm l | \epsilon | n_{s,q} \rangle \exp[\pm(1/i)q.r_j] \quad (3.29)$$

$$\langle j^*, n_{s,q} \pm l | H_{ph}(j) | j^*, n_{s,q} \rangle = g(j) \langle n_{s,q} \pm l | \epsilon | n_{s,q} \rangle \exp[\pm(1/i)q.r_j]$$

Burada j, S veya A’yi gösterebilir, g temel ve uyarılmış durumların çiftlenim sabitleridir.  $\epsilon$  gerilme operatörüdür ve tensör olarak ;

$$\epsilon_{\alpha\beta} = \sum_{s,q} \left[ (h / 8\pi m N \omega_{s,q})^{1/2} (a_{s,q}^+ + a_{s,q})(e_{s,\alpha} q_\beta + e_{s,\beta} q_\alpha) \right] \quad (3.30)$$

şeklinde yazılır. Bu denklemde m iyonun kütlesi, N latis sitelerinin sayısı,  $w_{s,q}$  fononun açısal frekansı,  $a_{s,q}^+$  fonon yaratma,  $a_{s,q}$  fonon yoketme operatörü,  $e_{s,\alpha}$ ; s polarizasyon indisini için polarizasyon vektörünün  $\alpha$ . bileşenidir. İyon - iyon ve iyon - fonon etkileşmelerini eşit sayarak, perturbasyon hamiltoniyeni şu şekilde yazılabilir;  
 $H = H_{S-A} + H_{p-h}(S) + H_{p-h}(A)$

Fonon destekli transferin birim zamandaki geçiş olasılığı "golden kuralı" ile bulunur ve  $\langle f |$  ile  $|i\rangle$  arasındaki matris elemanı  $H$ 'nin karesi ile orantılıdır. Bu durumda birinci dereceden matris elemanları yok olur ve ikinci dereceden matris elemanları aşağıdaki gibi ifade edilir.

$$t_{f \leftarrow i} = \sum_{j=S, A} \frac{\langle S, A^*, n_{p,q} \pm 1 | H_{S-A} | S^*, A, n_{p,q} \pm 1 \rangle}{E_S - (E_S - h\nu_{p,q})} \quad (3.31)$$

$$\times \langle S, A^*, n_{p,q} \pm 1 | H_{ph}(j) | S^*, A, n_{p,q} \rangle$$

$$+ \sum_{j=S, A} \frac{\langle S, A^*, n_{p,q} \pm 1 | H_{ph}(j) | S, A^*, n_{p,q} \rangle}{E_S - E_A}$$

$$\times \langle S, A^*, n_{p,q} | H_{S-A} | S^*, A, n_{p,q} \rangle$$

Burada  $| S, A, n_{p,q} \pm 1 \rangle$  orta(**intermediate**) durumları göstermektedir. Buradaki toplam, fononun yaratıldığı veya yok edildiği pozisyonlar üzerinden alınabilir. Enerjinin korunumu için  $S$  ve  $A$ 'nın uyarılmış uyarılmış durumları arasındaki enerji uyumsuzluğunun geçişte yer alan fononun enerjisine eşit olması gereklidir, bu ise (3.31) denklemindeki paydaların değerlerinin büyüklük olarak eşit fakat zıt işaretli olması demektir. (3.29) ve (3.31) denklemelerini kullanarak,

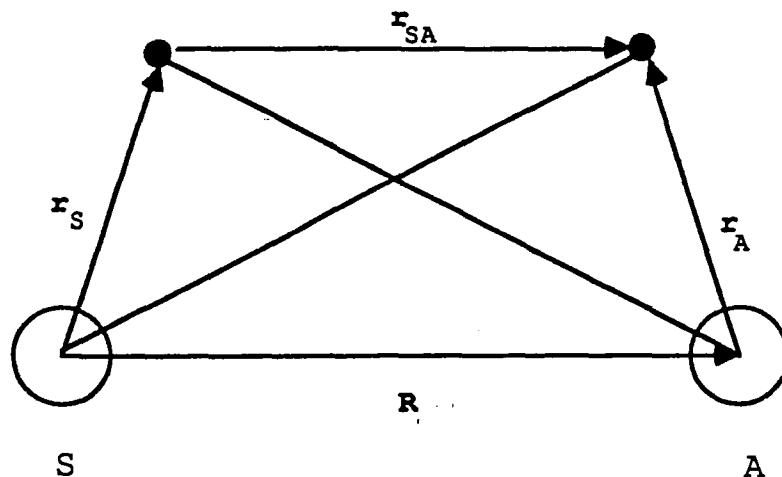
$$t_{f \leftarrow i} = \frac{J \langle n_{p,q} \pm 1 | \epsilon | n_{p,q} \rangle}{E_S - E_A} \exp\left[\pm \frac{1}{i} q \cdot r_2\right] \quad (3.32)$$

$$\times \left\{ [f(1) - g(1)] \exp[\pm iq \cdot r] - [f(2) - g(2)] \right\}$$

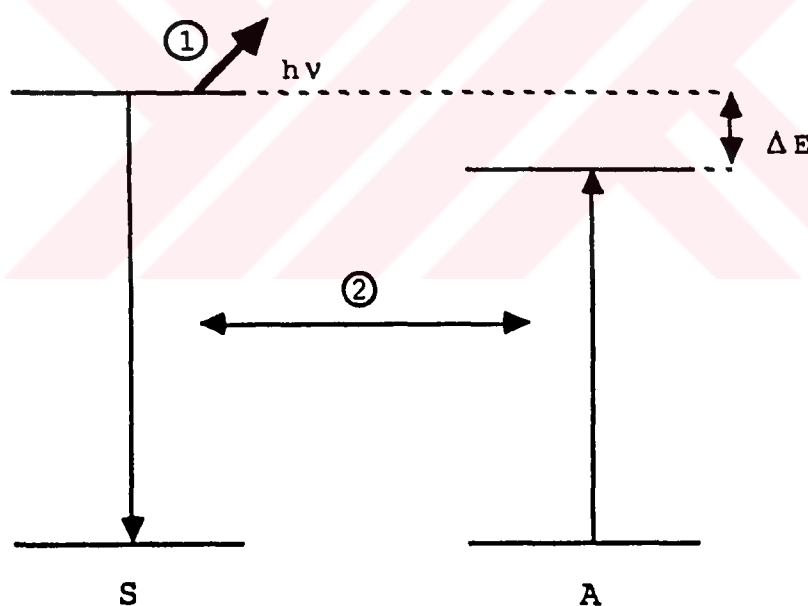
denklemini yazabiliriz. Burada  $J = \langle S, A^* | H_{S-A} | S^*, A \rangle$  ve  $r=r_A-r_S$ 'dir. Birim zamanda fonon destekli enerji transferi olasılığı her sitenin temel ve uyarılmış durumları arasındaki fonon çiftlenim sabitlerine bağlıdır. Bu nedenle fononlar uyarılmış durumun enerjisini daha verimli olarak modüle ettikçe transfer de daha verimli olacaktır. Bunlara ek olarak, bir girişim olayı olabilir ve girişim olayı transfer olasılığını azaltır. Benzer iyonlar arasındaki enerji transferini ele alalım; bu durumda iyonlar aynı çiftlenim sabitine sahip olur. Eğer  $q.r$  küçükse,  $\exp[i.q.r] = 1$  olur ve (3.31) denklemi sıfıra yaklaşır. Bu girişimin fiziksel açıklaması şöyledir; verilen bir  $r$  için  $q$  küçük ise  $q.r$  de küçüktür ve fonon dalga boyu  $\lambda = 2\pi / q$ , iyonlar arası mesafeden çok daha büyüktür. Bu durumda her sitenin modülasyonu hemen hemen aynıdır. İki iyonun modülasyon enerjileri arasındaki fark küçük ise  $E_S - E_A$  arasındaki enerji uyumsuzluğunu yok edemeyebilir.

Fonon destekli proses için aşağıdaki gözlemler yapılabilir;

- 1) Eğer enerji uyumsuzluğu büyük ise, fononun dalga boyu iyon - iyon mesafesinden kısa olabilir. Bu durumda iyonlar aynı fonon çiftlenim sabitlerine sahip olsalar bile transfer meydana gelebilir.
- 2) Enerji uyumsuzluğu küçük ise, fonon dalga boyu  $\lambda = hv_p / \Delta E_{S-A}$  ile verilir. Bu denklemde  $v_p$  p. polarizasyonun sesinin hızıdır. Dalga boyu efektif iyon - iyon etkileşmesi mesafesinden çok daha büyüktür, bu nedenle  $q.r \ll 1$  olur. Bu durumda sadece, sitelerin enerjileri, farklı fonon çiftlenim sabitleri ile eşitlendiğinde transfer mümkün olur.
- 3) Benzer iyonlar arasındaki küçük enerji uyumsuzluğu durumunda tek fonon destekli transferin hızı düşükse iki fononlu proses meydana gelebilir. Bu prosese bir iyon  $hv_1$  enerjili bir fonon yayılır(soğurabilir) ve  $hv_2$  enerjili bir fonon soğurabilir(yayabilir) ve  $\Delta E = h(v_2 - v_1)$  olur.



**Şekil.3.1.** Basitleştirilmiş iki atomlu sistem



**Şekil.3.2.** Fonon destekli enerji transferinin şematik gösterimi. 1 basamağında  $S$ ,  $h\nu=\Delta E$  enerjili bir foton yayar ve enerji transferi prosesi olan 2 basamağı olur. Şekilden de görüldüğü gibi A tarafından bir fononun soğurulması da 2 basamağının meydana gelmesini sağlar.

## BÖLÜM 4

### DENEYSEL DÜZENEK

LLGG lazer kristalinde  $\text{Cr}^{3+}$  iyonundan  $\text{Nd}^{3+}$  iyonuna enerji transferi prosesinin araştırılmasında aşağıdaki üç kristal kullanılmıştır.

- 1) LLGG:  $\text{Cr}^{3+}$
- 2) LLGG:  $\text{Nd}^{3+}$
- 3) LLGG:  $\text{Cr}^{3+}, \text{Nd}^{3+}$

Yapılan ölçümler ve deney düzeneklerini dört ana grupta toplamak mümkündür;

#### 4.1) SOĞURMA ÖLÇÜMLERİ:

Her kristalin optik bölgelerdeki soğurma spektrumları oda sıcaklığında Schimadzu marka UV-3101 PC model soğurma spektrofotometresi kullanılarak elde edilmiştir. Bu spektrofotometrenin rezolüsyonu 0.1nm'dir ve 190nm (mor ötesi) ile 3200nm (yakın kırmızı ötesi) dalgalı boyu aralığında ölçüm yapabilmektedir. Detektörü morötesi ve görünür bölgede R-928 fotomultiplier, yakın kırmızı ötesi bölgede algılayıcı kısmı PbS elementinden yapılmış olan detektördür. Işık kaynağı olarak 50W halojen lamba ve döteryum lambasıdır, ışık kaynağı ölçüm yapılan dalgalı boyuna göre spektrofotometre tarafından otomatik olarak seçilir. Spektrofotometrenin dalgalı boyu hassaslığı mor ötesi/görünür bölgede 0.2 nm yarık genişliğinde  $\pm 0.3$  nm, yakın kırmızı ötesi bölgede  $\pm 0.4$  nm'dir.

#### 4.2) LÜMİNESANS ÖLÇÜMLERİ:

İncelenen kristallerin lüminesans özelliklerini incelemek için kullanılan düzenek Şekil 4.1 de gösterilmiştir. Bu düzenek üç alt sisteme ayrılarak incelenebilir.

#### **4.2.1) Uyarma Sistemi:**

650 W DVY Tungsten halojen lamba, uygun filtre ve mercekler kullanıldı.

650 W DVY Tungsten lambanın gücü kullanılan bir varyak ile değiştirilmiştir.

#### **4.2.2) Analiz Sistemi:**

Kristalin, uyarma sonunda yayınladığı ışık uyarma ışığının kristal üzerine gelme doğrultusu ile  $90^0$  açı yapacak şekilde gözlenmiştir. Böylece uyarma ışığından gelebilecek girişim ve gürültü mümkün olan minimum seviyeye indirilmiştir. Kristalin yayınladığı ışık 1 m McPherson Model 251 monokromatör kullanılarak analiz edilmiştir. Bu monokromatörün ayırma gücü 0.2 nm dir. Lüminesans monokromatöre girmeden önce 250 Hz'de titreşen ışık haline dönüştürülmüştür.

#### **4.2.3) Gözlemeleme ve Güçlendirme Sistemi**

Lüminesansı gözlemezbilmek için, monokromatörün çıkış aralığında fotomultiplier kullanılır, fotomultiplierden gelen sinyal lock-in kuvvetlendirici ile kuvvetlendirilir.

Uygun bir soketi (Hamamatsu E2183) ve devreleri olan özel olarak tasarlanmış aparata monte edilen RCA 7102 fotomultiplier tüp kullanılır ve bu tüp termal gürültüyü azaltmak ve sinyalin gürültüye oranını artırmak amacıyla buz yardımıyla 190K'e kadar soğutulmuştur. Tüp yüksek negatif voltajlarda (-1200V) çalıştırılır. 7102 RCA fotomultiplierin hassasiyet eğrisi Şekil 4.2'te verilmiştir.

Monokromatörün giriş aralığına lüminesansı 250 Hz'e modüle etmek amacıyla bir ayar çubuğu ve sürücüsü olan mekanik bir ışık bölgüsü yerleştirilir. Sürücü PAR 122 model lock-in kuvvetlendiricinin referans kanalına 250 Hz kare dalga sağlar. Bu lock-in kuvvetlendirici fotomultiplierden gelen sinyallerden sadece referans sinyali olan 250 Hz ile aynı frekansta olanları kuvvetlendirir. Faz hassasiyetli deteksiyon büyük miktardaki geriplan gürültüsünü azaltır ve dolayısıyla sinyalin gürültüye

oranının daha iyi değer almasını sağlar. Lock-in kuvvetlendiricinin 1ms ile 30s arasında değişen farklı zaman sabitleri ve buna bağlı olarak gürültü bant genişlikleri vardır. Genellikle 3s. lik zaman sabiti kullanılmıştır.

#### **4.2.4) Kayıt Sistemi**

Lock-in'in çıkışı Cole-Parmer kayıt cihazı kullanılarak kaydedilmiştir. Kayıt işleminin zaman sabiti lock-in'in çıkış devresinin zaman sabitidir.

#### **4.2.5) Sıcaklık Kontrol Sistemi**

77-300 K sıcaklık aralığındaki ölçümler için kristal Janis ST-4 model sıvı nitrojen cryostatın soğuk kısmına yerleştirildi. Sıvı nitrojen kullanıldı. Kristal bakır bir tutucuya yerleştirildi ve bir süperyalıktan içinden sıvı nitrojen gönderildi. 77 K'nın üzerindeki sıcaklıklar kristal tutucudaki ısıtıcıya uygun elektrik akımları gönderilerek elde edildi. Kristalin sıcaklığı Lake Shore DT-470-CU-13 model silikon diyot algılayıcı kullanılarak ölçüldü ve gerekli olan sıcaklıkları elde edebilmek için kristal tutucusundaki ısıtıcıya gelen akımı kontrol eden Lake Shore 805 model sıcaklık kontrol edici kullanıldı.

### **4.3) UYARMA (EKSİTASYON) SPEKTRUMLARININ ÖLÇÜLMESİ:**

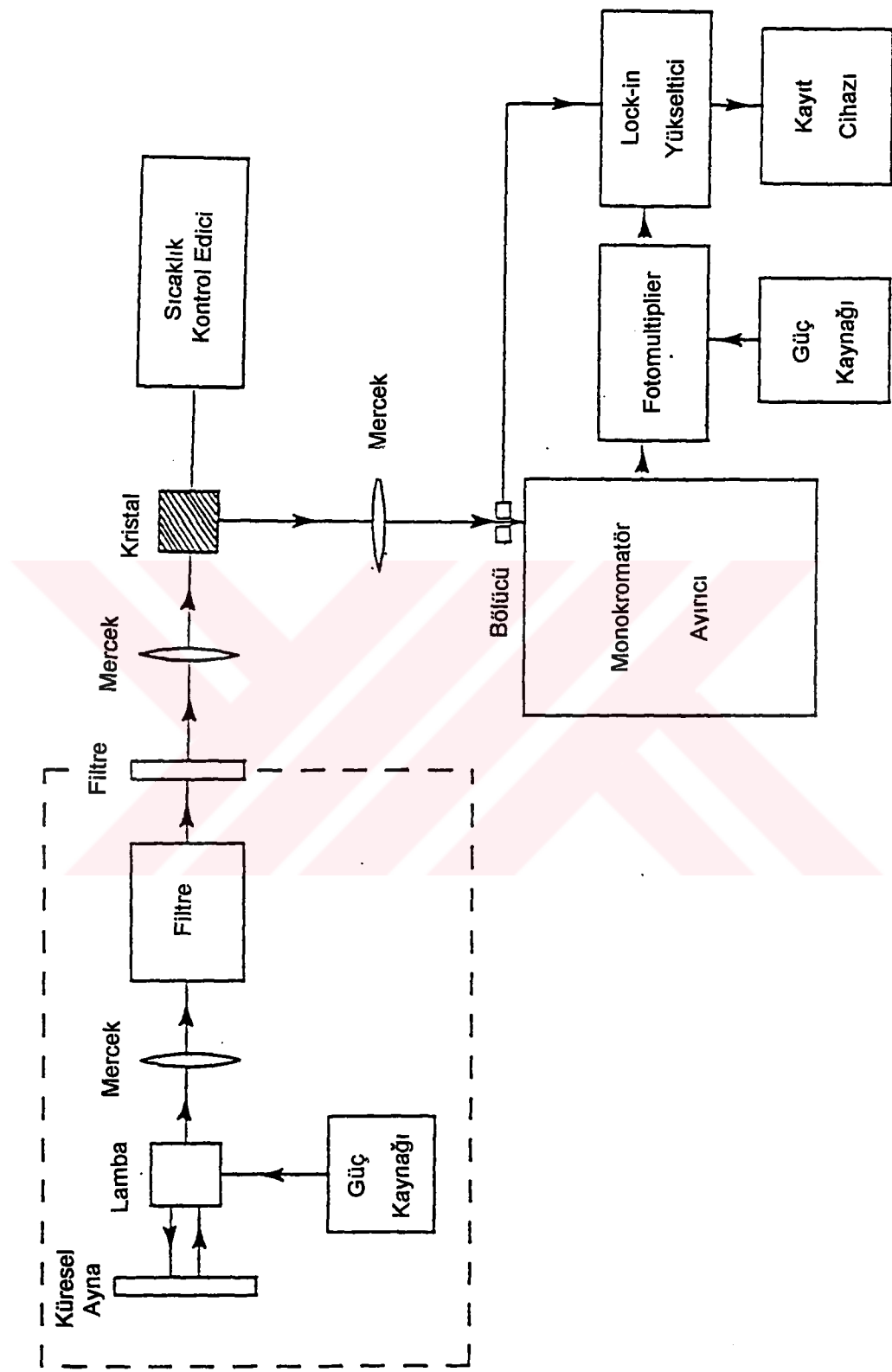
Nd<sup>3+</sup> iyonunun, 1.06μm'de merkezlenmiş lazer ışısını elde edebilmek için incelediğimiz kristal örneklerinin hangi dalga boyunda uyarılması gerektiğini belirlemek amacıyla uyarma spektrumları alınmıştır. Bu ölçümlerde kullanılan düzeneğin lüminesans ölçüm düzeneğinden tek farkı monokromatörün kristal ile uyarma kaynağı arasına yerleştirilerek uyarma enerjisinin dalga boyunun seçilebilir duruma getirilmesidir.

### **4.4) YAŞAM SÜRELERİNİN ÖLÇÜLMESİ**

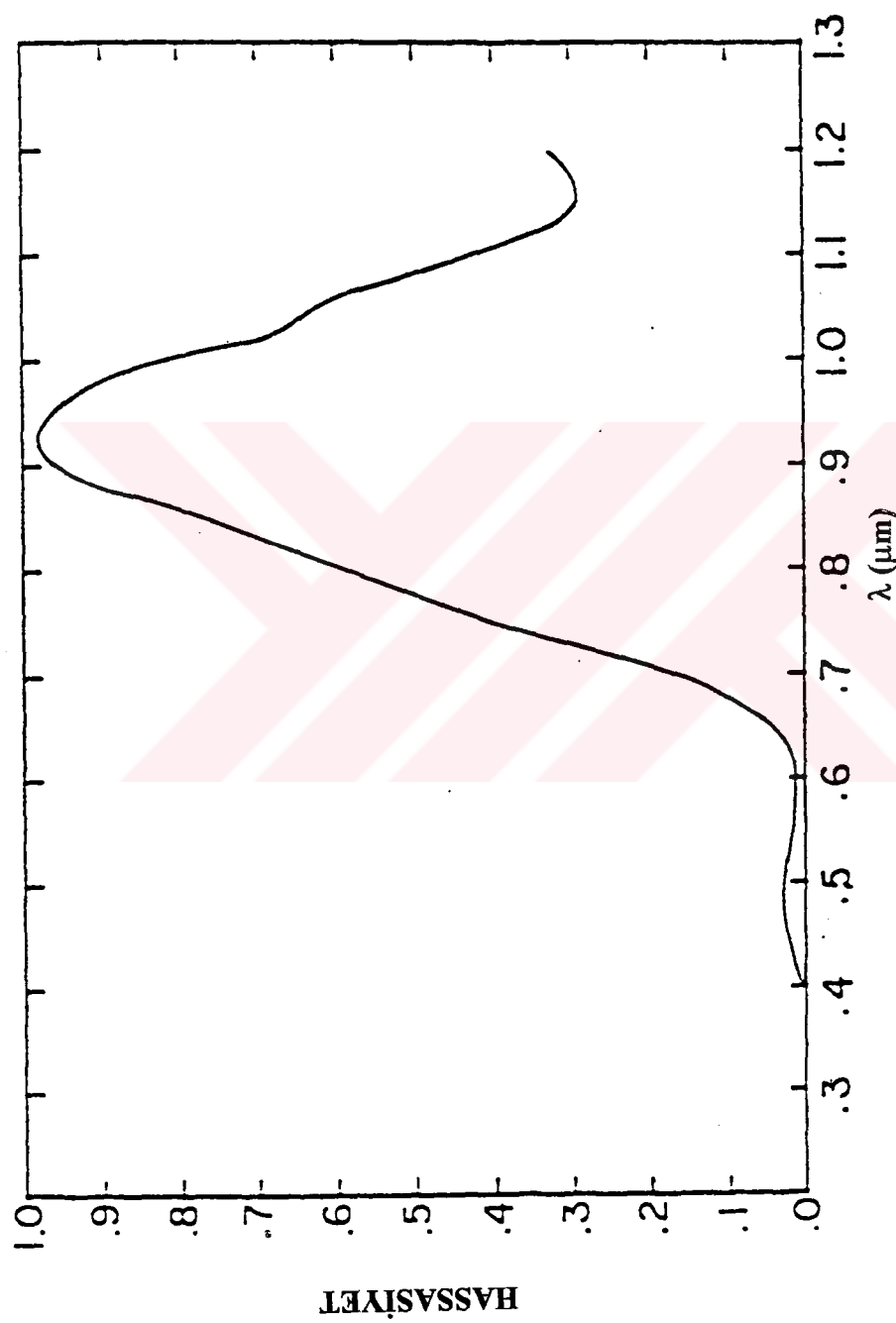
Yaşam sürelerinin ölçümünde , lüminesans ölçümlerinde kullanılan düzenekten farklı olarak uyarma kaynağı olarak tungsten lamba yerine puls lazerinin kullanılmasıdır.

Gözlemeleme sisteminde fotomultiplier tüp çıkışında elde edilen sinyal osiloskop ile gözlenerek fotoğrafı çekilmiştir.





**Sekil 4.1.** İncelelen kristallerin lüminesans özelliklerini araştırmak için kullanılan sistem



Şekil 4.2. 7102 RCA fotomultiplierin hassasiyet eğrisi

## BÖLÜM.5

### SONUÇLAR VE YORUM

Şekil.5.1. Cr ve Nd iyonlarının enerji seviyelerini göstermektedir. Bu şekele göre Cr iyonunun  $^2E$ ,  $^4T_2$  ve  $^4T_1$  seviyelerine sahiptir. Nd $^{3+}$  ise temel seviyesi olan  $^4I_{9/2}$ 'nin dışında toplam 9 farklı enerji değerinde metastable elektronik seviyelere sahiptir.[50]

#### 5.1) LLGG:Cr $^{3+}$

Soğurma Spektrumu oda sıcaklığında elde edilmiştir. Şekil 5.2'de görüldüğü gibi 487.50nm ve 696nm'de merkezlenmiş iki bantı vardır. Bu bantların yarı şiddeteki bant genişlikleri sırasıyla 123nm ve 65nm olarak ölçülmüştür.

Soğurma spektrumuna göre maksimum soğurma katsayısı 487.50 nm'de 0.8958 ve 696 nm'de 2.1273 olarak bulunmuştur.

Lüminesans spektrumu 77-300K sıcaklık aralığında alınmıştır. Bu spektruma göre LLGG:Cr $^{3+}$  yarı şiddette bant genişliği 110nm olan ve 780nm de merkezlenen lüminesans spektrumuna sahiptir. Bu ışınma  $^2E \rightarrow ^4A_2$  geçişine karşılık gelmektedir. Şekil.5.3(a) ve 5.3.(b) 77K ve 300K'de elde edilen ışınma spektrumlarını göstermektedir. Bu spektruma göre  $\lambda=780\text{nm}$ 'deki maksimum ışınma şiddetinin %33.4 oranında azalığı gözlenmiştir.

Uyarılmış seviyedeki Cr $^{3+}$  iyon sayısının zamanla değişiminin eksponansiyel olduğu gözlenmiştir. Dolayısıyla uyarılmış seviyenin yaşam süresi bu seviyedeki

iyon sayısının başlangıç değerinin  $\frac{1}{e}$ 'sine düşmesi için geçen süre olarak geçen süre olarak tanımlanır. Herhangi bir t anında uyarılmış seviyedeki iyon sayısı N, t=0 anındaki iyon sayısı  $N_0$  ile gösterilirse uyarılmış seviyedeki iyon sayısı, genel olarak (2.35) denkleminde verildiği gibidir. Uyarılmış  $\text{Cr}^{3+}$  temel seviyeye tek geçişle dönebildiği için (2.35) denklemi

$$N=N_0 e^{-t/\tau} \quad (5.1)$$

şeklini alır. Bu denklemde  $\tau$  söz konusu elektronik seviyenin yaşam süresidir. Bu eşitlik

$$\ln \frac{N}{N_0} = -\frac{t}{\tau} \quad (5.2)$$

şeklinde yeniden düzenlenirse eşitliğin sol tarafındaki değerin (bu değer ışına şiddetine eşittir) zamana göre değişim grafiğinin eğiminin tersi yaşam süresini verir.

$^2\text{E} \rightarrow ^4\text{A}_2$  geçişine karşılık gelen ışına şiddetinin zamana bağımlılığı 77-310K sıcaklık aralığında ölçülmüş olup 77K ve 310K için elde edilen eğriler sırasıyla Şekil.5.4 ve Şekil.5.5'te verilmiştir. Bu eğrilerden elde edilen yaşam süresinin sıcaklıkla değişimi Şekil.5.6 ve Tablo.5.1'de verilmiştir. Buna göre  $\text{Cr}^{3+}$ 'ın LLGG'de yaşam süresi 77K sıcaklıkta  $112.2\mu\text{s}$  ve 310K'de 74.9 olarak ölçülmüştür. Sonuç olarak kristal sıcaklığı 77K'den 310K'e çıkartıldığında  $\text{Cr}^{3+}$ 'nin bu kristaldeki floresans yaşam süresinin %33.3 oranında kısalığı gözlenmiştir.

## 5.2) LLGG:Nd<sup>3+</sup>

Şekil.5.6 LLGG:Nd<sup>3+</sup> kristalinin soğurma spektrumunu göstermektedir.

Bu kristalin lüminesans spektrumu lazer ışısmasına karşılık gelen  $^4F_{3/2} \rightarrow ^4I_{11/2}$  geçişine için 77-310K sıcaklık aralığında ölçülmüştür. Şekil.5.8, 100K'de elde edilen lüminesans spektrumunu vermektedir.

İncelenen bandın ışına iddetinin 77K ile 310K sıcaklık aralığında sıcaklıktan bağımsız olduğu gözlenmiştir.

1.06 $\mu$ m'de merkezlenen ışınmaya ait uyarma spektrumu oda sıcaklığında elde edilmiştir. Şekil.5.9'da bu spektrum görülmektedir.

1.06 $\mu$ m'de merkezlenen ışına şiddetinin zaman ile değişimi Şekil.5.10'da görüldüğü gibidir.

### 5.3) LLGG:Cr<sup>3+</sup>:Nd<sup>3+</sup>

Bu kristalin oda sıcaklığında ölçülen soğurma spektrumu Şekil.5.11'de verilmiştir. Şekilden de görüldüğü gibi bu spektrumda LLGG:Cr<sup>3+</sup> ve LLGG:Nd<sup>3+</sup>'nin soğurma spektrumlarının üst üste bindiği gözlenmiştir. Bu sonuç Cr ve Nd arasında kuvvetli bir etkileşme olmadığını göstermektedir.

Nd ve Cr katkılı kristalde (LLGG:Cr:Nd) katkı iyonları arasında oluşan enerji transfer olayını daha iyi araştırabilme amacıyla :

- i. Nd iyonunun 1.06mm'deki ışına şiddetinin zamana bağımlılığı sadece Nd iyonları uyarılarak ve sadece Cr iyonları uyarıldığında gözlenen Cr $\rightarrow$ Nd enerji transfer prosesi yoluyla olmak üzere iki farklı uyarma koşulu için ölçülmüştür.
- ii. Cr $\rightarrow$ Nd enerji transfer hızını ölçmek amacıyla Cr iyonunun 780 nm'de merkezlenmiş olan ışına şiddetinin zamanla değişimi ölçülmüştür.

Bütün ölçümeler 77K -300K sıcaklık aralığında yapılmış olup elde edilen sonuçlar Tablo.5.2. ve Şekil 5.12 - 5.14'te gösterilmiştir. Sadece Nd iyonları uyarıldığında ve

Cr iyonları uyarıldığında ölçülen lazer ışına şiddeti zaman içinde exponensiyel olarak azalmakta olup her bir sıcaklıkta ölçülen Nd ışına yaşam süreleri aynidir. Bu gözlem Nd iyonunda Cr iyonuna geri enerji transferi olmadığını göstermektedir.

Bu kristalde ölçüm yapılan herbir sıcaklıktaki Cr iyonunun 780 nm' de merkezlenmiş ışına yaşam süresinin aynı kristal sadece Cr iyonu ile katkıladığı durumda ölçülen değerinden hem daha kısa hem de iki exponensiyel değişimin olduğu gözlenmiştir. Nd iyonunun varlığı Cr iyonun ışına yaşam süresini etkilemiş olması Cr $\rightarrow$ Nd enerji transfer olayının gerçekleştiğinin kanıtıdır. İki farklı eksponensiyel değişim ise kristalde Cr ve Nd iyonları arasında iki farklı kuvvette etkileşme olduğunu işaretidir. Zayıf Cr-Nd etkileşmesine bağlı olarak ölçülen Cr<sup>3+</sup> yaşam süresinin kristalin sıcaklığı ile değişimi Şekil.5.15'de gösterilmiştir. Tranfer hızı verici olan Cr iyonun Nd iyonunun varlığında ve yokluğunda ölçülen yaşam süresine bağlı olarak belirlenebilir. Çünkü iki iyonla katkılanmış kristalde uyarılmış seviyede bulunan Cr iyon sayısının zamanındaki doğal değişim prosesine Nd iyonuna aktarılan enerji nedeniyle yeni bir kanal açılmış bulunmaktadır. Bu da Cr iyonunun iki iyonla katkılı kristaldeki yaşam süresinin kısalması olarak gözlenmiştir. Bölüm 2 de (2.38) eşitliği ile genel olarak tanımlanan eşitliğine göre transfer hızı

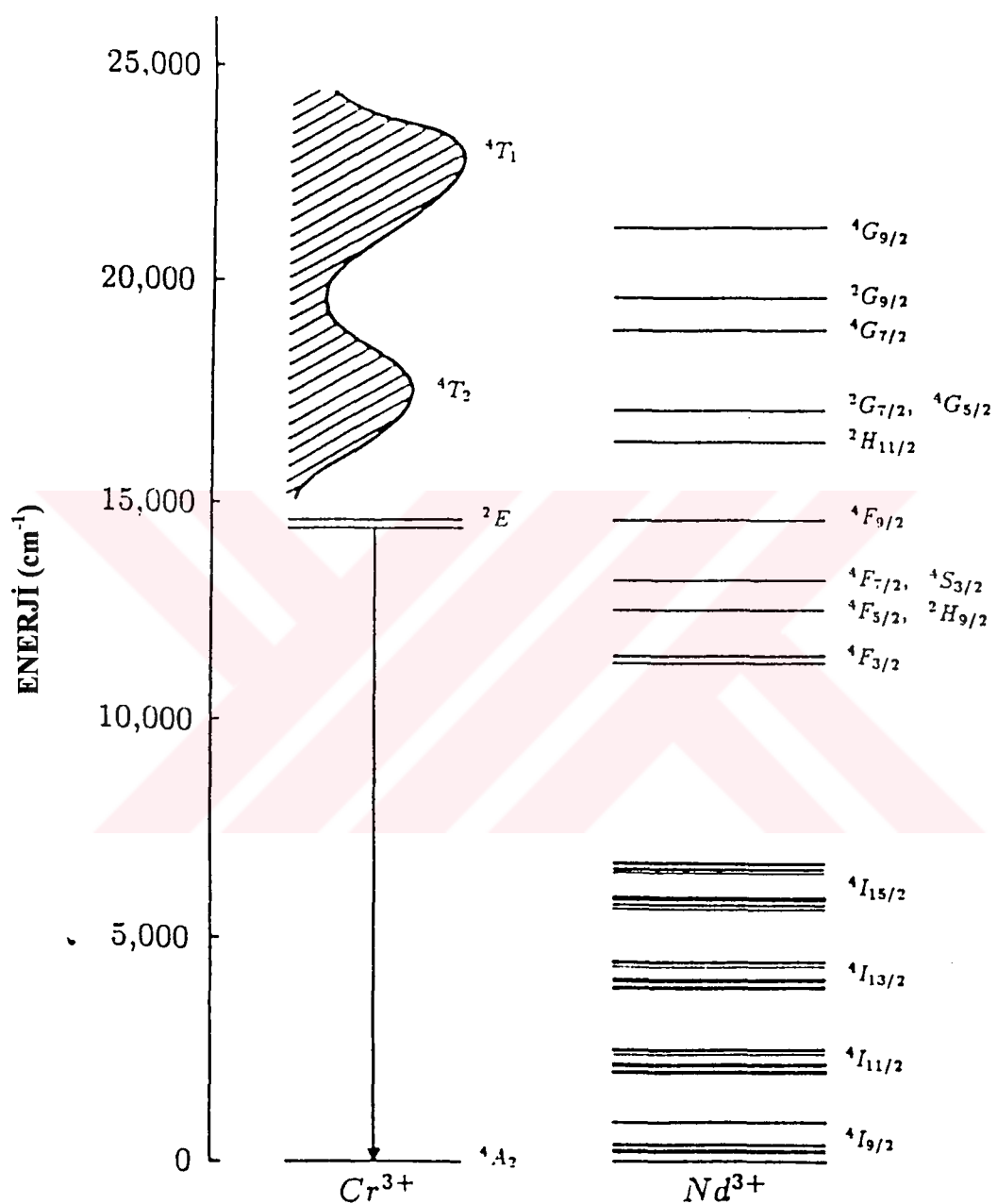
$$W_{TR} = \frac{1}{\tau} - \frac{1}{\tau_0}$$

eşitliğinden hesaplanarak 77K -300K sıcaklık aralığında elde edilen değerler Tablo 5.3. ve Şekil 5.16.'da gösterilmiştir. Yukarıdaki eşitlige göre Cr $\rightarrow$ Nd enerji transfer hızının sıcaklık ile azaldığı gözlenmiştir. Bu sonucu pratik olarak oda sıcaklığında çalışabilen bir katıhal lazeri için arzu edilmeyen bir durum olduğu söylenebilir. Literatürde aynı iyon çifti ile katkılanmış olan GSGG kristalinde transfer hızının sıcaklık ile arttığı belirtilmiştir [51]. GSGG kristali LLGG kristali gibi garnet yapıya sahip olmasına rağmen fonon kesim frekansı daha yüksektir. Bu da kristal sıcaklığı arttığında latis titreşimleri ile katkı iyonları arasındaki etkileşme sonucu kristal latisine verilerek kaybedilen enerji miktarını düşürmektedir. Sonuç olarak LLGG

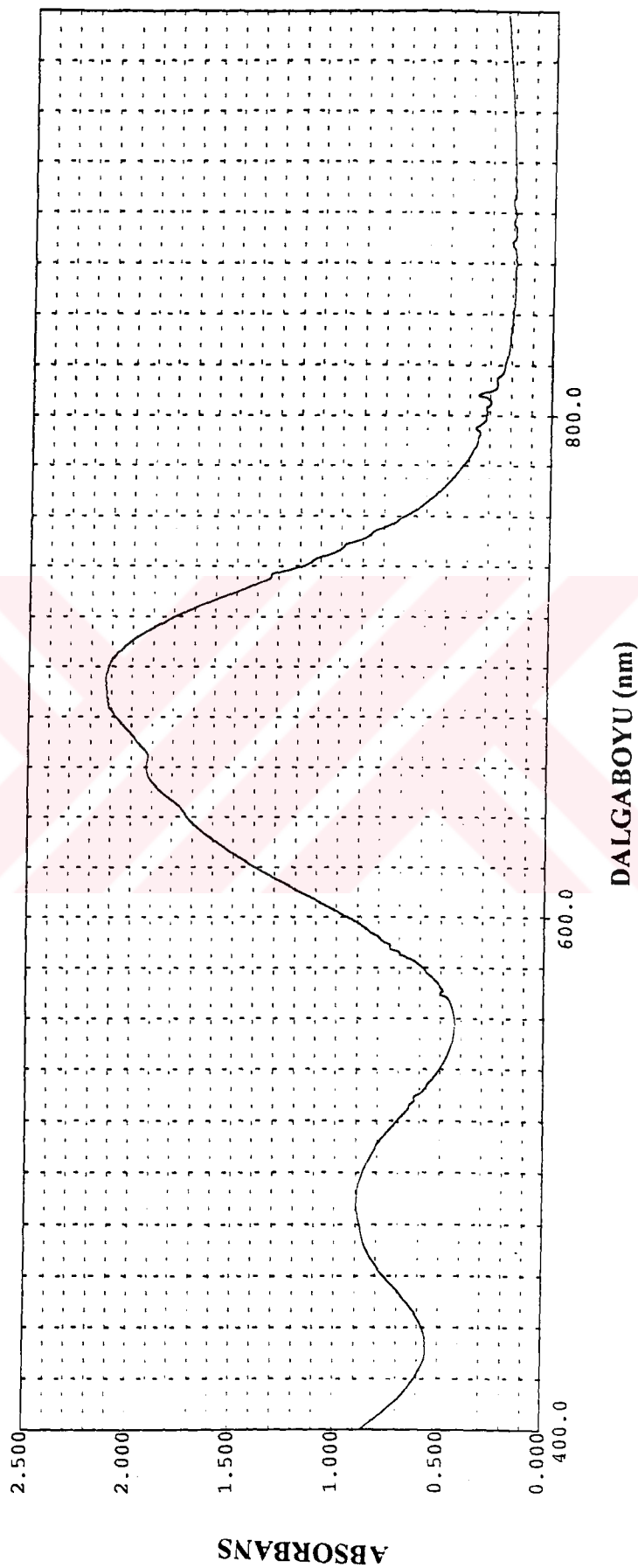
kristalinde Cr $\rightarrow$ Nd enerji transfer hızında latis titreşimleri söndürücü etki yapmaktadır.

Bu sonuçlardan aşağıdaki gözlemler yapılmıştır:

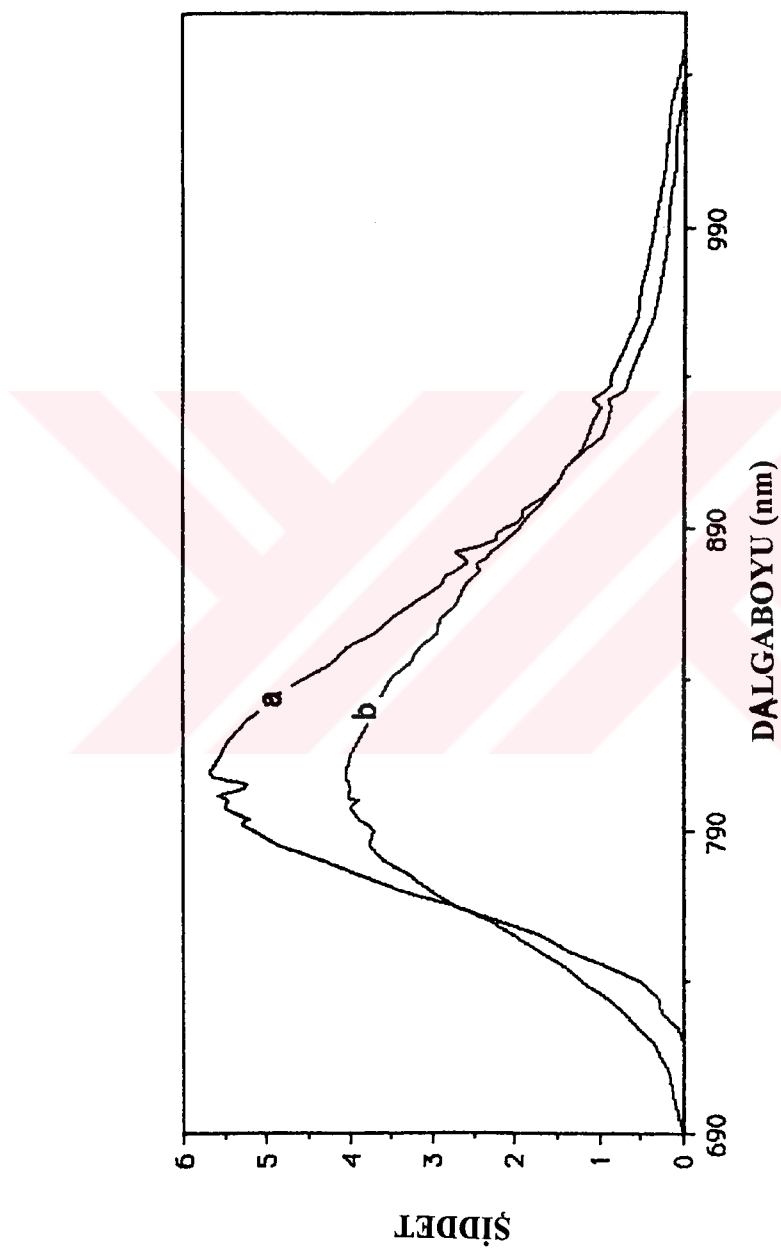
1.  $^4F_{3/2}$  Nd $^{3+}$  seviyesinin yaşam süresi  $200\mu s$ 'dir ve bu değer LLGG kristalinde Nd $^{3+}$ 'nın işıma yaşam süresinde ölçülebilecek en düşük değeridir.
2. Cr $\rightarrow$ Nd enerji transferi iki farklı hızda oluşmaktadır. Bunun nedeni kuvvetli ve daha az kuvvetli etkileşen Cr-Nd çiftlerinin kristal içinde var olmasıdır.
3. Kuvvetli etkileşen Cr-Nd çiftleri arasında hızlı enerji transferi söz konusudur.
4. Aralarında daha zayıf etkileşme olan Cr-Nd çiftleri arasındaki enerji transferi bu etkileşmedeki Cr iyonun yaşam süresinde kuvvetli etkileşen çiftteki Cr iyonunun yaşam süresine nazaran daha az kısalımaya neden olmaktadır.
5. Aralarında zayıf etkileşme olan Cr-Nd çiftinde Cr'dan Nd'ye oluşan transfer hızı oda sıcaklığında  $0.015\mu s^{-1}$  olarak ölçülmüştür.



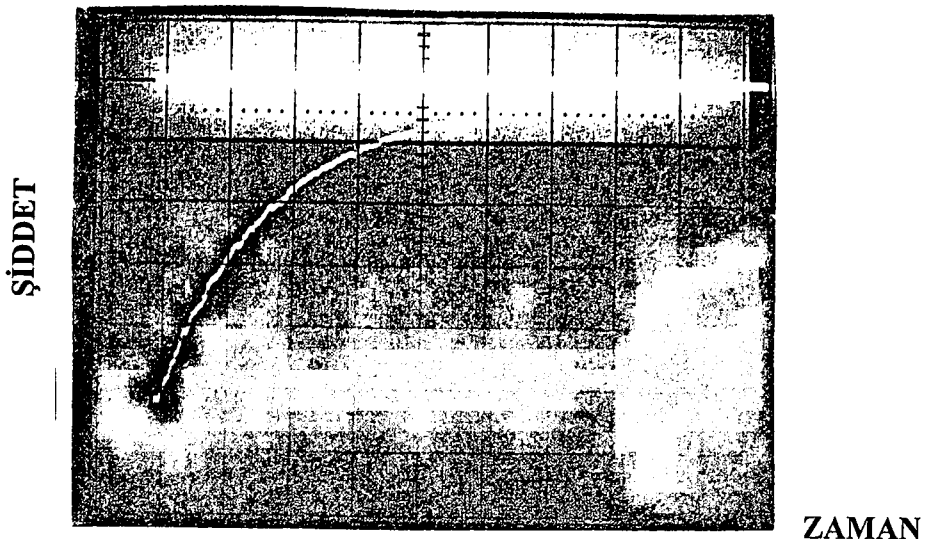
Şekil 5.1. Cr ve Nd iyonlarının enerji seviyeleri



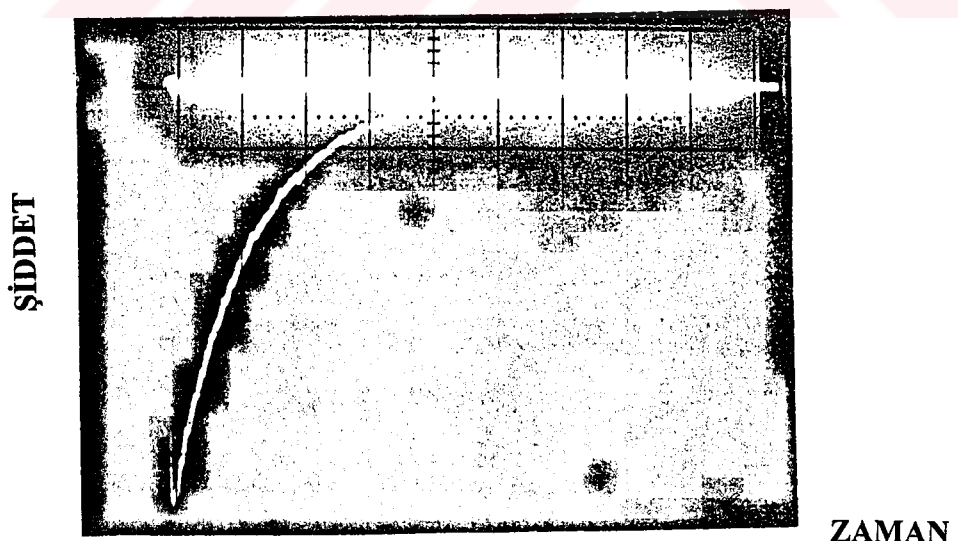
**Şekil 5.2.** LLGG:Cr<sup>3+</sup> kristalinin optik bögdedeki soğurma spektrumu



Sekil 5.3. LLGG: Cr<sup>3+</sup> kristalinin a)77<sup>0</sup>K b)300<sup>0</sup>K sicaklığında ölçülen ışma spektrumu



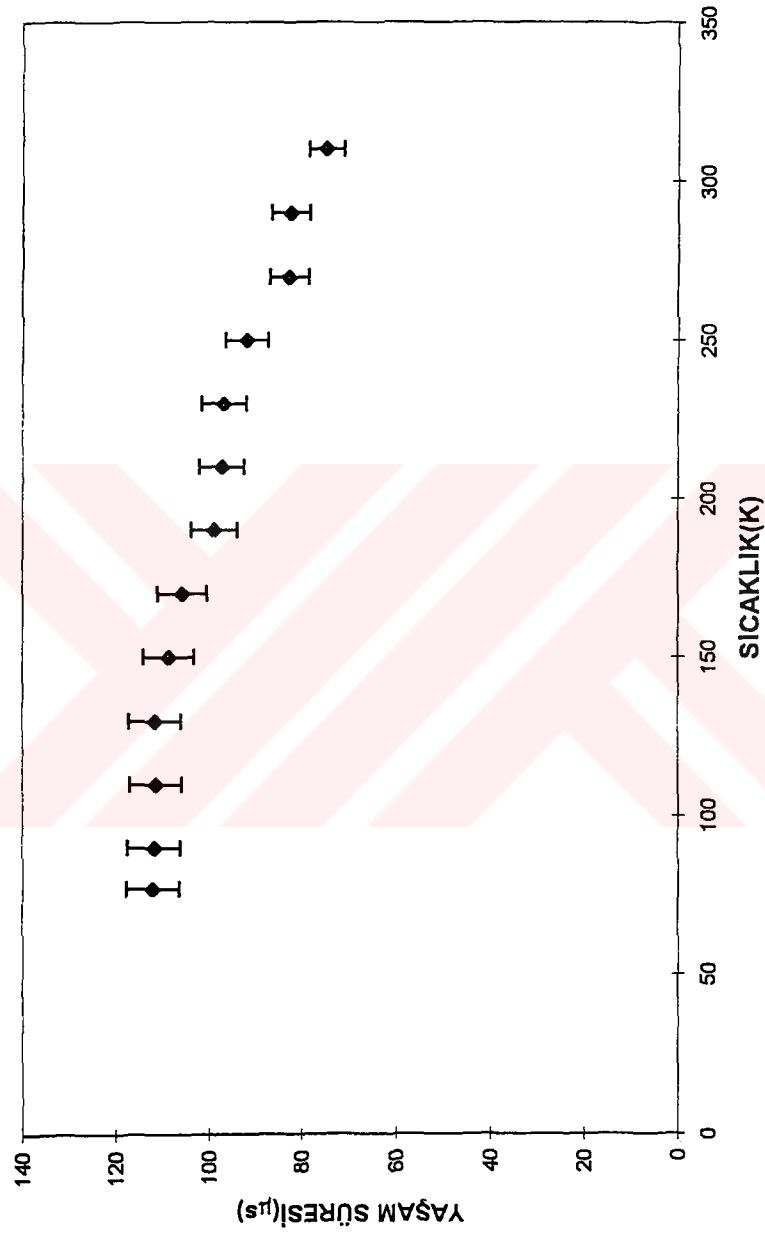
**Şekil.5.4.** LLGG:Cr<sup>3+</sup> kristalinde Cr iyonunun 77 °K sıcaklığında (50μs/cm zaman ölçekli olarak) ışılma şiddetinin zamana göre değişimi.



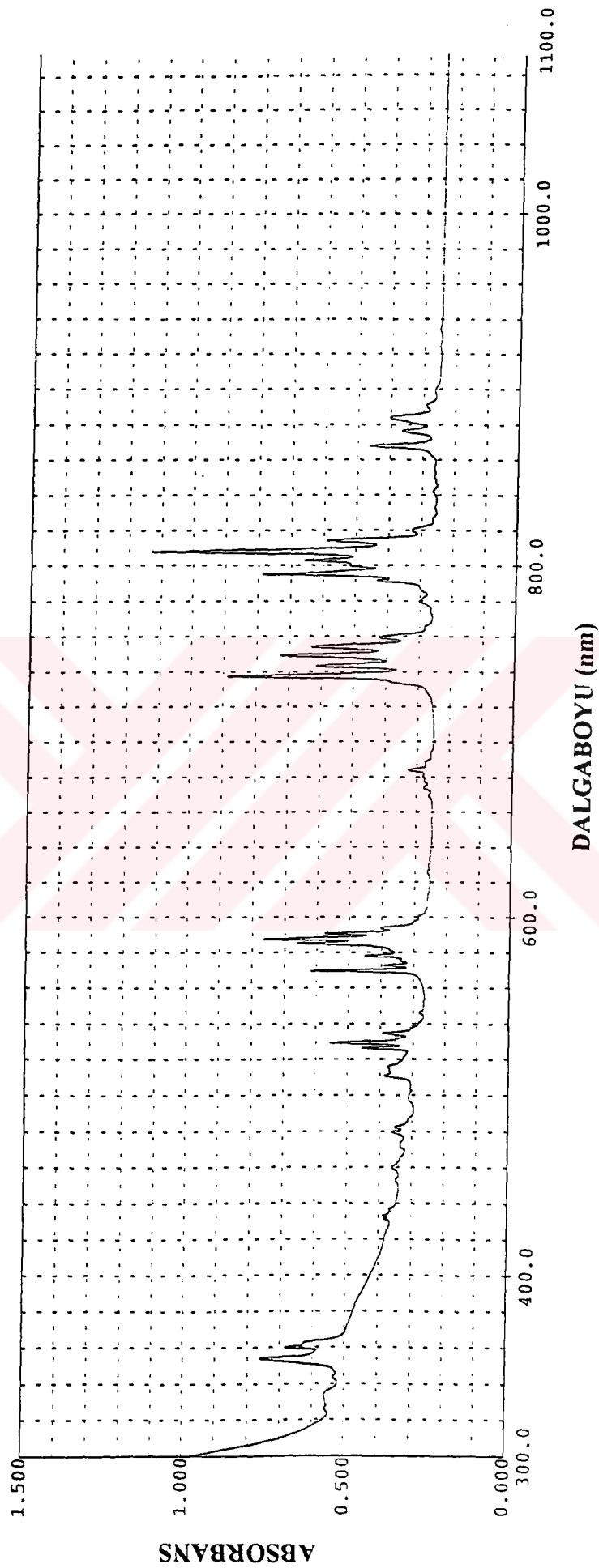
**Şekil.5.5.** LLGG:Cr<sup>3+</sup> kristalinde Cr iyonunun 310 °K sıcaklığında(50μs /cm zaman ölçekli olarak) ışılma şiddetinin zamana göre değişimi.

**Tablo.5.1.** LLGG:Cr<sup>3+</sup> kristalinin 780 nm'de merkezlenen ışma yaşam süresinin sıcaklıkla değişimi

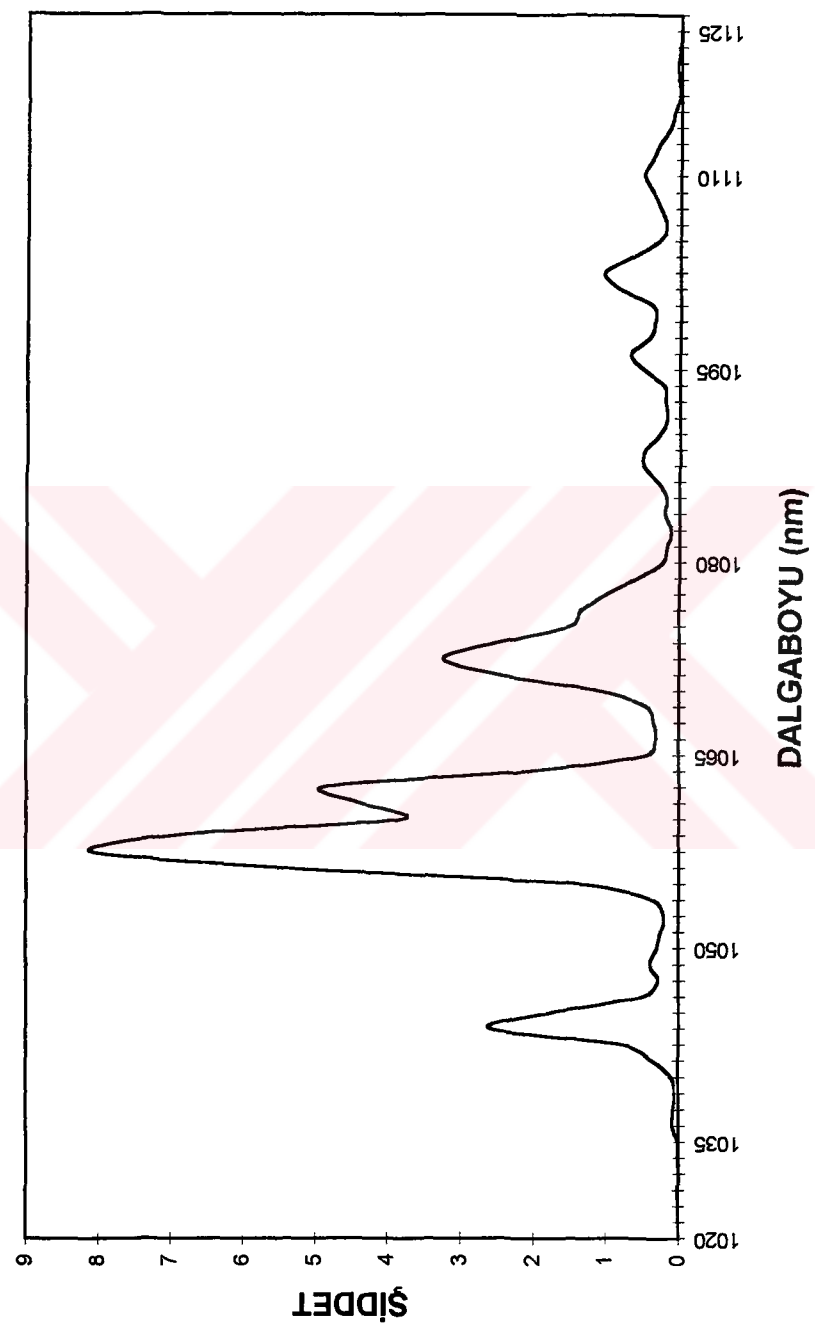
| Sıcaklık (K) | Yaşam Süresi (μs) |
|--------------|-------------------|
| 77           | 112.2             |
| 90           | 111.78            |
| 110          | 111.5             |
| 130          | 111.6             |
| 150          | 108.86            |
| 170          | 105.8             |
| 190          | 99                |
| 210          | 97.4              |
| 230          | 96.9              |
| 250          | 92                |
| 270          | 82.7              |
| 290          | 82.3              |
| 310          | 74.9              |



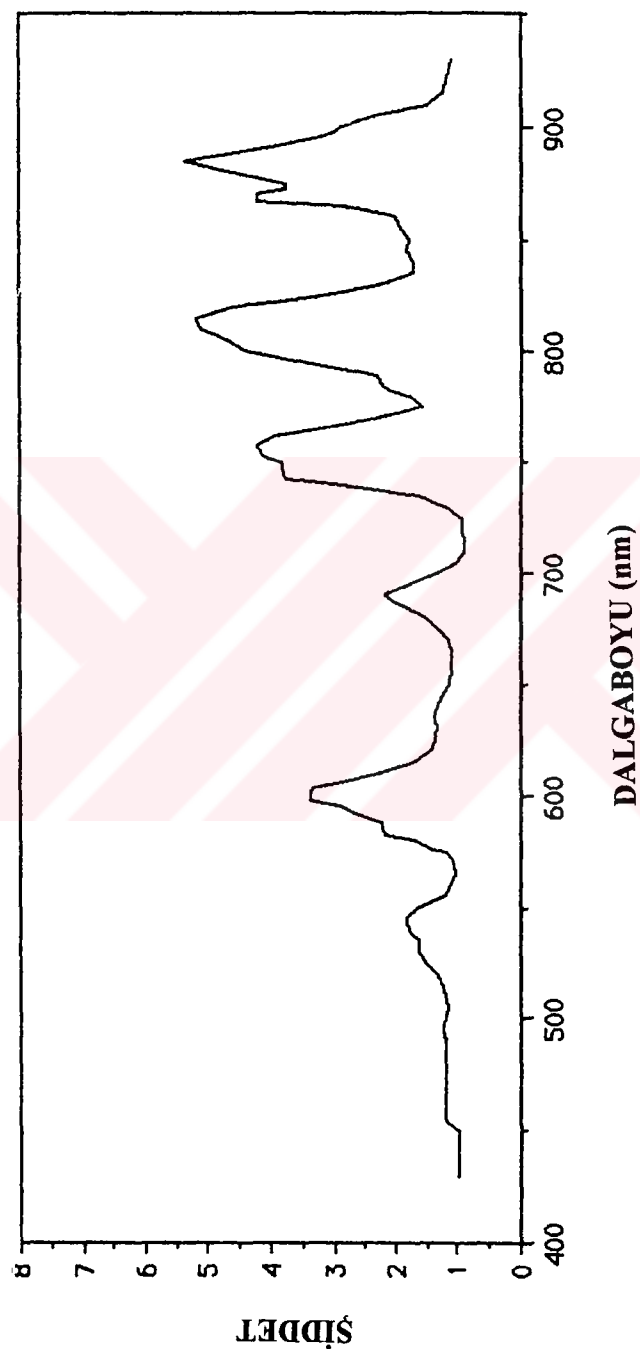
Şekil5.6 LLGG:  $\text{Cr}^{3+}$  kristalinin 780nm'de merkezlenen ışma yaşam süresinin sıcaklıkla değişimini.  
(Grafikteki hata  $16\mu\text{s}/\text{cm}^2$ 'dir.)



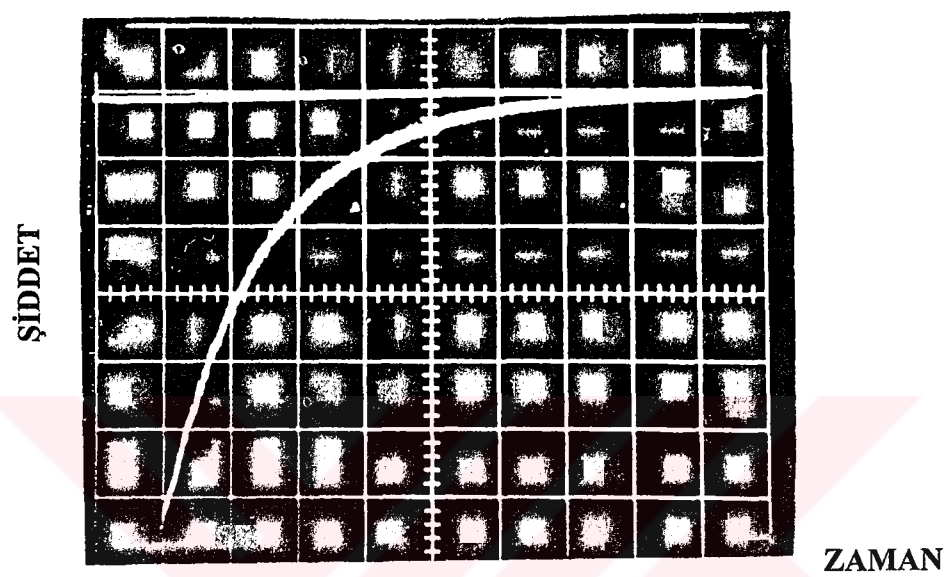
Sekil 5.7. LLGG:Nd<sup>3+</sup> kristalinin optik bölgdedeki soğurma spektrumu



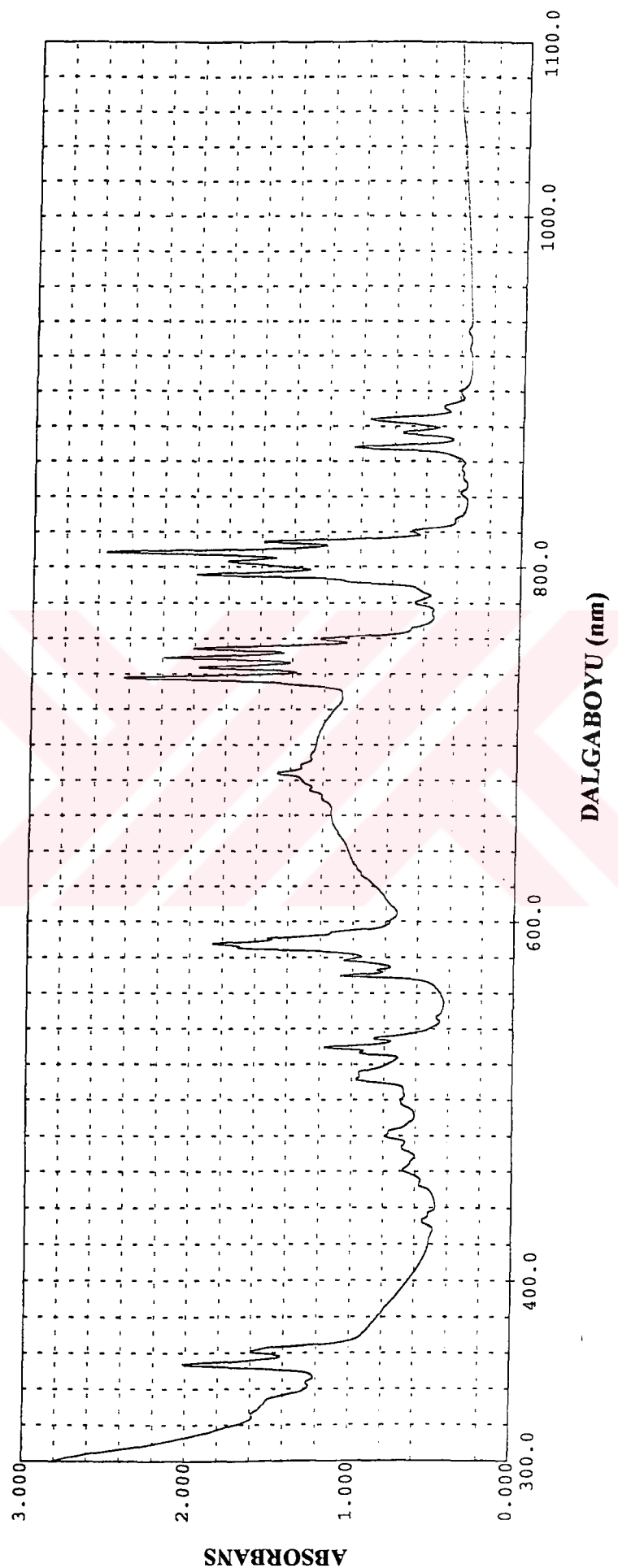
Sekil 5.8. LLGG:Nd<sup>3+</sup> kristalinin 100<sup>0</sup>K sicaklığında ölçülen ışma spektrumu



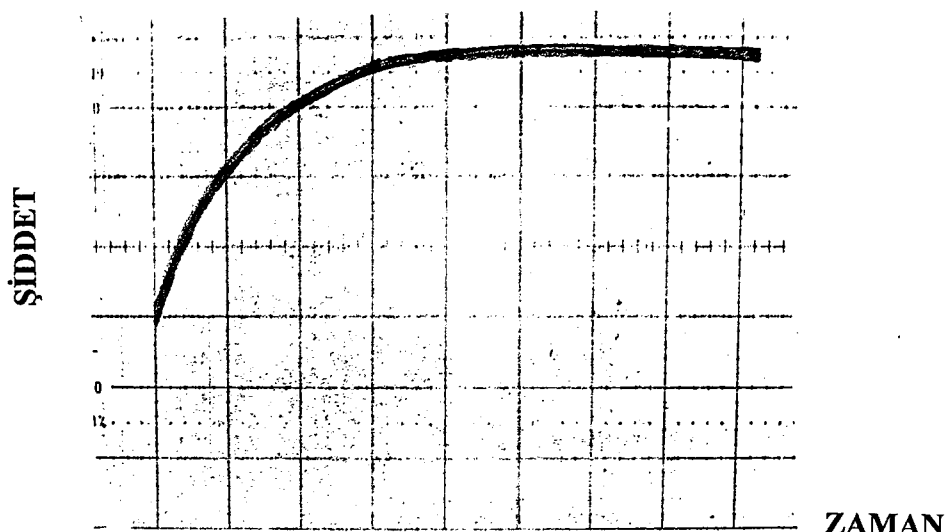
Sekil 5.9. LLGG: Nd<sup>3+</sup> kristalinde 1.06 $\mu$ m'de merkezlenen ışımaya ait uyarma spektrumu



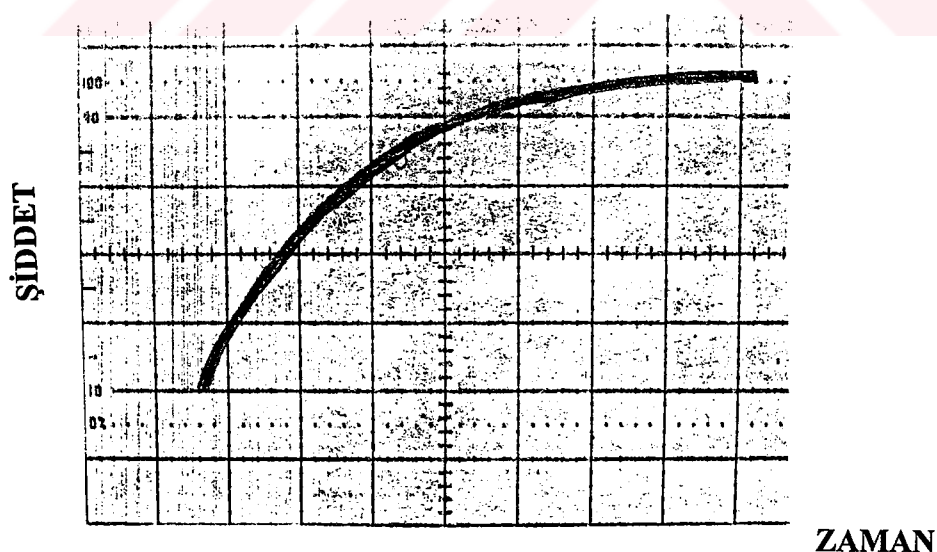
**Şekil.5.10.** LLGG:Nd<sup>3+</sup> kristalinde Nd iyonunun 310 K sıcaklığında (200μs/cm zaman ölçekli olarak) 1.06μm'de merkezlenen ışıkma şiddetinin zamana göre değişimi



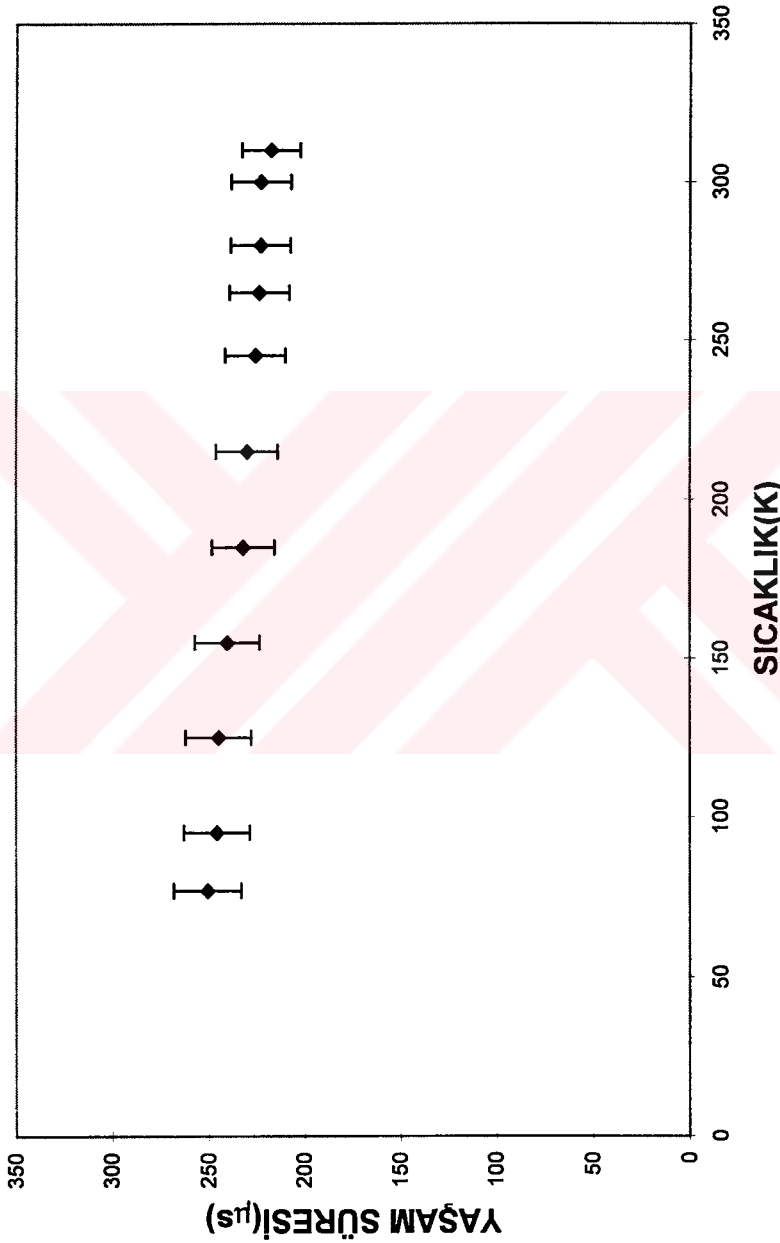
Şekil 5.11. LLGG:Cr<sup>3+</sup>:Nd<sup>3+</sup> kristalinin optik bölgedeki soğurma spektrumu



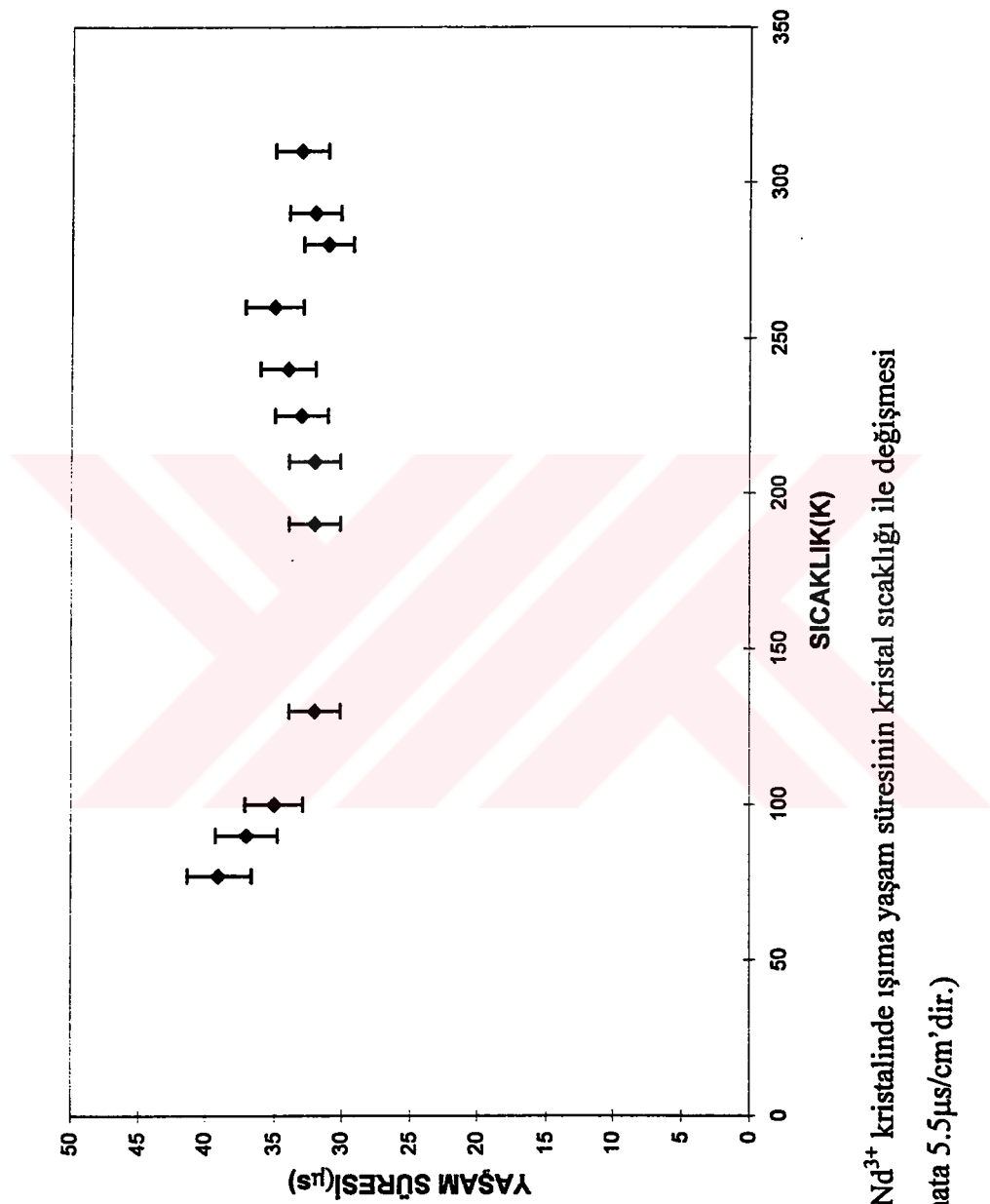
Şekil.5.12. LLGG:Cr<sup>3+</sup>:Nd<sup>3+</sup> kristalinde Nd iyonunun 77 K sıcaklığında (200μs/cm zaman ölçekli olarak) 1.06μm'de merkezlenen ışuma şiddetinin zamana göre değişimi.



Şekil.5.13. LLGG:Cr<sup>3+</sup>:Nd<sup>3+</sup> kristalinde Nd iyonunun 310K sıcaklığında (100μs/cm zaman ölçekli olarak) 1.06μm'de merkezlenen ışuma şiddetinin zamana göre değişimi.



Şekil 5.14 LLGG:Cr<sup>3+</sup>:Nd<sup>3+</sup> kristalinde sadece Nd iyonları uyarıldığında elde edilen işma yaşam sürelerinin sıcaklığa göre değişimi  
(Grafikteki hata 38 $\mu$ s/cm'dir.)



Şekil 5.15 LLGG:Cr<sup>3+</sup>:Nd<sup>3+</sup> kristalinde ışınma yaşam süresinin kristal sıcaklığı ile değişimi

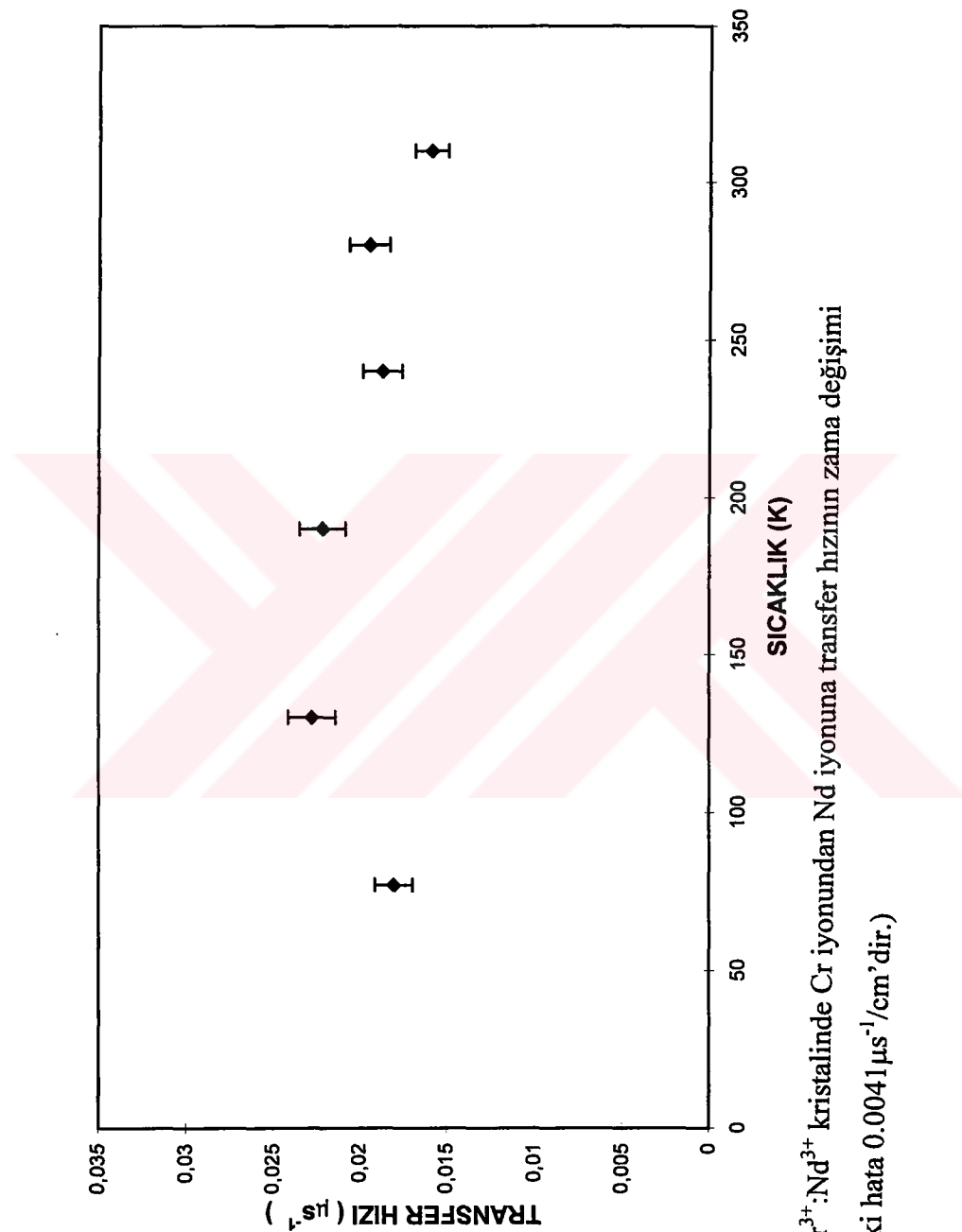
(Grafikteki hata 5.5μs/cm'dir.)

**Tablo 5.2** LLGG:Cr<sup>3+</sup>:Nd<sup>3+</sup> kristalinde sadece Nd iyonları uyarıldığında elde edilen ışıma yaşam sürelerinin sıcaklığa göre değişimi

| Sıcaklık (K) | Yaşam Süresi (μs) |
|--------------|-------------------|
| 77           | 250.6             |
| 95           | 245.8             |
| 125          | 244.8             |
| 155          | 240.4             |
| 185          | 232               |
| 215          | 230.1             |
| 245          | 225.8             |
| 265          | 223.7             |
| 280          | 223               |
| 300          | 222.7             |
| 310          | 217.4             |

**Tablo 5.3** LLGG:Cr<sup>3+</sup>:Nd<sup>3+</sup> kristalinde Cr iyonundan Nd iyonuna transfer hızının zamanla değişimi

| SICAKLIK (K) | Transfer Hızı( $\mu\text{s}^{-1}$ ) |
|--------------|-------------------------------------|
| 77           | 0,018                               |
| 130          | 0,022                               |
| 190          | 0,022                               |
| 240          | 0,018                               |
| 280          | 0,019                               |
| 310          | 0,015                               |



**Sekil 5.16** LLGG:Cr<sup>3+</sup>:Nd<sup>3+</sup> kristalinde Cr iyonundan Nd iyonuna transfer hızının zama değişimi  
(Grafikteki hata 0.0041  $\mu\text{s}^{-1}/\text{cm}^3$  dir.)

## KAYNAKLAR

- 1) KAMINSKII, A. Laser crystals their physics and properties pp 1-55.
- 2) AIZENBERG G.E., ROTMAN, S.R. A Non-Radiative Energy Transfer Model for Cerium - Doped Yttrium Aluminum Garnet (Ce:YAG), *Physica Status Solidi (a)* 126, 273, pp.263-273, March (1991).
- 3) BAI, X., ZENG, L. Anisotropic broadening of the linewidth in the EPR spectra of Cr<sup>3+</sup> ions in various doped yttrium aluminium garnet single crystals, *Physical Review B*, Volume 39, Number 1, pp.10-14, January (1989).
- 4) HONG, P., ZHANG, X. X., STRUCK, C.W., DI BARTOLO, B. Luminescence of Cr<sup>3+</sup> and energy transfer between Cr<sup>3+</sup> and Nd<sup>3+</sup> ions in yttrium aluminium garnet, *Journal Of Applied Physics*, 78, (7), pp.4659-4667, October (1995).
- 5) ROTMAN, S.R. Energy Transfer in iron-doped yttrium aluminium garnet, *Physica Status Solidi (a)* 119, K87, pp.87-89, March (1990).
- 6) LUPEI V., LUPEI, A., GEORGESCU, S., URSU,I. Effects of nearest-neighbour pairs on the energy transfer in Nd:YAG, *Applied Physics Lett.*, 59 (8), pp.905-907, August (1991).
- 7) CAIRD, J.A., SHINN, M.D., KIRCHOFF,T.A.,SMITH, L.K., WILDER,R.E., Measurements of losses and lasing efficiency in GSGG:Cr,Nd and YAG:Nd laser rods, *Appl. Optics* 25,4294 (1986).
- 8) LUNDTH, H., WEIDNER, H. A Comparison of The Cr<sup>3+</sup> to Nd<sup>3+</sup> Energy Transfer Efficiency in Cr:Nd:GGG and Cr:Nd:GSGG, *North-Holland Physics Publishing, Optics Communications*, Vol.75, No. 5,6, pp.430-434, October (1989).
- 9) BRENIER, A., BOULON, G., PEDRINI, C., MADEJ, C. Effects of Ca<sup>2+</sup>Zr<sup>4+</sup> ion pairs on spectroscopic properties of Cr<sup>3+</sup> doped Gd<sub>3</sub>Ga<sub>5</sub>O<sub>12</sub> garnets, *Journal Of Applied Physics* 71 (12), June (1992)
- 10) LUNDTH, H., WEIDNER, H. Photoluminescence properties of Cr:Er:GGG, *North-Holland Physics Publishing, Optics Communications*, Volume 82, Number 5,6, pp.484-487, May (1991)

- 11) ZHARIKOV, E. V., ILCHEV, N. N., LAPTEV, V. V., MALYNTIN, A. A., OSTROUMOV, V. G., PHASHININ, P. P., SHCHERBAKOV, I. A. Sensitization of Neodymium Ion Luminescence By Chromium Ions In A  $Gd_3 Ga_5 O_{12}$  Crystal, Sov. J. Quantum Electron. 12, 228 (1982)
- 12) PRUSS, D., HUBER, G., BEIMOWSKI, A., LAPTEV, V. V., SHCHERBAKOV, I. A., ZHARIKOV, Y. V. Efficient  $Cr^{3+}$  Sensitized  $Nd^{3+} : GdScGa$ -Garnet Laser at 1.06  $\mu m$ ., Appl. Phys. B 28, 355, (1982)
- 13) KIM, K. H., VENABLE, D. D., BROWN, L. A., Thermal effects on cavity stability of chromium and neodymium doped gadolinium scandium gallium garnet laser under solar-simulator pumping, Journal Of Applied Physics 69 (5), pp. 2841-2848, March (1991)
- 14) SUMIDA D. S., ROCKWELL, D.A., MANGIR, M.S. Energy storage and heating measurements in Flashlamp-Pumped Cr:Nd:GSGG and Nd:YAG, IEEE. Journal Of Quantum Electronics, Volume 24, Number 6, pp.985- 994, June (1988)
- 15) ALLIK, T.H., STEWART, S.A., SARDAR, D.K., QUARLES, G.J., POWELL, R.C. Preparation, Structure and Spectroscopic Properties of  $Nd^{3+} : \{La_{1-x} Lu_x\}_3 [Lu_{1-y} Ga_y]_2 Ga_3 O_{12}$  Crystals, Physical Review B, Volume 37, Number 16, pp.9129-9139, June (1988)
- 16) PARISE, J. B., HARLOW, R.L., SHANNON, R. D., KWEI, G. H., ALLIK, T. H., ARMSTRONG, J. T., Crystal Structure and Electron Microprobe analyses of a lanthanum lutetium gallium garnet, Journal of Applied Physics 72 (6) (1992)
- 17) LEWIS, W. B., Single crystal EPR Spectrum of  $Cr^{3+}$  in Lanthanum Lutetium Gallium Garnet, Applied Physics A 54, 31-34 (1992)
- 18) MOULTON, P.F., MANNI, J.G., RINES, G.A. Spectroscopic and laser characteristics of Er,Cr:YSGG, IEEE. Journal Of Quantum Electronics, Vol. 24, No. 6, pp.960-973, June (1988)
- 19) NOGINOV, M.A., CAULFIELD, H.J., VENKATESWARLU,P., MAHDI, M. Study of migration in Cr:Er:YSGG using an upconversion light induced grating Technique, , Optical Materials 5, pp.97-103, July (1996)
- 20) SELTZER, M. D., GRUBER, J. B., HILLS, M. E., QUARLES, G. J., MORRISON, C. A. Multistate optical spectra and energy levels of trivalent thulium ions in yttrium scandium gallium garnet, Journal Of Applied Physics 74 (4 ), pp.2821-2829, August (1993)
- 21) MERKLE, L. D., SPAIN, I. L., POWELL, R. C. Effects of pressure on the spectra and lifetimes of  $Nd_x Y_{1-x} P_5 O_{14}$  and ruby, Journal Of Physics, C:Solid State Physics 14, pp.2027-2038, December (1980)

- 22) **INGUSCIO, M. WALLENSTEIN, R.** Solid State Lasers New Developments and Applications, pp1-55
- 23) **SMIRNOV, V.A., SHCHERBAKOV, I. A.,** IEEE J. Quantum Electron. 24, 949 (1988)
- 24) **SVELTO, O.,** Principles of Laser (Plenum, New York, 1976)
- 25) **GEUSIC, J. E., MARCOS, H.M., UITERT VAN L.G.,** Applied Physics Lett. 4, 182 (1964)
- 26) **PRUSS, D., HUBER, G., BEIMOVSKI, A., LAPTEV, V.V., SCHERBAKOV, I. A., ZHARIKOV Y. V.,** Efficient Cr<sup>3+</sup> sensitized Nd<sup>3+</sup> :GdScGa-garnet laser at 1.06μm, Applied Physics B 28,355 (1982)
- 27) **ÖZEN, G. ARMAĞAN, G., BOUNCRISTIANI, A. M., DI BARTOLO, B.,** Bulletin of the American Physical Society Vol34, N.7(1989)
- 28) **ROTMAN, S.R., LURIA, D.E., YITZHAKI, N., EYAL,A.** Practical models for energy transfer between ions in solids, Optical Materials, 5, pp.1-33, January (1996)
- 29) **FÖRSTER, T. NATURFORSCH,Z.** Teil.4a (1949) 321
- 30) **FÖRSTER, T.** Ann. Physic 2 (1953)
- 31) **DEXTER , D. L.** Journal of Chem. Phys. 21 (1953) 836.
- 32) **INOKUTI, M. ,HIRAYAMA, F.** Journal of Chem. Phys. 43 (1965) 1978.
- 33) **KITTEL, C.** Introduction to Solid State (Wiley, New York, 1976) pp. 78-79.
- 34) **JOHNSON, L.F, NASSAU,K.** Infrared fluorescence and stimulated emission of Nd<sup>3+</sup> in CaWO<sub>4</sub> Proc. IRE 49, 1704-1706 (1961)
- 35) **LUNDTH, H., WEIDNER,H., FUSSTETTER, H., HUBER, R., IFFLANDER,** High laser efficiency due to Cr<sup>3+</sup> sensitization in Cr:Nd:GGG
- 36) **CARLO, G., FRANCK,Z.,** Z. Phys. 17 (1923) 202
- 37) **OSTROUMOV, V.G., PRIVIS, Yu S., SMIRNOV, V.A., SCHERBAKOV, I.A.** J. Opt. Soc. Am. B3 (1986) 8L.
- 38) **KRUPKE, W.F., SHINN, M.D., MARION, J.E., CAIRD, J.A., STOKOWSKI, S.E.** J. Opt. Soc. Am. B3 (1986) 101

- 39) ZHARIKOV, E. V., ILICHEV, N. N., LAPTEV, V. V., MALYNTIN, A. A., OSTROUMOV, V. G., PHASHININ, P. P., PIMENOV, A.S., SMIRNOV, V.A., SHCHERBAKOV, I. A. Sov. J. Quantum Electron. 14 (1984) 1056
- 40) ZHARIKOV, E. V., LAPTEV, V. V., OSTROUMOV, V. G., SMIRNOV, V.A., SHCHERBAKOV, I. A Sov. J. Quantum Electron. 14 (1984) 1056
- 41) ALLIK, T.H., KOKTA, M., GRASSA, M. J. Solid State Chem. 8, 357 (1973).
- 42) GELLER, S. Crystal Chemistry Of Garnets 125 (1967).
- 43) ALLIK, T.H., MENSER, G. Z. Kristallogr. 63, 157 (1926).
- 44) IMBUSCH, G.F. "Electronic States Of Transition Metal Ions In Solids", In Spectroscopy Of Solid State Laser Type Materials, ed. B. Di Bartolo And G.Armağan, Plenum Press, New York, 1956
- 45) DIEKE, G.H. Spectra And Energy Levels Of Rare Earth Ions In Crystals, Interscience Publishers, John Wiley & Sons, New York, 1960.
- 46) BIRKS, J. Photophysics of aromatic molecules pp 297-359
- 47) ROBBINS, D. J., J. Electrochem Soc. 126, 1550 (1979)
- 48) ORBACH, R., Optical Properties of Ions in Crystals, H. W. Moos (Eds.) , Interscience, New York, (1967)
- 49) HOLSTEIN, T., LYE, S.K., ORBACH, R. In Laser Spectroscopy Of Solids, eds. W.M. Yen And P.M: Selzer, Springer-Verlag, Berlin, 1981, p.39
- 50) XUESHENG, C. Thermal Effects On Sharp Spectral Lines Of Nd Ions In Laser Crystals (1991).
- 51) ARMAĞAN, G., DI BARTOLO, B. Mechanism For Thermal Dependence Pf The Cr to Nd Energy Transfer. IEEE Journal of Quantum Electronics Vol.24 No:6 (1988)

## ÖZGEÇMİŞ

1974 yılında Eskişehir'de doğdu. İlk, Orta ve Lise öğrenimini Gölcük'te tamamladı. 1990 yılında İstanbul Teknik Üniversitesi Fizik Mühendisliği Bölümünü kazandı. Bu bölümde 1994 yılında mezun oldu. Aynı yıl İ.T.Ü. Yabancı Diller Yüksek Okulunda ingilizce hazırlık programına başladı ve 1995'te bu programı bitirdi, İ.T.Ü Fizik Mühendisliği Yüksek Lisans programına başladı. 1997 yılında Koç Üniversitesi'nde araştırma görevlisi olarak göreveye başladı, halen bu görevde devam etmektedir.

